

**UNIVERSIDADE DE SÃO PAULO
INSTITUTO DE QUÍMICA DE SÃO CARLOS**

Eli Fernando Pimenta

Volume 2

Investigação das condições de crescimento e produção de
metabólitos secundários das linhagens de fungos

Penicillium citrinum e *Penicillium oxalicum*

Tese apresentada ao Instituto de
Química de São Carlos para a
obtenção de título de doutor em
Ciências. Área de concentração:
Físico-Química

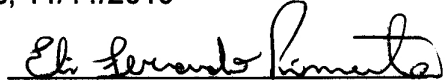
Orientação: Prof. Dr. Roberto G. S. Berlinck

São Carlos – SP

2010

Este exemplar foi revisado e alterado em relação à versão original, sob a exclusiva responsabilidade do autor.

São Carlos, 11/11/2010



Eli Fernando Pimenta

Volume 2

Sumário

Figura v2 - 1 – Árvore filogenética demonstrando a relação entre a amostra F30 e linhagens de microrganismos relacionados, com base em sequências da região 28S rDNA (D1/D2).....	1
Figura v2 - 2 – Árvore filogenética demonstrando a relação entre a amostra F53 e linhagens de microrganismos relacionados, com base em sequências da região ITS.....	2
Figura v2 - 3 – Espectro de RMN- ¹ H da amostra F30OT-3-P1 isolada da fração 3 da EFS de <i>P. oxalicum</i> (DMSO- <i>d</i> ₆ , 400 MHz)	3
Figura v2 - 4 – Espectro de RMN- ¹ H da amostra F30OT-3-P2, meleagrina (52) isolada da fração 3 da EFS de <i>P. oxalicum</i> (DMSO- <i>d</i> ₆ , 400 MHz).....	4
Figura v2 - 5 – Espectro de RMN- ¹ H da amostra F30OT-3-P3, oxalina (26), isolada da fração 3 da EFS de <i>P. oxalicum</i> (DMSO- <i>d</i> ₆ , 400 MHz).....	5
Figura v2 - 6 – Espectro de RMN- ¹³ C da amostra F30OT-3-P3, oxalina (26), isolada da fração 3 da EFS de <i>P. oxalicum</i> (DMSO- <i>d</i> ₆ , 100 MHz).....	6
Figura v2 - 7 – Espectro de RMN- ¹ H da amostra F53OT-3-P1-4 (citrinina 31) isolada da fração 3 da EFS de <i>P. citrinum</i> (DMSO- <i>d</i> ₆ , 400 MHz)	7
Figura v2 - 8 – Espectro de RMN- ¹ H da amostra F53OT-3-P8, (56), isolada da fração 3 da EFS de <i>P. citrinum</i> (DMSO- <i>d</i> ₆ , 400 MHz).....	8
Figura v2 - 9 – Espectro de RMN- ¹³ C da amostra F53OT-3-P8, (56), isolada da fração 3 da EFS de <i>P. citrinum</i> (DMSO- <i>d</i> ₆ , 100 MHz).....	9
Figura v2 – 10 – Espectro de RMN- ¹ H da amostra F53OT-3-P8, (56), isolada da fração 3 da EFS de <i>P. citrinum</i> (CDCl ₃ , 400 MHz)	10
Figura v2 – 11 – Espectro de RMN- ¹ H da amostra F53OT-3-P8, (56), isolada da fração 3 da EFS de <i>P. citrinum</i> (MeCN- <i>d</i> ₃ , 400 MHz)	11
Figura v2 – 12 – Espectro de RMN- ¹ H da amostra F53OT-3-P8, (56), isolada da fração 3 da EFS de <i>P. citrinum</i> (MeOH- <i>d</i> ₄ , 400 MHz)	12
Figura v2 – 13 – Espectro de RMN- ¹ H realizado a 30°C, da amostra F53OT-3-P8, (56), isolada da fração 3 da EFS de <i>P. citrinum</i> (DMSO- <i>d</i> ₆ , 400 MHz).....	13
Figura v2 – 14 – Espectro de RMN- ¹ H realizado a 40°C, da amostra F53OT-3-P8, (56), isolada da fração 3 da EFS de <i>P. citrinum</i> (DMSO- <i>d</i> ₆ , 400 MHz).....	14
Figura v2 – 15 – Espectro de RMN- ¹ H realizado a 50°C, da amostra F53OT-3-P8, (56), isolada da fração 3 da EFS de <i>P. citrinum</i> (DMSO- <i>d</i> ₆ , 400 MHz).....	15

Figura v2 – 16 – Espectro de RMN- ¹ H realizado a 60°C, da amostra F53OT-3-P8, (56), isolada da fração 3 da EFS de <i>P. citrinum</i> (DMSO-d ₆ , 400 MHz).....	16
Figura v2 – 17 – Espectro de RMN- ¹ H realizado a 70°C, da amostra F53OT-3-P8, (56), isolada da fração 3 da EFS de <i>P. citrinum</i> (DMSO-d ₆ , 400 MHz).....	17
Figura v2 – 18 – Espectro de RMN- ¹ H realizado a 80°C, da amostra F53OT-3-P8, (56), isolada da fração 3 da EFS de <i>P. citrinum</i> (DMSO-d ₆ , 400 MHz).....	18
Figura v2 – 19 – Espectro de RMN- ¹ H da amostra F53OT-3-P11, (58), isolada da fração 3 da EFS de <i>P. citrinum</i> (DMSO-d ₆ , 400 MHz).....	19
Figura v2 – 20 – Espectro de RMN- ¹³ C da amostra F53OT-3-P11, (58), isolada da fração 3 da EFS de <i>P. citrinum</i> (DMSO-d ₆ , 100 MHz).....	20
Figura v2 – 21 – Espectro de RMN- ¹ H da amostra F53-F4-P4, (59), isolada da fração 4 da EFS da reunião do PFF de <i>P. citrinum</i> (DMSO-d ₆ , 400 MHz)	21
Figura v2 – 22 – Espectro de RMN- ¹³ C da amostra F53-F4-P4, (59), isolada da fração 4 da EFS da reunião do PFF de <i>P. citrinum</i> (DMSO-d ₆ , 100 MHz).	22
Figura v2 – 23 a – Espectro de RMN- ¹ H da amostra F53-F4-P7, (citrinalina A 60), isolada da fração 4 da EFS da reunião do PFF de <i>P. citrinum</i> (DMSO-d ₆ , 600 MHz).....	23
Figura v2 – 23 b – Ampliação do espectro de RMN- ¹ H da amostra F53-F4-P7, (citrinalina A 60), isolada da fração 4 da EFS da reunião do PFF de <i>P. citrinum</i> (DMSO-d ₆ , 600 MHz).	24
Figura v2 – 23 c – Ampliação do espectro de RMN- ¹ H da amostra F53-F4-P7, (citrinalina A 60), isolada da fração 4 da EFS da reunião do PFF de <i>P. citrinum</i> (DMSO-d ₆ , 600 MHz).	25
Figura v2 – 23 d – Ampliação do espectro de RMN- ¹ H da amostra F53-F4-P7, (citrinalina A 60), isolada da fração 4 da EFS da reunião do PFF de <i>P. citrinum</i> (DMSO-d ₆ , 600 MHz).	26
Figura v2 – 23 e – Ampliação do espectro de RMN- ¹ H da amostra F53-F4-P7, (citrinalina A 60), isolada da fração 4 da EFS da reunião do PFF de <i>P. citrinum</i> (DMSO-d ₆ , 600 MHz).	27
Figura v2 - 24 a – Espectro de RMN- ¹³ C da amostra F53-F4-P7, (citrinalina A 60), isolada da fração 4 da EFS da reunião do PFF de <i>P. citrinum</i> (DMSO-d ₆ , 150 MHz).....	28
Figura v2 - 24 b – Ampliação do spectro de RMN- ¹³ C da amostra F53-F4-P7, (citrinalina A 60), isolada da fração 4 da EFS da reunião do PFF de <i>P. citrinum</i> (DMSO-d ₆ , 150 MHz).	29

Figura v2 - 25 a – Espectro de RMN-¹H-¹³C HSQC da amostra F53-F4-P7, (citrinalina A 60), isolada da fração 4 da EFS da reunião do PFF de <i>P. citrinum</i> (DMSO-d₆, ¹H em 600 MHz e ¹³C em 150 MHz).	30
Figura v2 - 25 b – Ampliação do espectro de RMN-¹H-¹³C HSQC da amostra F53-F4-P7, (citrinalina A 60), isolada da fração 4 da EFS da reunião do PFF de <i>P. citrinum</i> (DMSO-d₆, ¹H em 600 MHz e ¹³C em 150 MHz).	31
Figura v2 - 25 c – Espectro de RMN-¹H-¹⁵N NHSQC da amostra F53-F4-P7, (citrinalina A 60), isolada da fração 4 da EFS da reunião do PFF de <i>P. citrinum</i> (DMSO-d₆, ¹H em 600 MHz e ¹⁵N em 60 MHz).	32
Figura v2 - 26 a – Espectro de RMN-¹H-¹H COSY da amostra F53-F4-P7, (citrinalina A 60), isolada da fração 4 da EFS da reunião do PFF de <i>P. citrinum</i> (DMSO-d₆, 600 MHz).	33
Figura v2 - 26 b – Ampliação do espectro de RMN-¹H-¹H COSY da amostra F53-F4-P7, (citrinalina A 60), isolada da fração 4 da EFS da reunião do PFF de <i>P. citrinum</i> (DMSO-d₆, 600 MHz).	34
Figura v2 - 27 a – Espectro de RMN-¹H-¹³C HMBC da amostra F53-F4-P7, (citrinalina A 60), isolada da fração 4 da EFS da reunião do PFF de <i>P. citrinum</i> (DMSO-d₆, ¹H em 600 MHz e ¹³C em 150 MHz).	35
Figura v2 - 27 b – Ampliação do espectro de RMN-¹H-¹³C HMBC da amostra F53-F4-P7, (citrinalina A 60), isolada da fração 4 da EFS da reunião do PFF de <i>P. citrinum</i> (DMSO-d₆, ¹H em 600 MHz e ¹³C em 150 MHz).	36
Figura v2 - 27 c – Ampliação do espectro de RMN-¹H-¹³C HMBC da amostra F53-F4-P7, (citrinalina A 60), isolada da fração 4 da EFS da reunião do PFF de <i>P. citrinum</i> (DMSO-d₆, ¹H em 600 MHz e ¹³C em 150 MHz).	37
Figura v2 - 27 d – Ampliação do espectro de RMN-¹H-¹³C HMBC da amostra F53-F4-P7, (citrinalina A 60), isolada da fração 4 da EFS da reunião do PFF de <i>P. citrinum</i> (DMSO-d₆, ¹H em 600 MHz e ¹³C em 150 MHz).	38
Figura v2 - 27 e – Ampliação do espectro de RMN-¹H-¹³C HMBC da amostra F53-F4-P7, (citrinalina A 60), isolada da fração 4 da EFS da reunião do PFF de <i>P. citrinum</i> (DMSO-d₆, ¹H em 600 MHz e ¹³C em 150 MHz).	39
Figura v2 - 28 a – Espectro de RMN-¹H-¹H tROESY da amostra F53-F4-P7, (citrinalina A 60), isolada da fração 4 da EFS da reunião do PFF de <i>P. citrinum</i> (DMSO-d₆, 600 MHz).	40
Figura v2 - 28 b – Ampliação do espectro de RMN-¹H-¹H tROESY da amostra F53-F4-P7, (citrinalina A 60), isolada da fração 4 da EFS da reunião do PFF de <i>P. citrinum</i> (DMSO-d₆, 600 MHz).	41
Figura v2 – 29 a – Espectro de RMN-¹H da citrinalina B, (62), isolada de <i>P. citrinum</i> (DMSO-d₆, 600 MHz).	42

Figura v2 - 29 b – Ampliação do espectro de RMN- ¹ H da citrinalina B, (62), isolada de <i>P. citrinum</i> (DMSO- <i>d</i> ₆ , 600 MHz).	43
Figura v2 – 29 c – Ampliação do espectro de RMN- ¹ H da citrinalina B, (62), isolada de <i>P. citrinum</i> (DMSO- <i>d</i> ₆ , 600 MHz).	44
Figura v2 – 29 d – Ampliação do espectro de RMN- ¹ H da citrinalina B, (62), isolada de <i>P. citrinum</i> (DMSO- <i>d</i> ₆ , 600 MHz).	45
Figura v2 – 29 e – Ampliação do espectro de RMN- ¹ H da citrinalina B, (62), isolada de <i>P. citrinum</i> (DMSO- <i>d</i> ₆ , 600 MHz).	46
Figura v2 – 29 f – Ampliação do espectro de RMN- ¹ H da citrinalina B, (62), isolada de <i>P. citrinum</i> (DMSO- <i>d</i> ₆ , 600 MHz).	47
Figura v2 – 30 a – Espectro de RMN- ¹³ C da citrinalina B, (62), isolada de <i>P. citrinum</i> (DMSO- <i>d</i> ₆ , 150 MHz).	48
Figura v2 – 30 b – Ampliação do espectro de RMN- ¹³ C da citrinalina B, (62), isolada de <i>P. citrinum</i> (DMSO- <i>d</i> ₆ , 150 MHz).	49
Figura v2 – 30 c – Ampliação do espectro de RMN- ¹³ C da citrinalina B, (62), isolada de <i>P. citrinum</i> (DMSO- <i>d</i> ₆ , 150 MHz).	50
Figura v2 – 31 a – Espectro de RMN- ¹ H- ¹³ C HSQC da citrinalina B, (62), isolada de <i>P. citrinum</i> (DMSO- <i>d</i> ₆ , ¹ H 600 MHz e ¹³ C 150 MHz).	51
Figura v2 – 31 b – Ampliação do espectro de RMN- ¹ H- ¹³ C HSQC da citrinalina B, (62), isolada de <i>P. citrinum</i> (DMSO- <i>d</i> ₆ , ¹ H 600 MHz e ¹³ C 150 MHz).	52
Figura v2 – 31 c – Ampliação do espectro de RMN- ¹ H- ¹³ C HSQC da citrinalina B, (62), isolada de <i>P. citrinum</i> (DMSO- <i>d</i> ₆ , ¹ H 600 MHz e ¹³ C 150 MHz).	53
Figura v2 – 31 d – Espectro de RMN- ¹ H- ¹⁵ N NHSQC da citrinalina B, (62), isolada de <i>P. citrinum</i> (DMSO- <i>d</i> ₆ , ¹ H 600 MHz e ¹⁵ N 60 MHz).	54
Figura v2 – 32 a – Espectro de RMN- ¹ H- ¹ H COSY da citrinalina B, (62), isolada de <i>P. citrinum</i> (DMSO- <i>d</i> ₆ , 600 MHz).	55
Figura v2 – 32 b – Ampliação do espectro de RMN- ¹ H- ¹ H COSY da citrinalina B, (62), isolada de <i>P. citrinum</i> (DMSO- <i>d</i> ₆ , 600 MHz).	56
Figura v2 – 33 a – Espectro de RMN- ¹ H- ¹³ C HMBC da citrinalina B, (62), isolada de <i>P. citrinum</i> (DMSO- <i>d</i> ₆ , ¹ H 600 MHz e ¹³ C 150 MHz).	57
Figura v2 – 33 b – Ampliação do espectro de RMN- ¹ H- ¹³ C HMBC da citrinalina B, (62), isolada de <i>P. citrinum</i> (DMSO- <i>d</i> ₆ , ¹ H 600 MHz e ¹³ C 150 MHz).	58
Figura v2 – 33 c – Ampliação do espectro de RMN- ¹ H- ¹³ C HMBC da citrinalina B, (62), isolada de <i>P. citrinum</i> (DMSO- <i>d</i> ₆ , ¹ H 600 MHz e ¹³ C 150 MHz).	59

Figura v2 – 33 d – Ampliação do espectro de RMN- ^1H - ^{13}C HMBC da citrinalina B, (62), isolada de <i>P. citrinum</i> (DMSO- d_6 , ^1H 600 MHz e ^{13}C 150 MHz).	60
Figura v2 – 33 e – Ampliação do espectro de RMN- ^1H - ^{13}C HMBC da citrinalina B, (62), isolada de <i>P. citrinum</i> (DMSO- d_6 , ^1H 600 MHz e ^{13}C 150 MHz).	61
Figura v2 – 34 a – Espectro de RMN- ^1H - ^1H tROESY da citrinalina B, (62), isolada de <i>P. citrinum</i> (DMSO- d_6 , 600 MHz).	62
Figura v2 – 34 b – Ampliação do espectro de RMN- ^1H - ^1H tROESY da citrinalina B, (62), isolada de <i>P. citrinum</i> (DMSO- d_6 , 600 MHz).	63

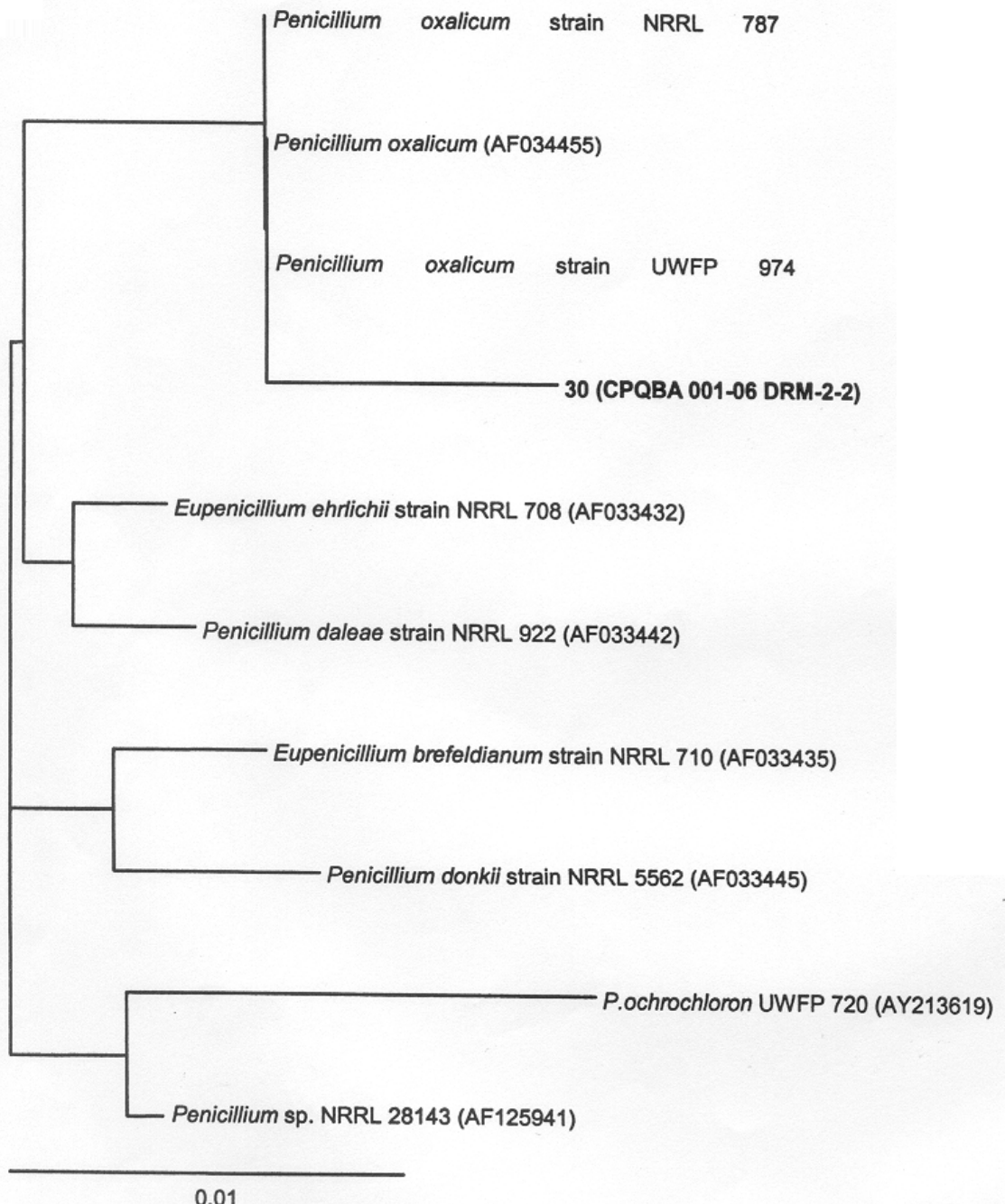


Figura v2 - 1 – Árvore filogenética demonstrando a relação entre a amostra F30 e linhagens de microrganismos relacionados, com base em sequências da região 28S rDNA (D1/D2).

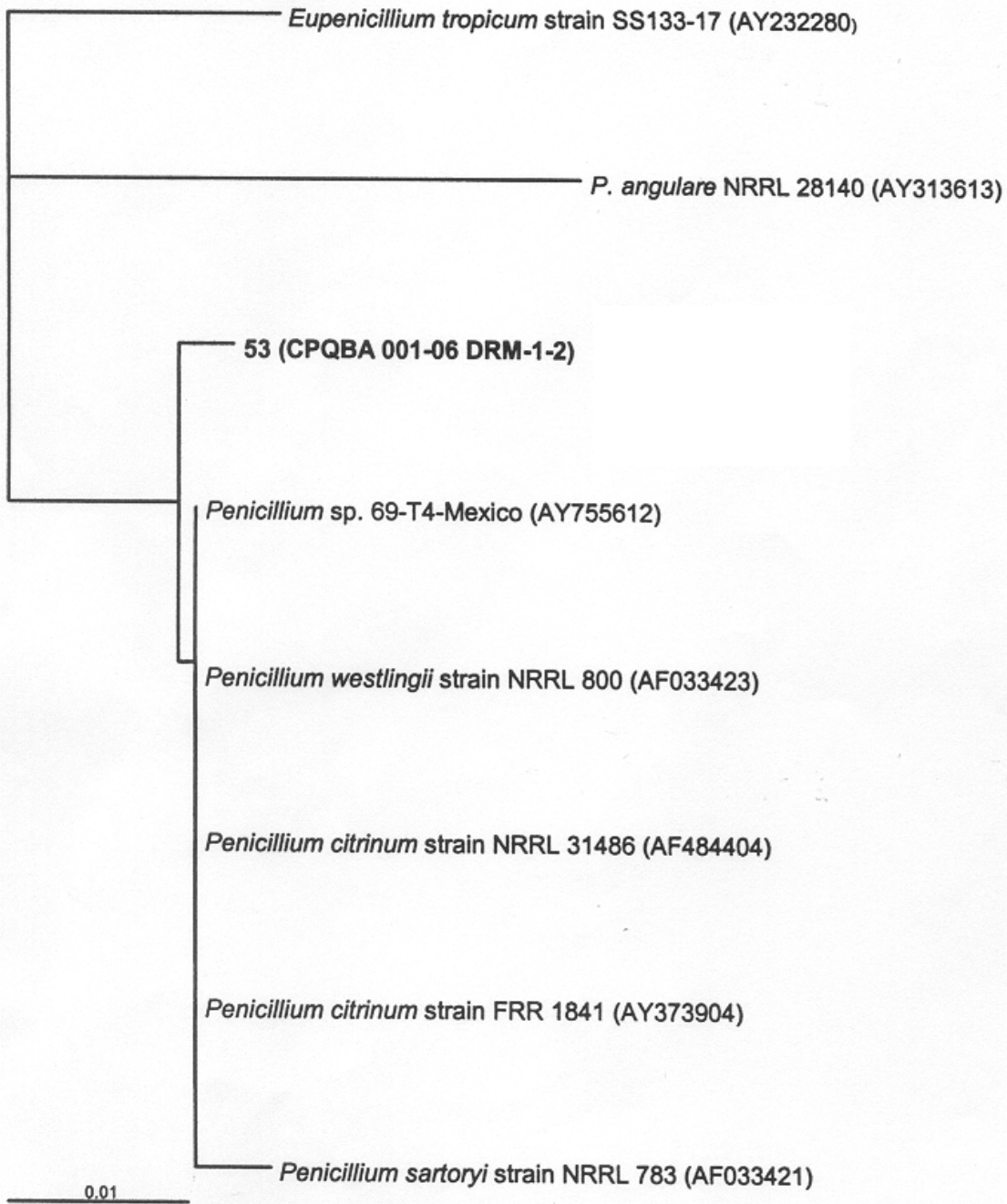


Figura v2 - 2 – Árvore filogenética demonstrando a relação entre a amostra F53 e linhagens de microrganismos relacionados, com base em sequências da região ITS.

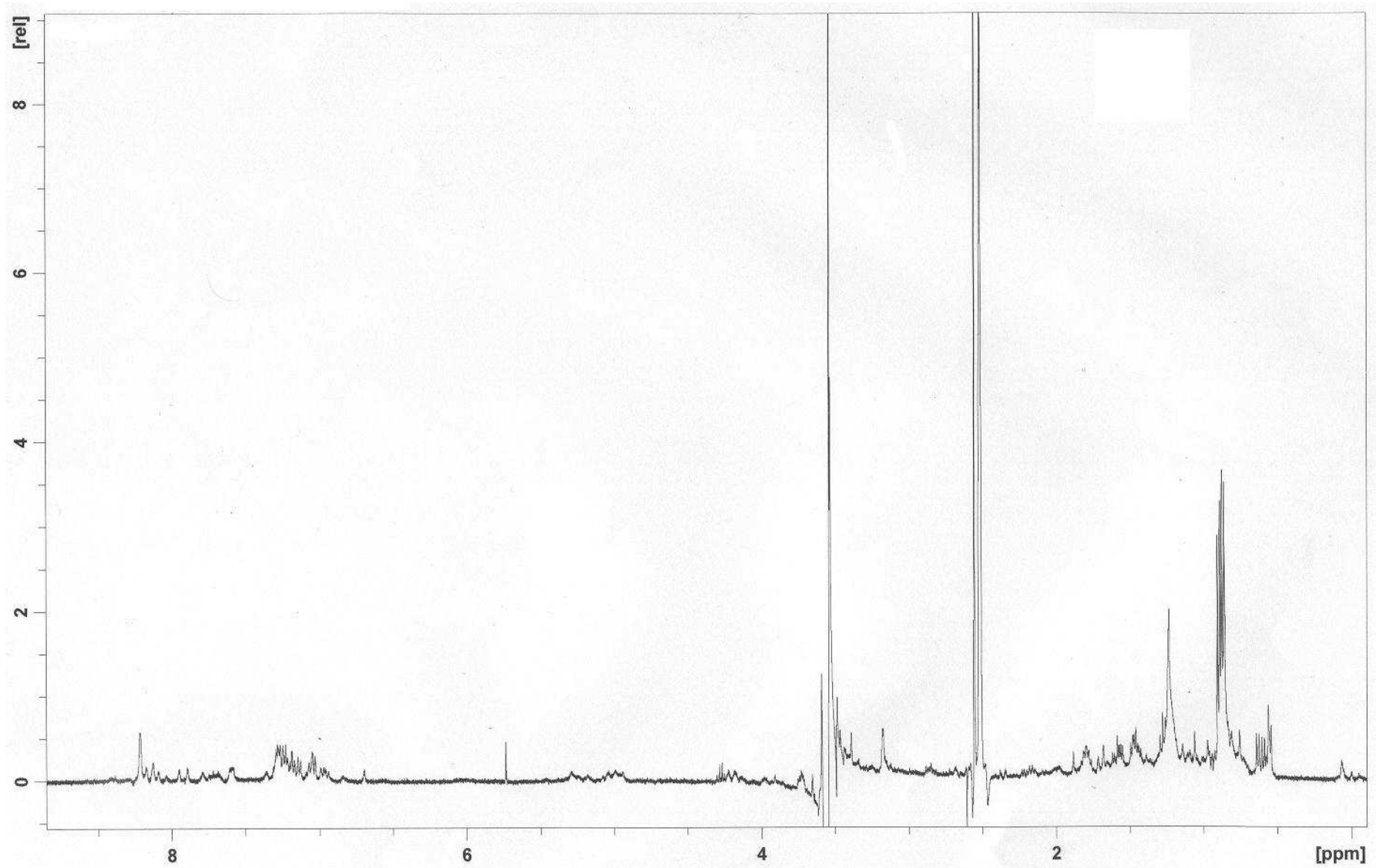


Figura v2 - 3 – Espectro de RMN- ^1H da amostra **F30OT-3-P1** isolada da fração 3 da EFS de *P. oxalicum* (DMSO- d_6 , 400 MHz).

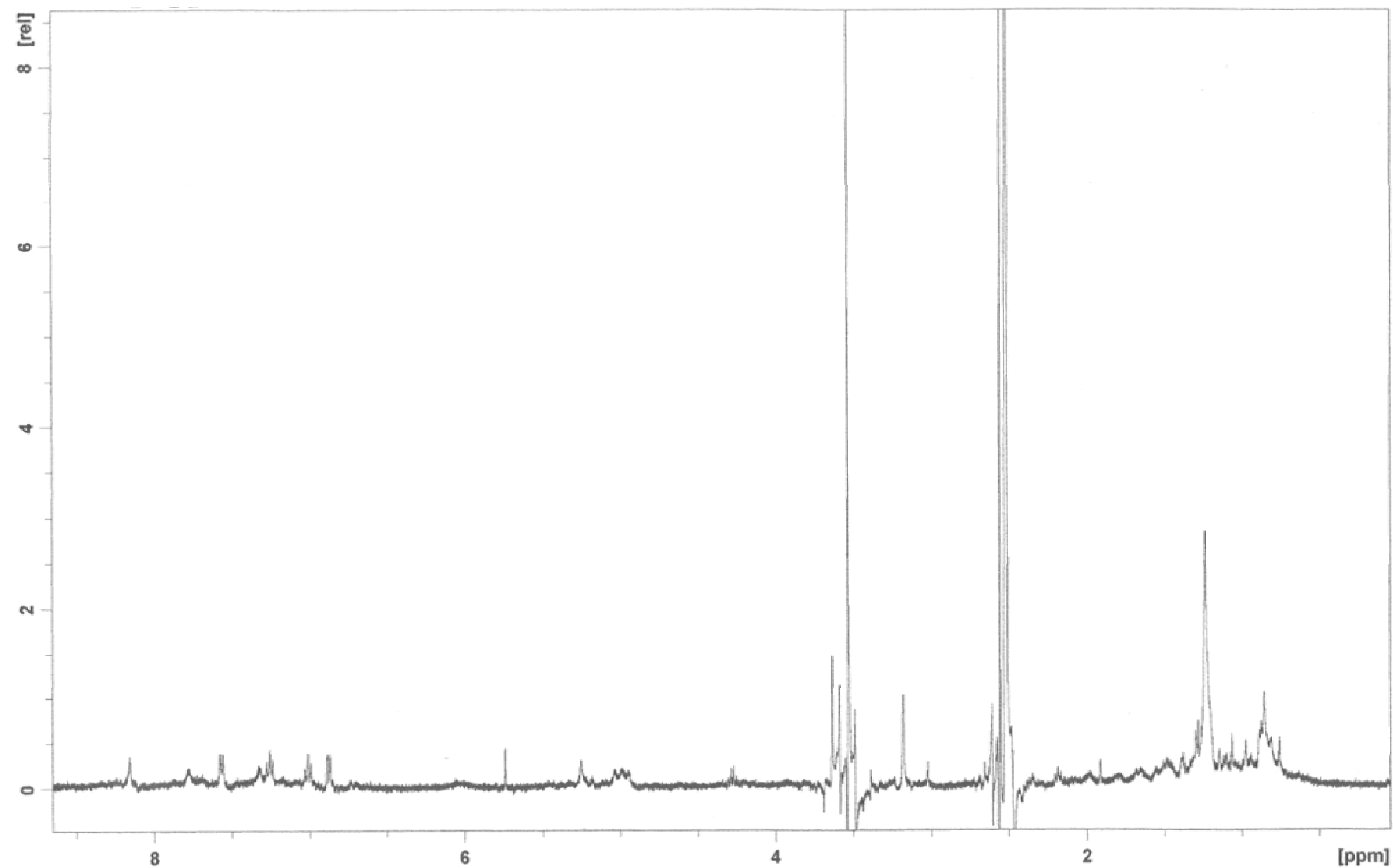


Figura v2 - 4 – Espectro de RMN- ${}^1\text{H}$ da amostra F30OT-3-P2, meleagrina (52**) isolada da fração 3 da EFS de *P. oxalicum* (DMSO- d_6 , 400 MHz).**

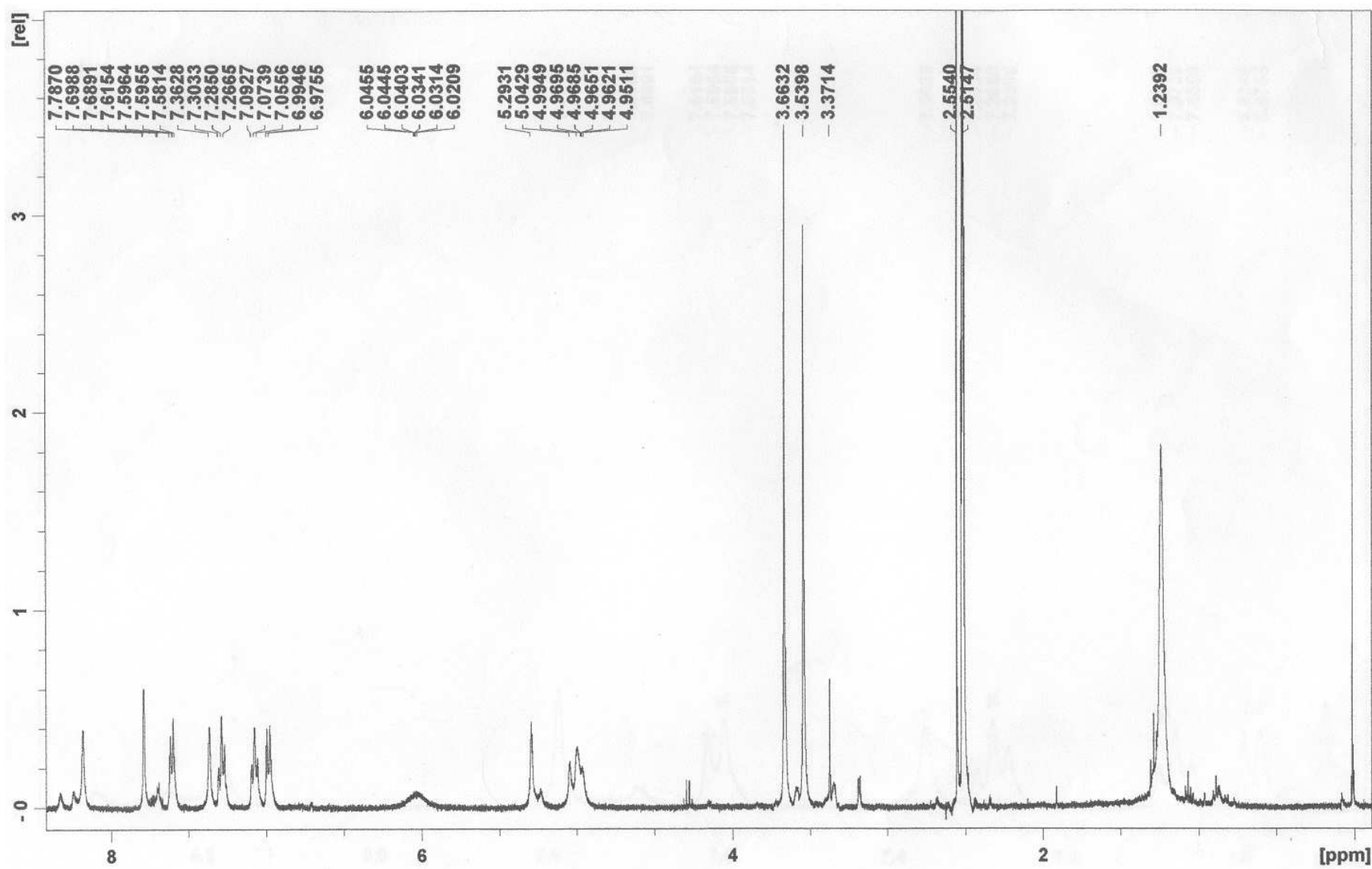


Figura v2 - 5 – Espectro de RMN-¹H da amostra F30OT-3-P3, oxalina (26**), isolada da fração 3 da EFS de *P. oxalicum* (DMSO-*d*₆, 400 MHz).**

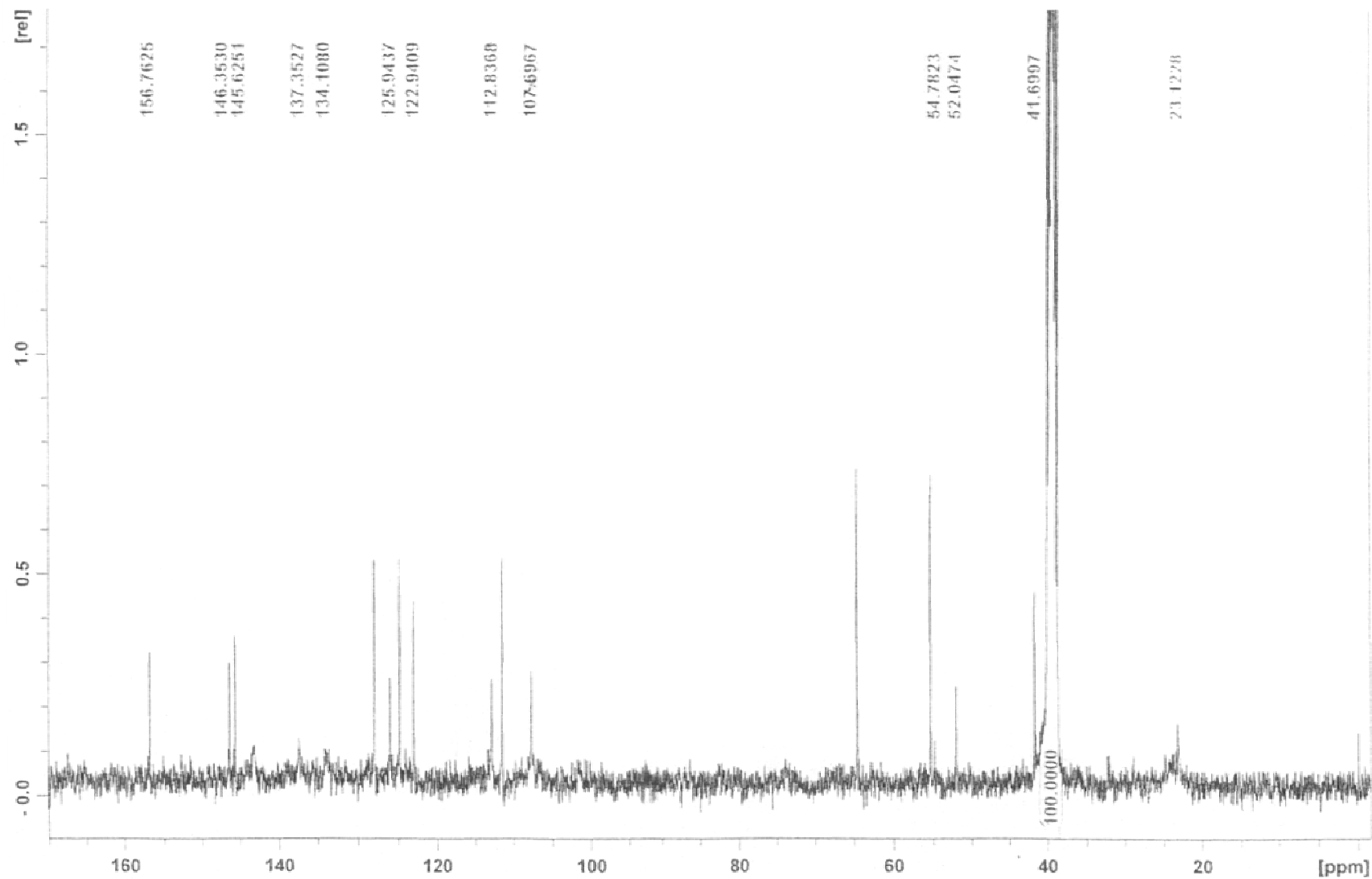


Figura v2 - 6 – Espectro de RMN- ^{13}C da amostra **F30OT-3-P3**, oxalina (**26**), isolada da fração 3 da EFS de *P. oxalicum* (DMSO- d_6 , 100 MHz).

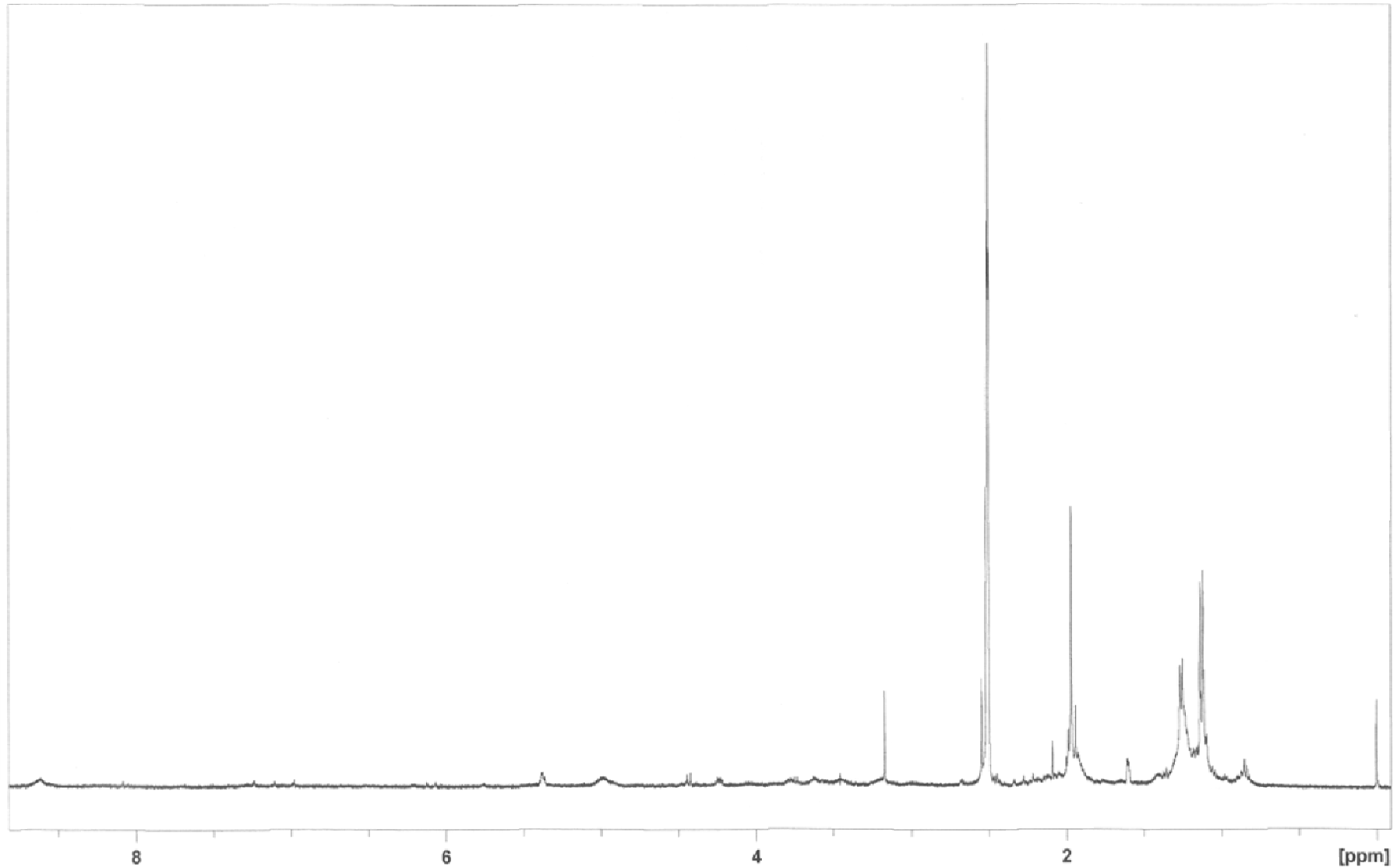


Figura v2 - 7 – Espectro de RMN- ^1H da amostra **F53OT-3-P1-4** (citrinina **31**) isolada da fração 3 da EFS de *P. citrinum* (DMSO- d_6 , 400 MHz).

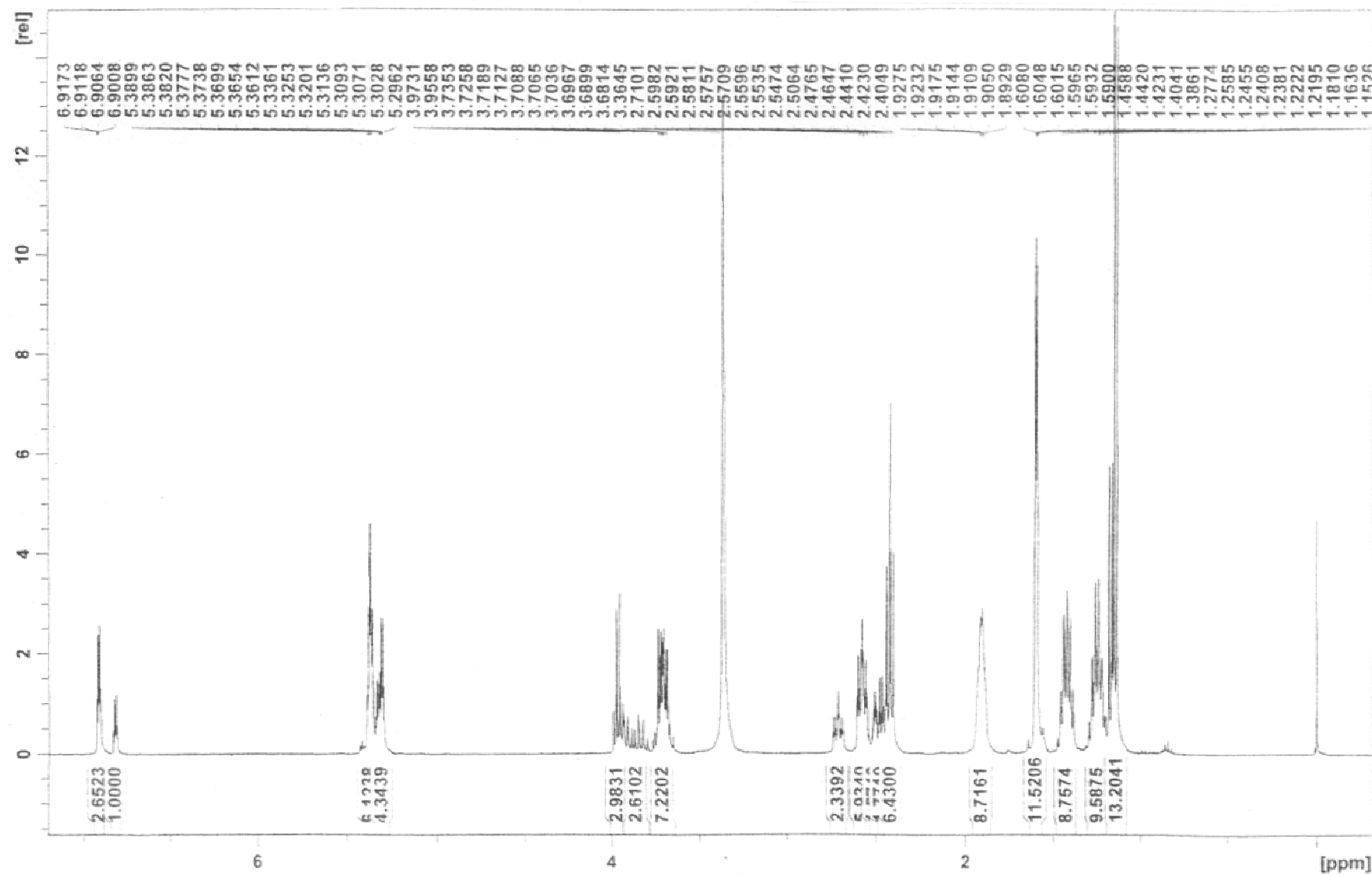


Figura v2 - 8 – Espectro de RMN-¹H da amostra F53OT-3-P8, (56**), isolada da fração 3 da EFS de *P. citrinum* (DMSO-*d*₆, 400 MHz).**

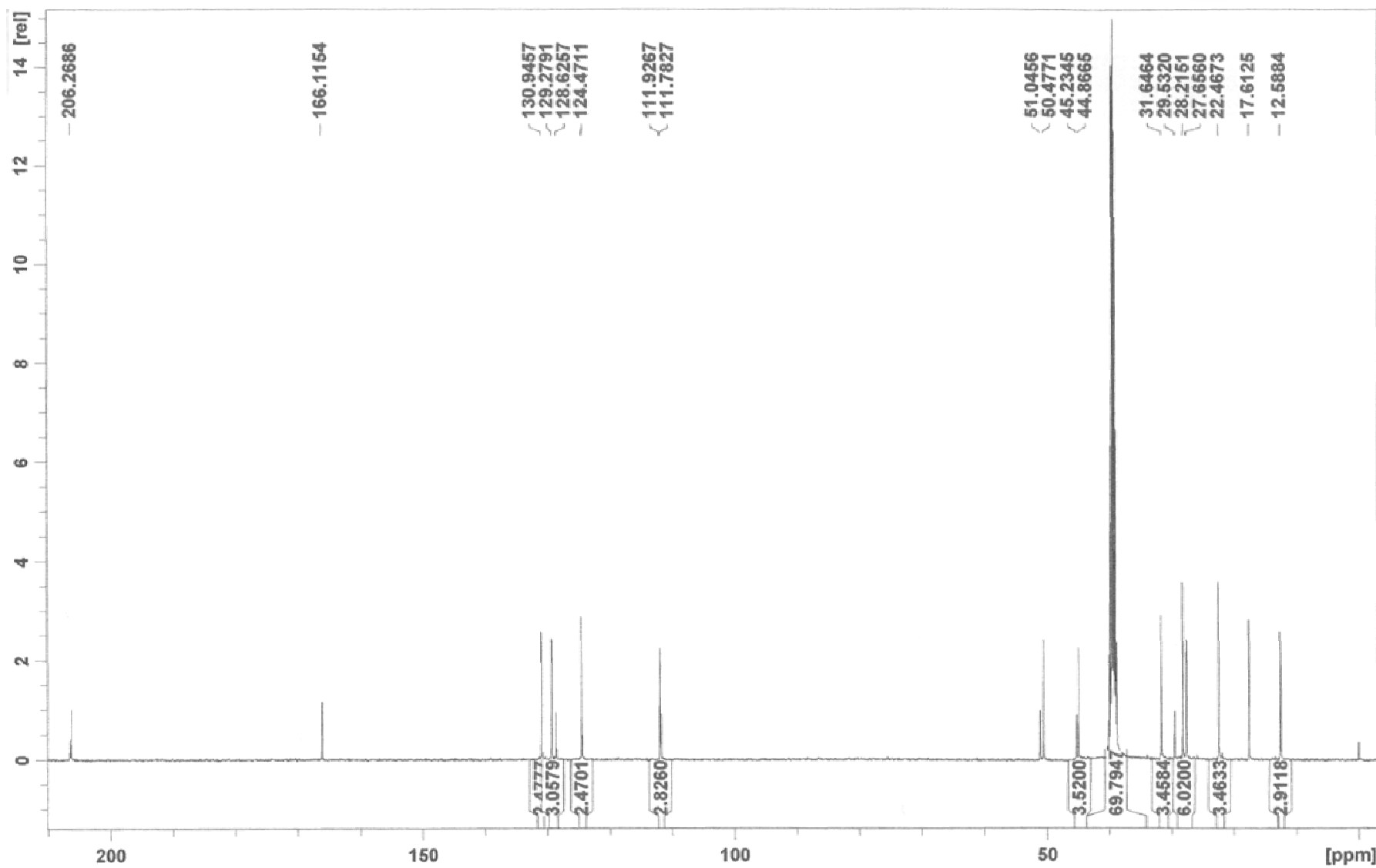


Figura v2 - 9 – Espectro de RMN-¹³C da amostra F53OT-3-P8, (**56**), isolada da fração 3 da EFS de *P. citrinum* (DMSO-*d*₆, 100 MHz).

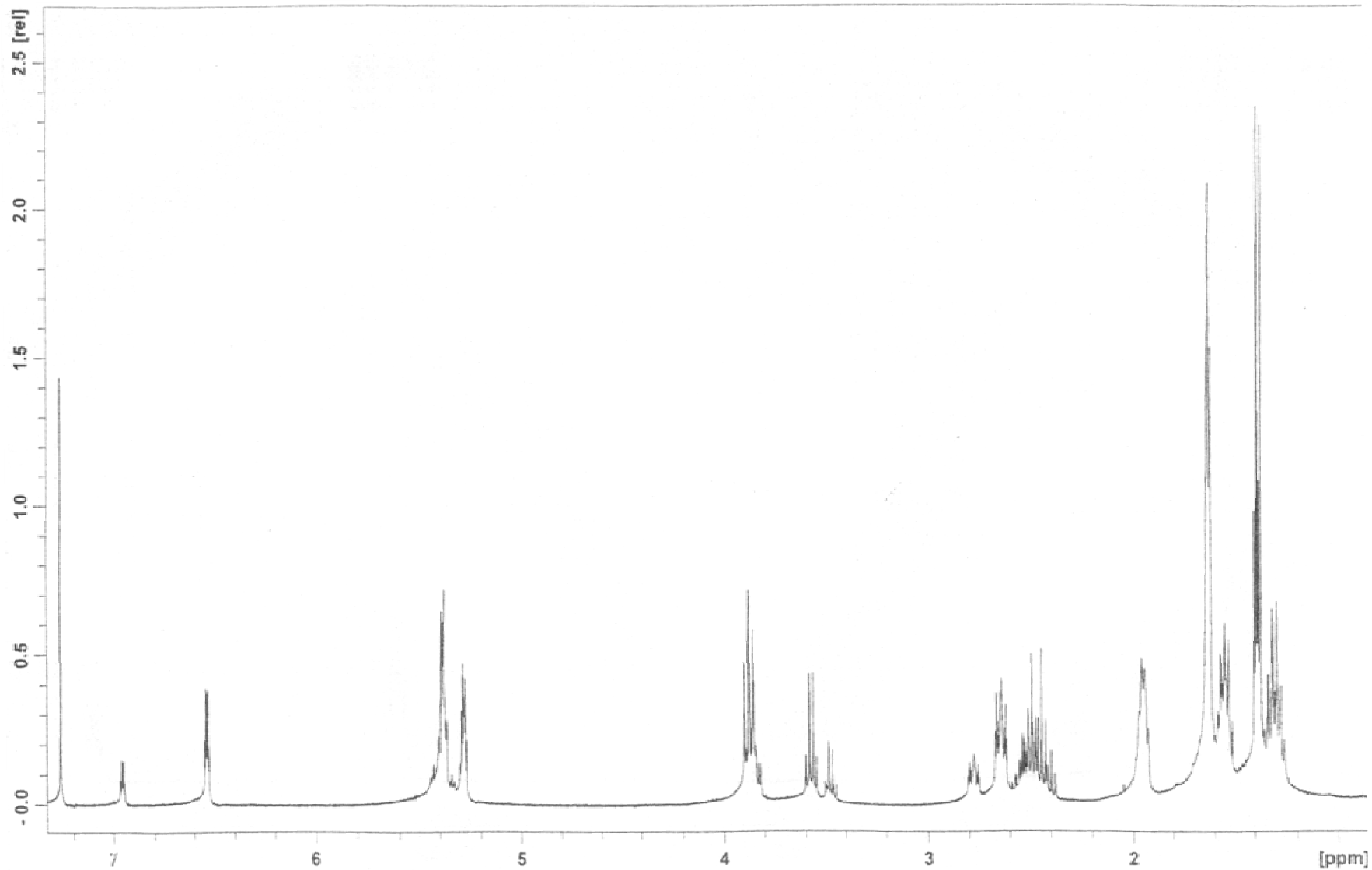


Figura v2 – 10 – Espectro de RMN- ^1H da amostra F53OT-3-P8, (**56**), isolada da fração 3 da EFS de *P. citrinum* (CDCl_3 , 400 MHz).

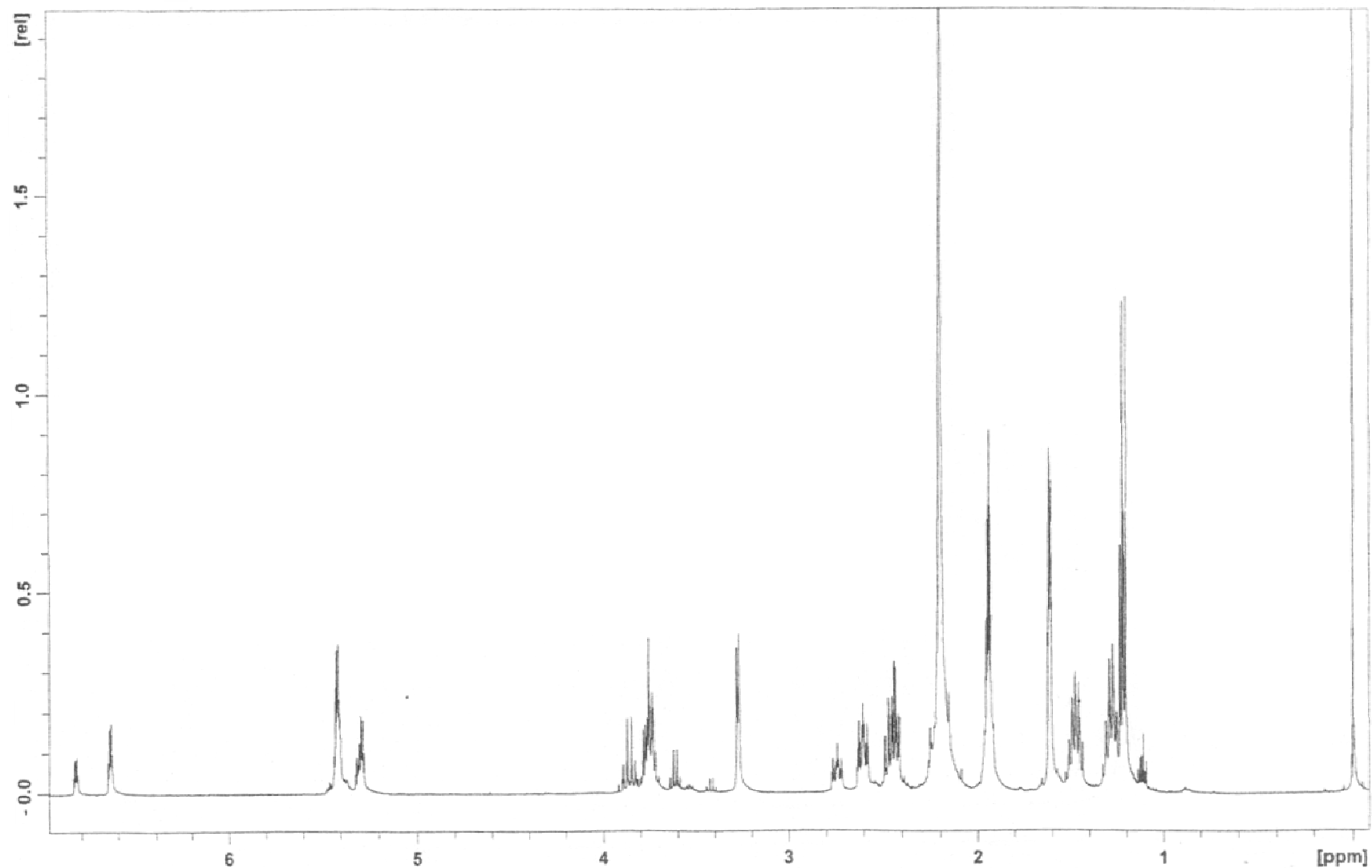


Figura v2 – 11 – Espectro de RMN- ^1H da amostra F53OT-3-P8, (**56**), isolada da fração 3 da EFS de *P. citrinum* (MeCN- d_3 , 400 MHz).

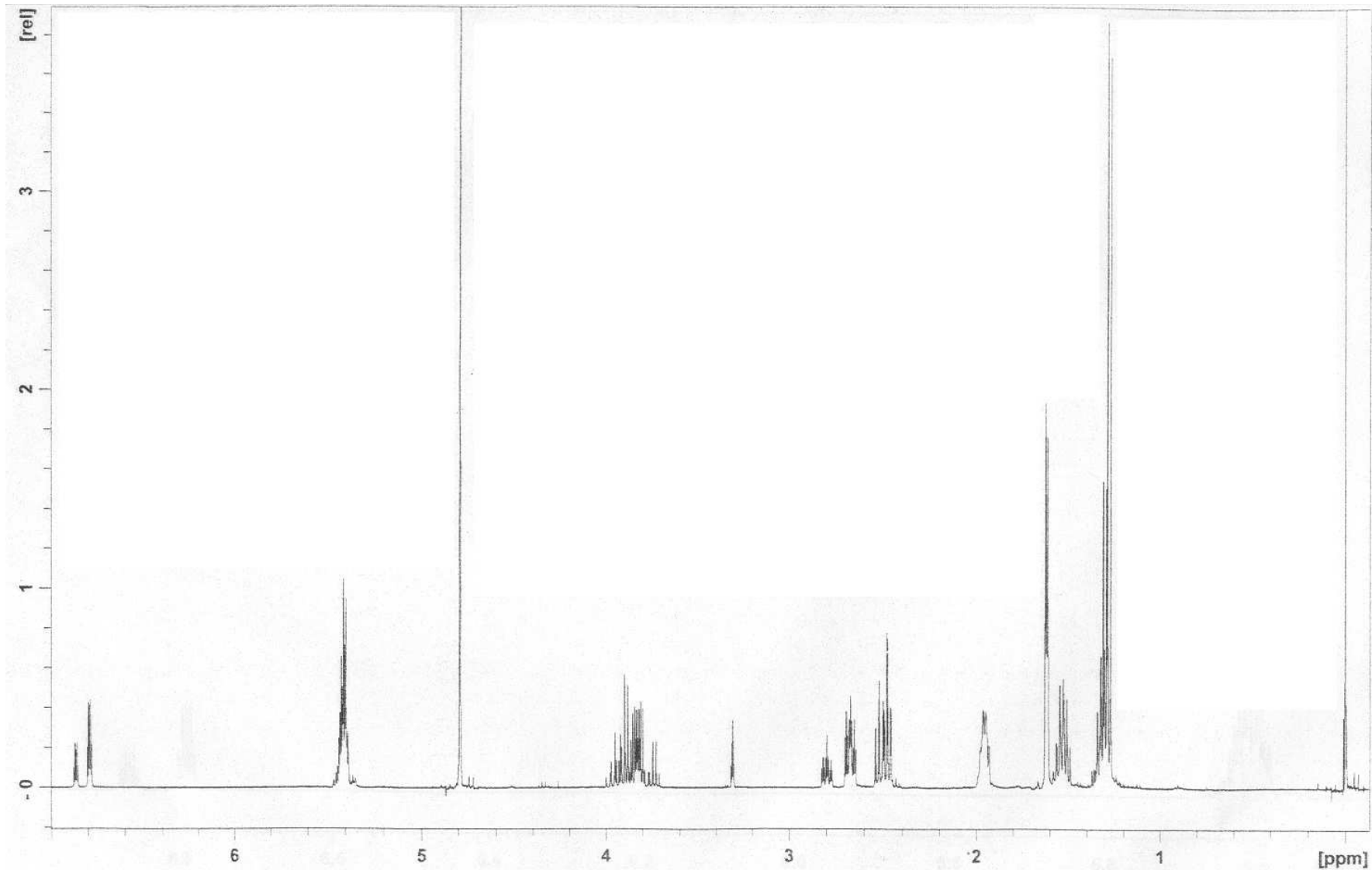


Figura v2 – 12 – Espectro de RMN- ^1H da amostra F53OT-3-P8, (56), isolada da fração 3 da EFS de *P. citrinum* ($\text{MeOH}-d_4$, 400 MHz).

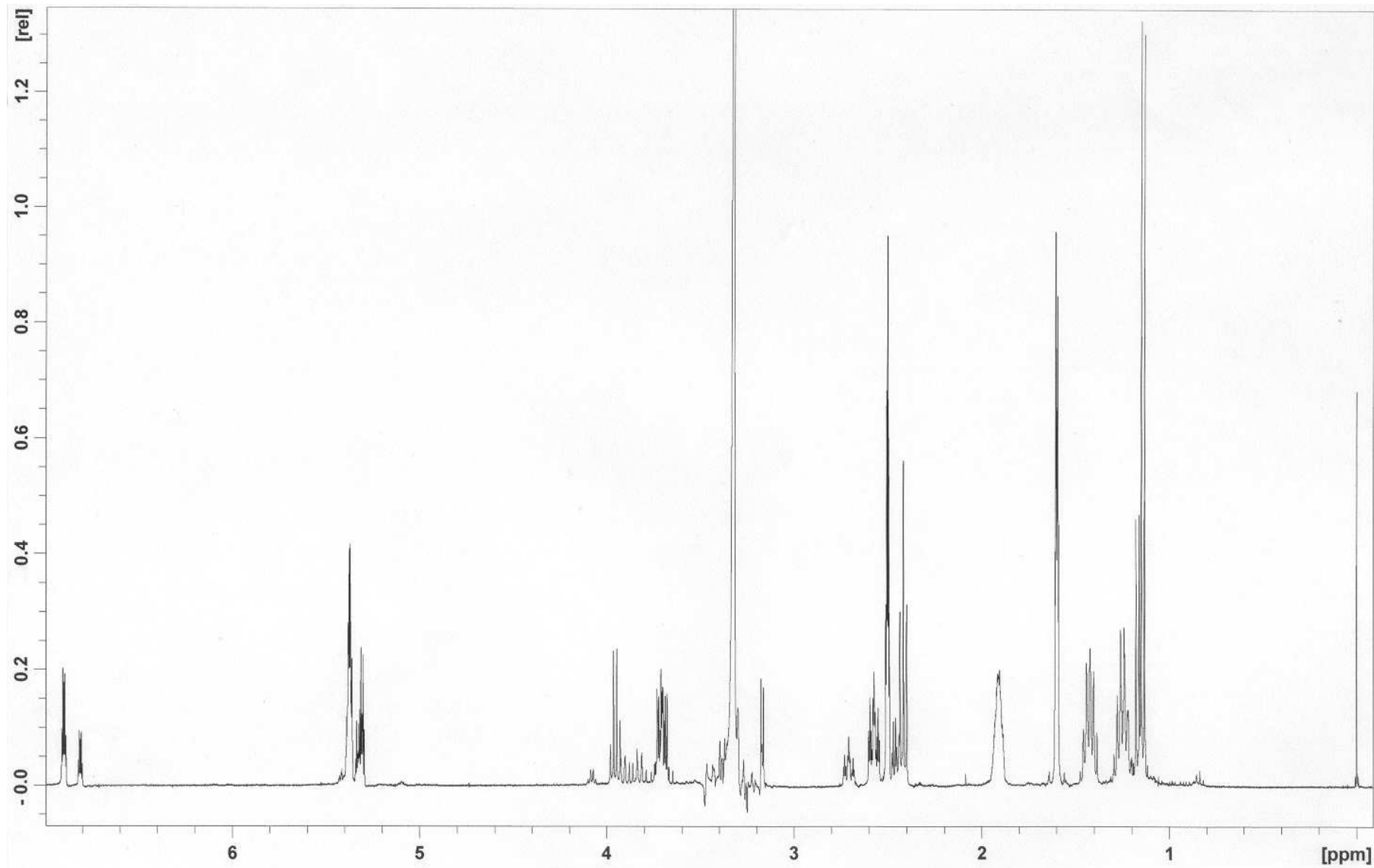


Figura v2 – 13 – Espectro de RMN- ^1H realizado a 30°C, da amostra F53OT-3-P8, (**56**), isolada da fração 3 da EFS de *P. citrinum* ($\text{DMSO}-d_6$, 400 MHz).

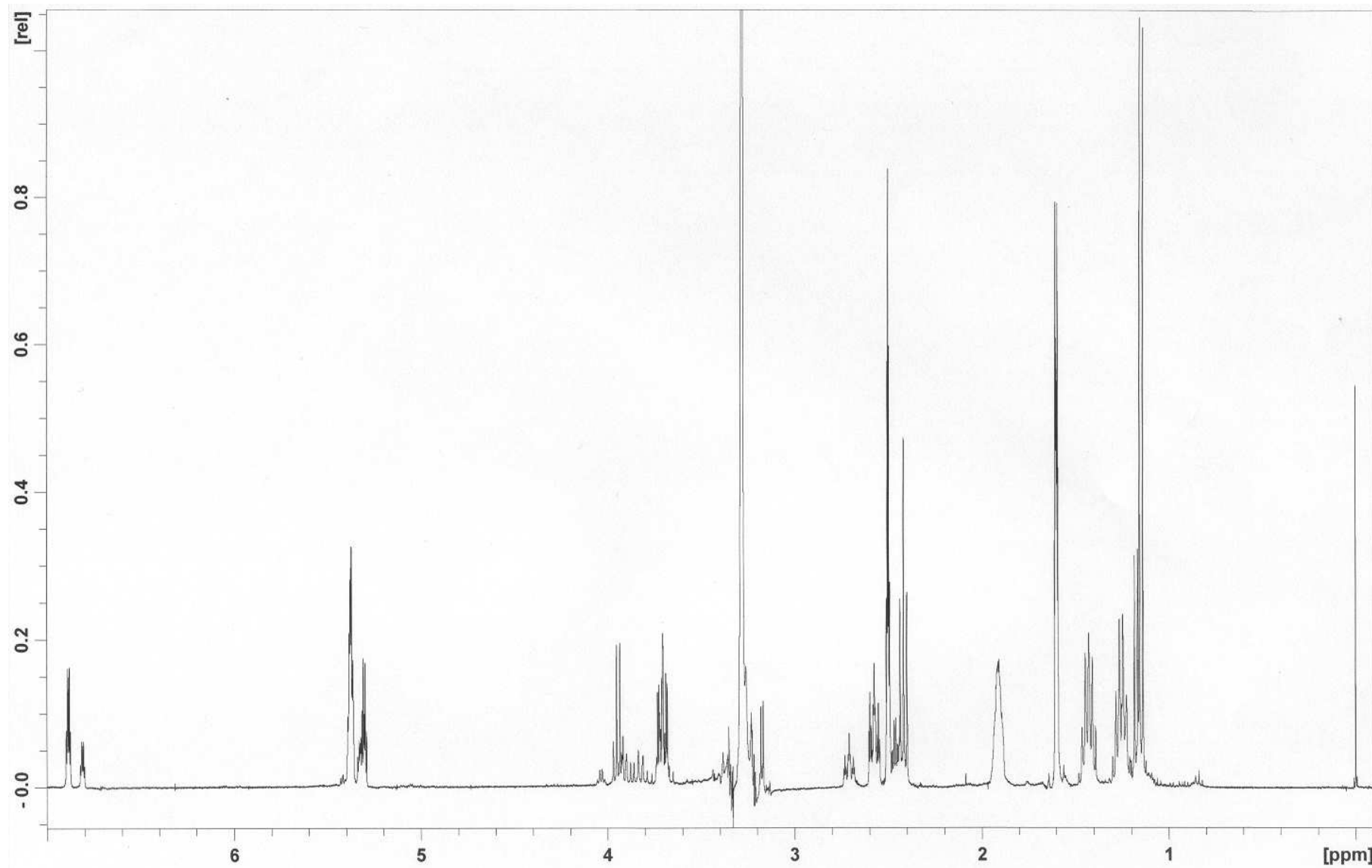


Figura v2 – 14 – Espectro de RMN- ^1H realizado a 40°C, da amostra F53OT-3-P8, (**56**), isolada da fração 3 da EFS de *P. citrinum* (DMSO- d_6 , 400 MHz).

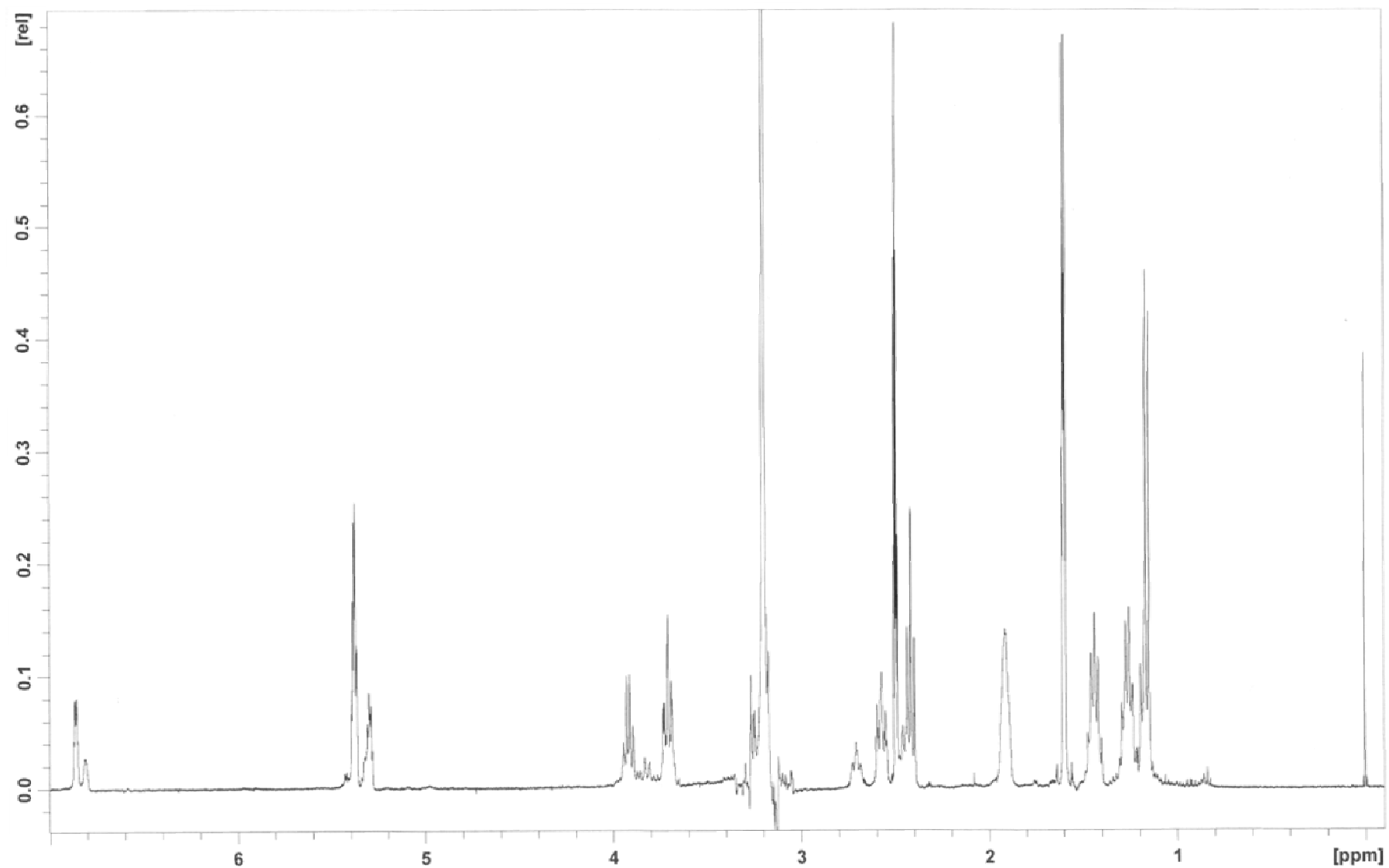


Figura v2 – 15 – Espectro de RMN- ^1H realizado a 50°C, da amostra F53OT-3-P8, (**56**), isolada da fração 3 da EFS de *P. citrinum* (DMSO- d_6 , 400 MHz).

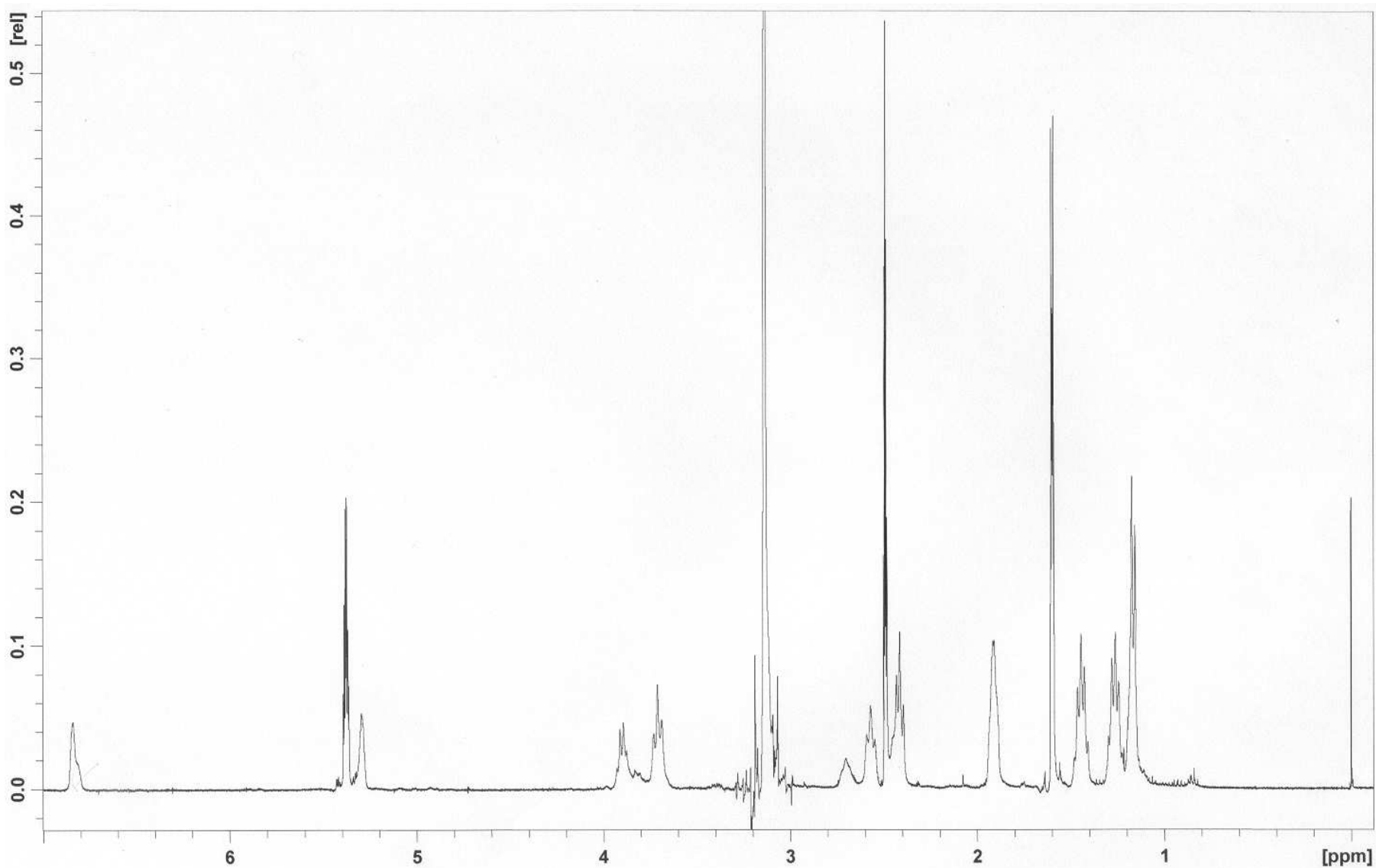


Figura v2 – 16 – Espectro de RMN- ^1H realizado a 60°C, da amostra F53OT-3-P8, (**56**), isolada da fração 3 da EFS de *P. citrinum* (DMSO- d_6 , 400 MHz).

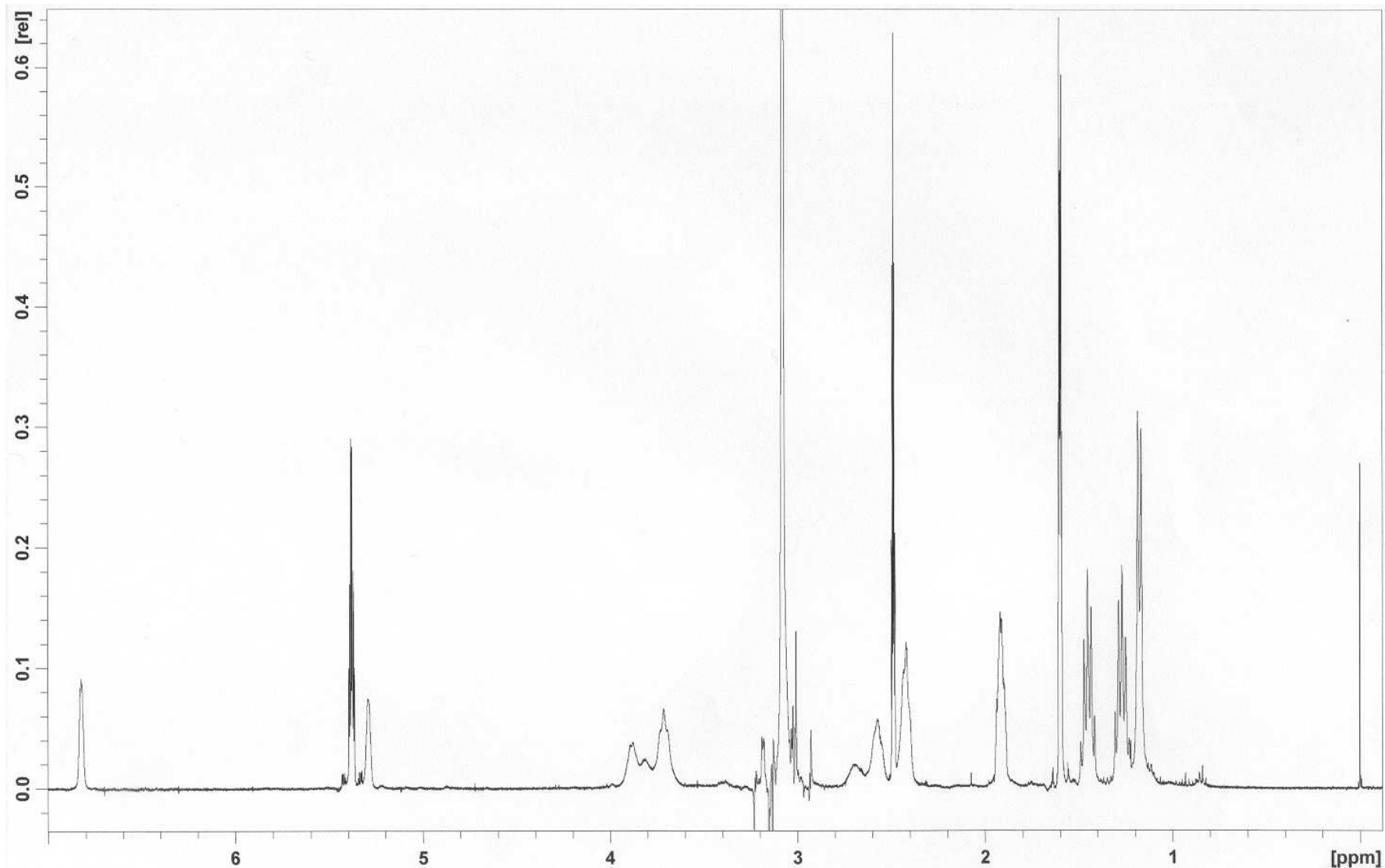


Figura v2 – 17 – Espectro de RMN- ^1H realizado a 70°C, da amostra F53OT-3-P8, (56), isolada da fração 3 da EFS de *P. citrinum* ($\text{DMSO}-d_6$, 400 MHz).

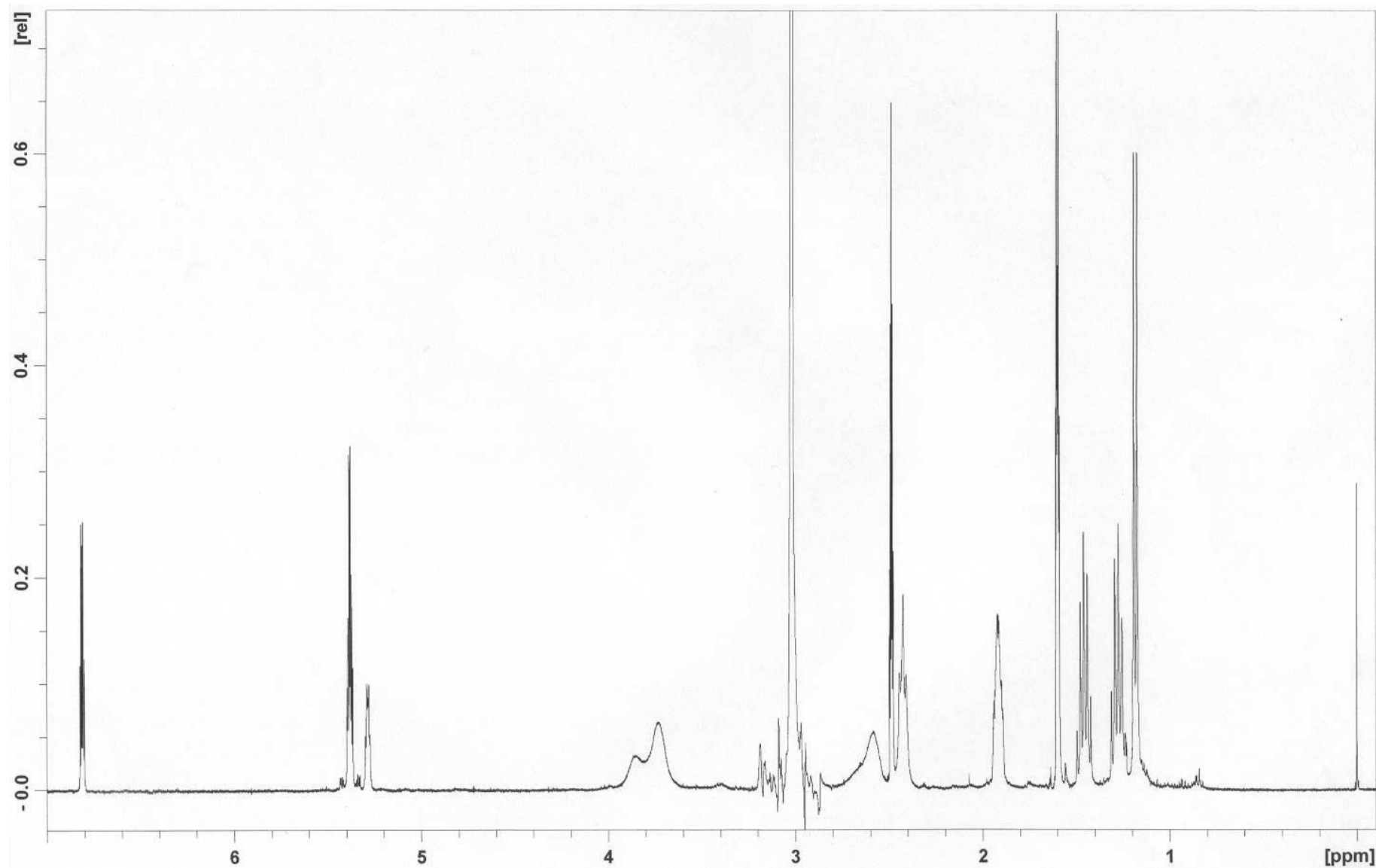


Figura v2 – 18 – Espectro de RMN- ^1H realizado a 80°C, da amostra F53OT-3-P8, (**56**), isolada da fração 3 da EFS de *P. citrinum* (DMSO- d_6 , 400 MHz).

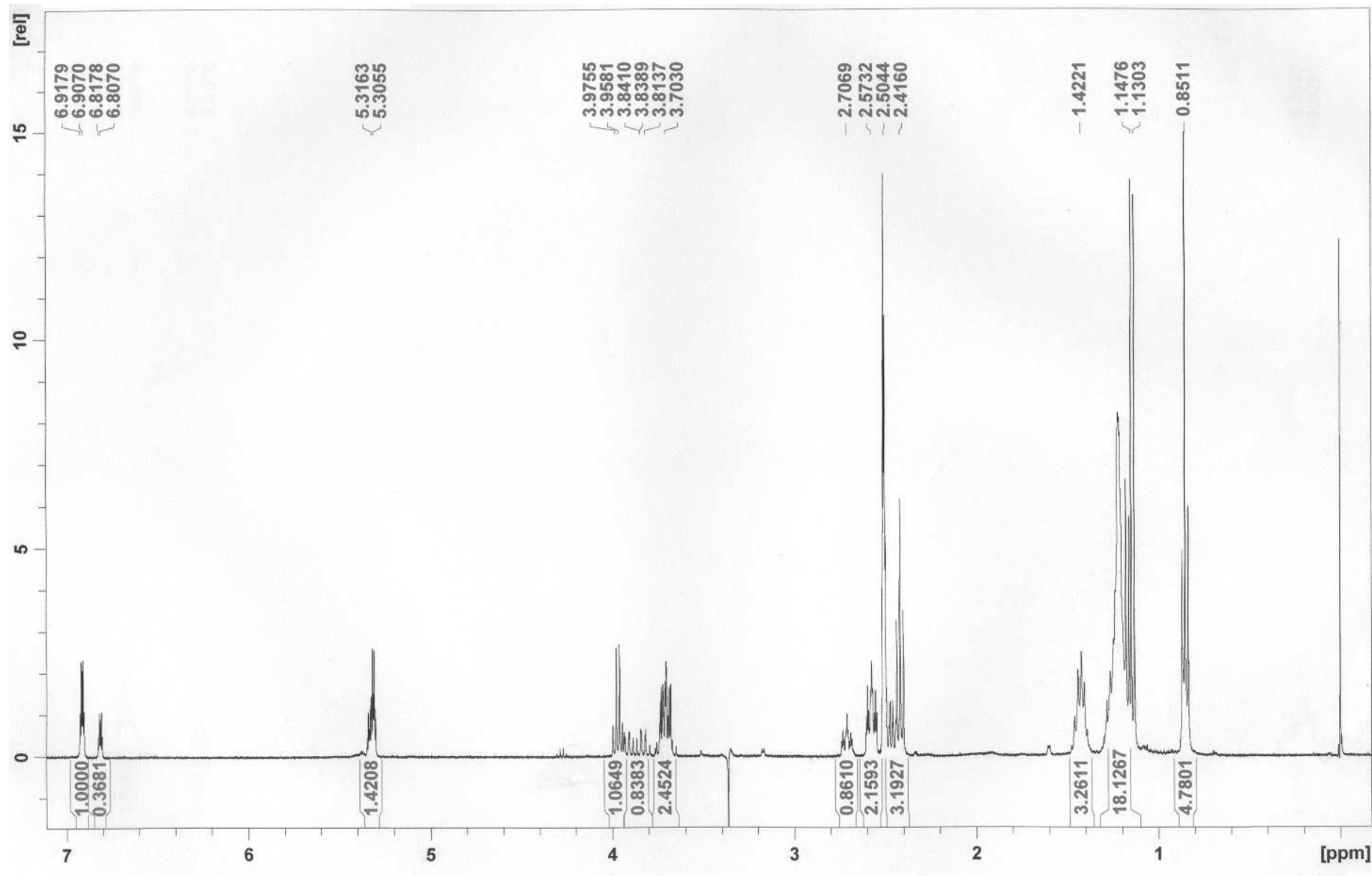


Figura v2 – 19 – Espectro de RMN-¹H da amostra **F53OT-3-P11**, (58), isolada da fração 3 da EFS de *P. citrinum* (DMSO-*d*₆, 400 MHz).

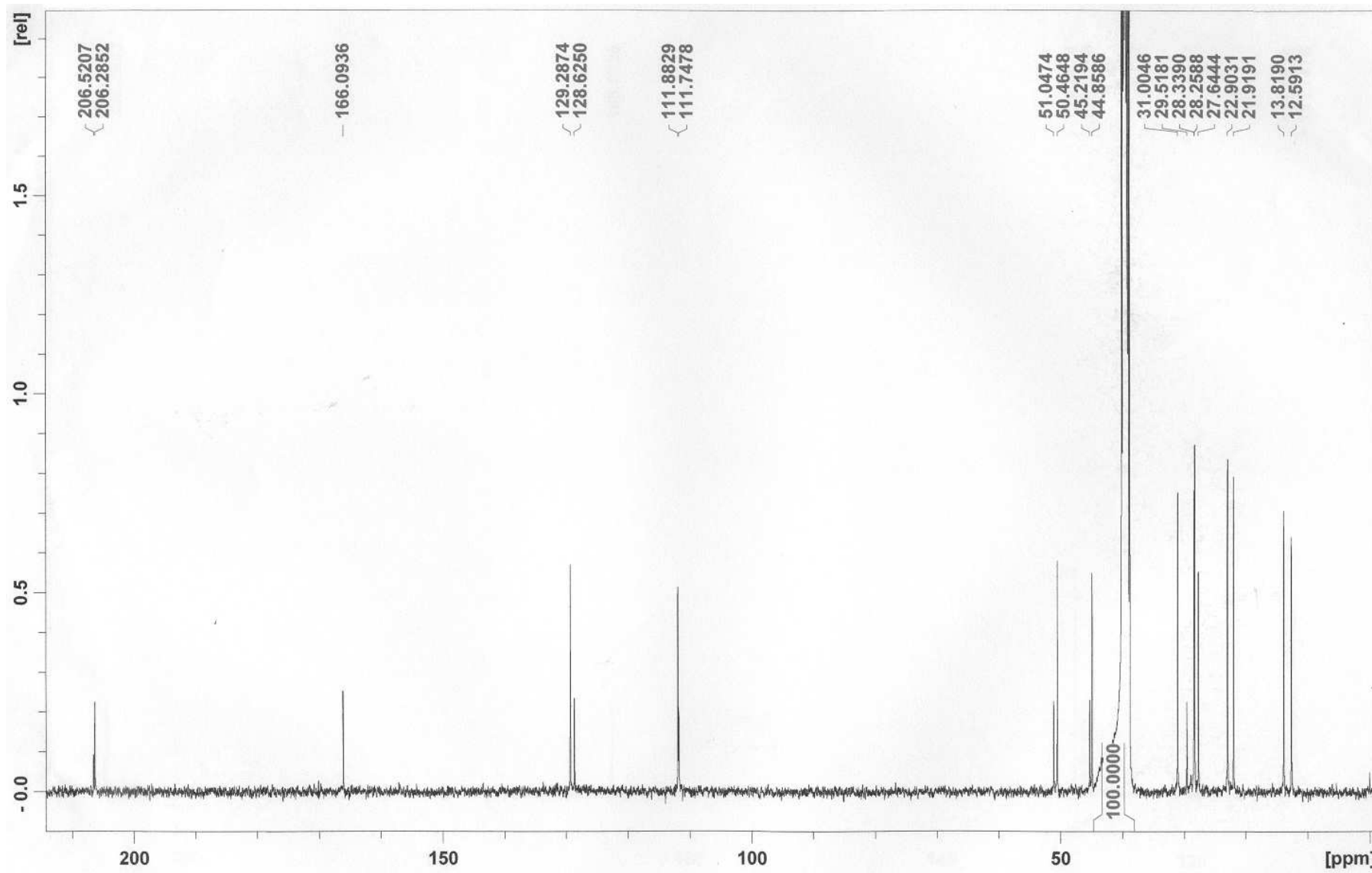


Figura v2 – 20 – Espectro de RMN- ^{13}C da amostra F53OT-3-P11, (**58**), isolada da fração 3 da EFS de *P. citrinum* (DMSO- d_6 , 100 MHz).

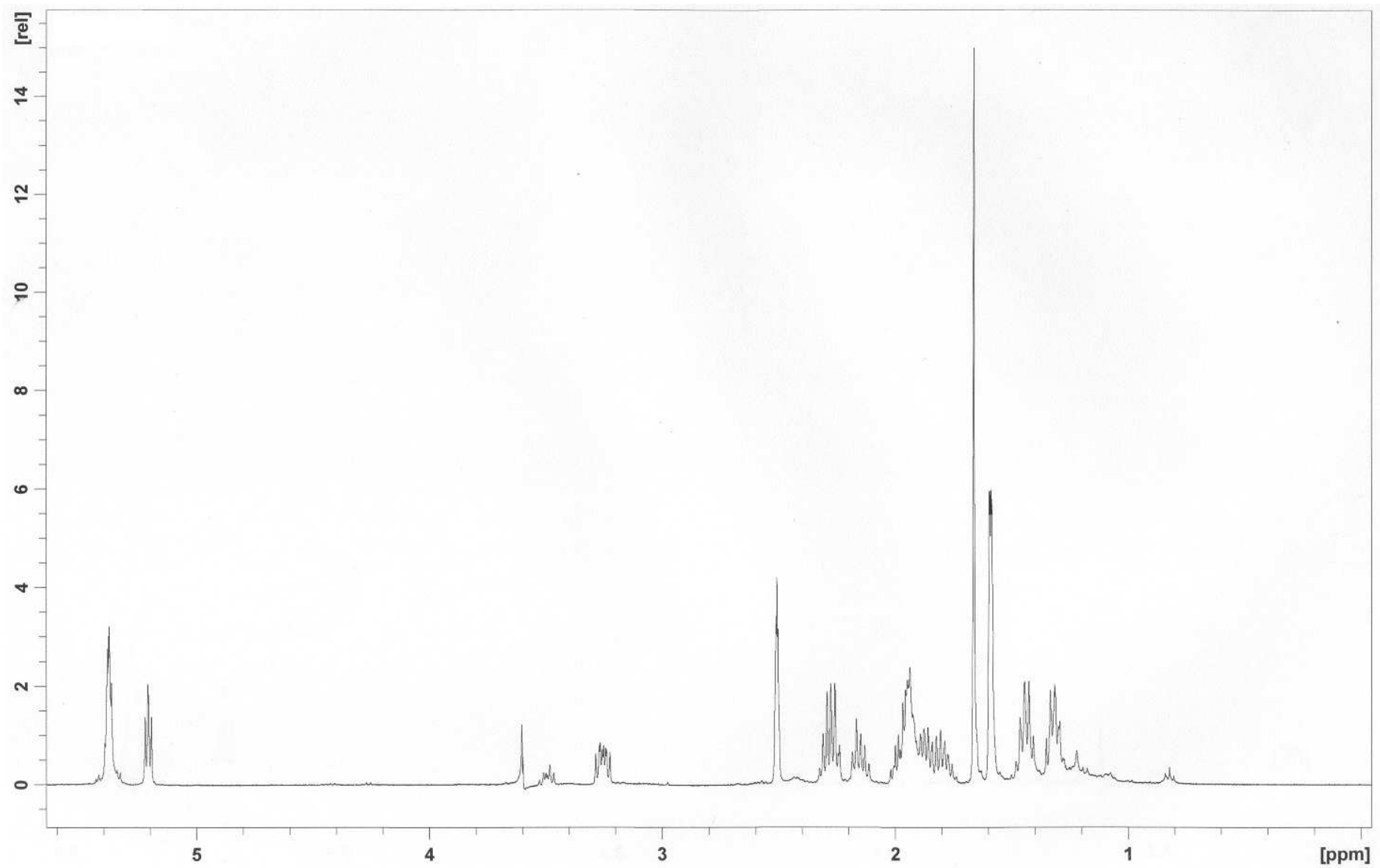


Figura v2 – 21 – Espectro de RMN- ^1H da amostra **F53-F4-P4**, (59), isolada da fração 4 da EFS da reunião do PFF de *P. citrinum* ($\text{DMSO}-d_6$, 400 MHz).

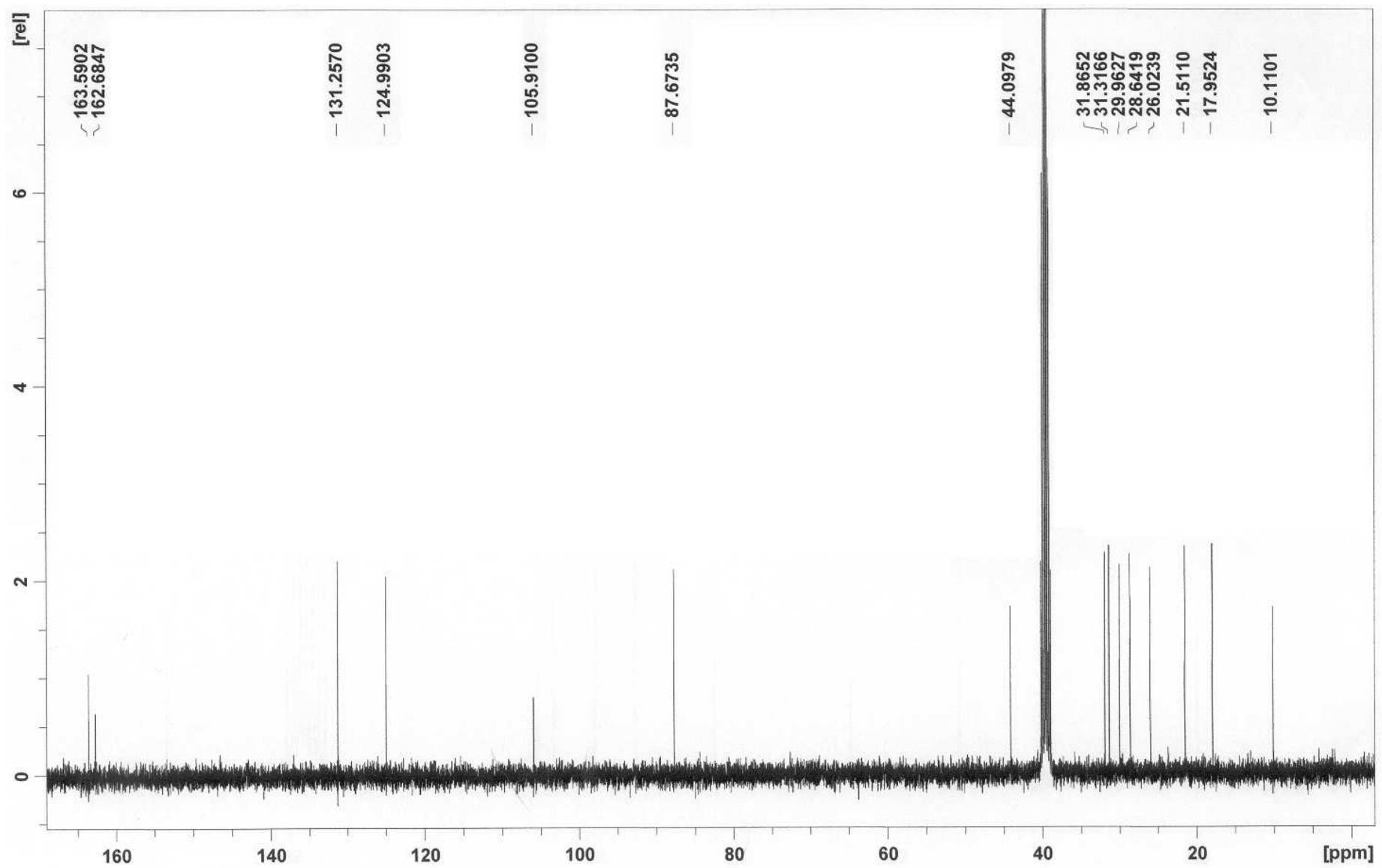


Figura v2 – 22 – Espectro de RMN- ^{13}C da amostra **F53-F4-P4**, (59), isolada da fração 4 da EFS da reunião do PFF de *P. citrinum* (DMSO- d_6 , 100 MHz).

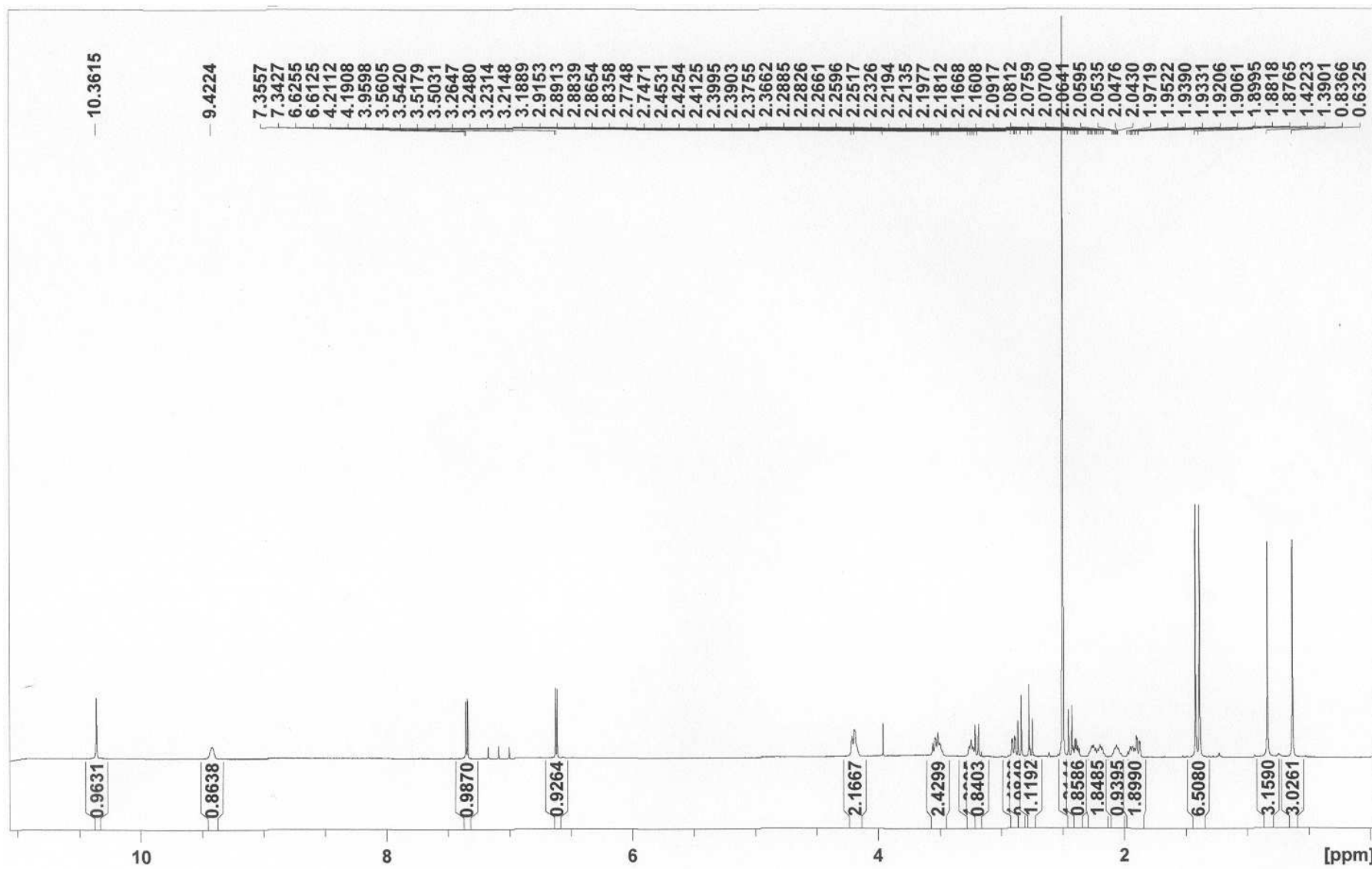


Figura v2 – 23 a – Espectro de RMN-¹H da amostra F53-F4-P7, (citrinalina A **60**), isolada da fração 4 da EFS da reunião do PFF de *P. citrinum* (DMSO-*d*₆, 600 MHz).

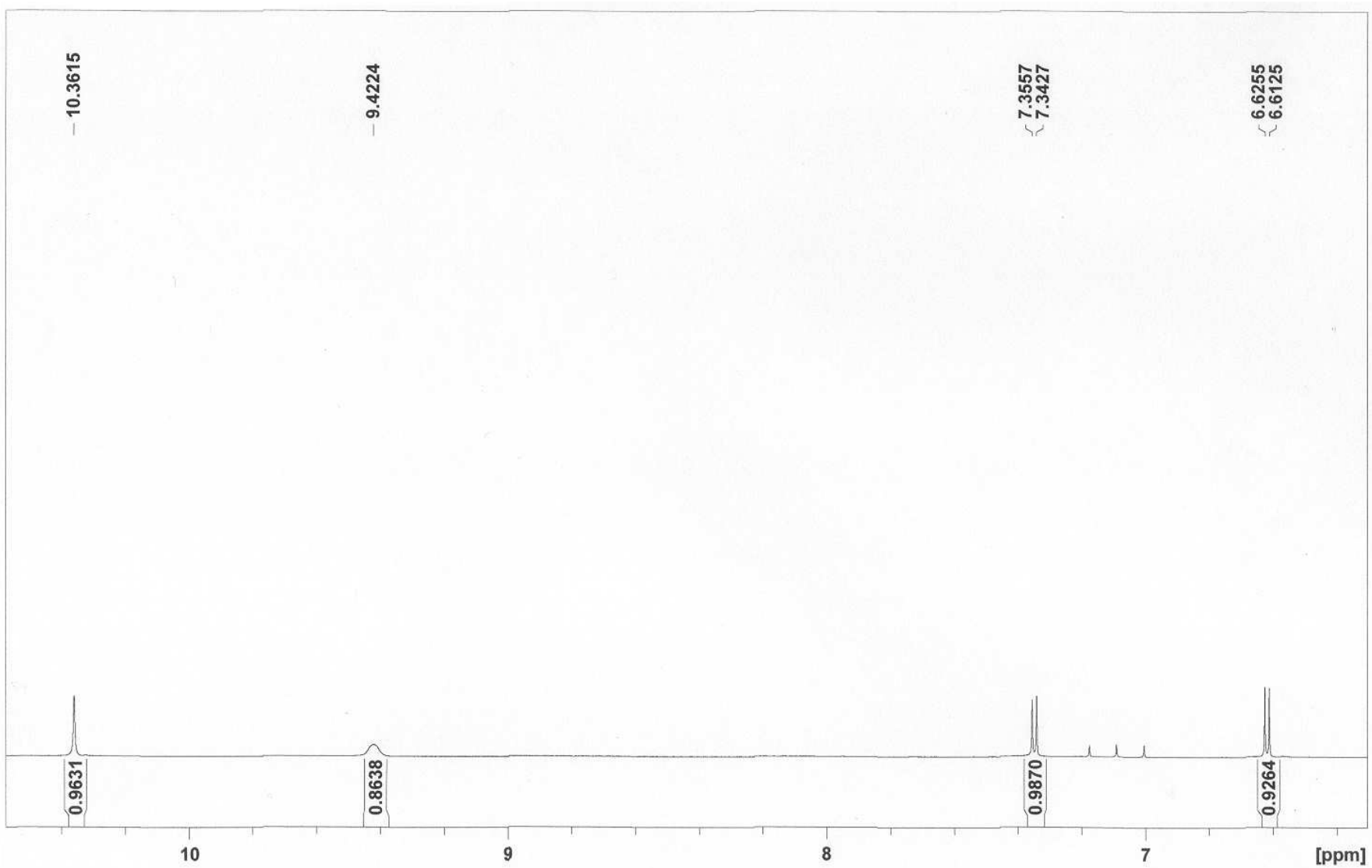


Figura v2 – 23 b – Ampliação do espectro de RMN- ^1H da amostra F53-F4-P7, (citrinalina A **60**), isolada da fração 4 da EFS da reunião do PFF de *P. citrinum* (DMSO- d_6 , 600 MHz).

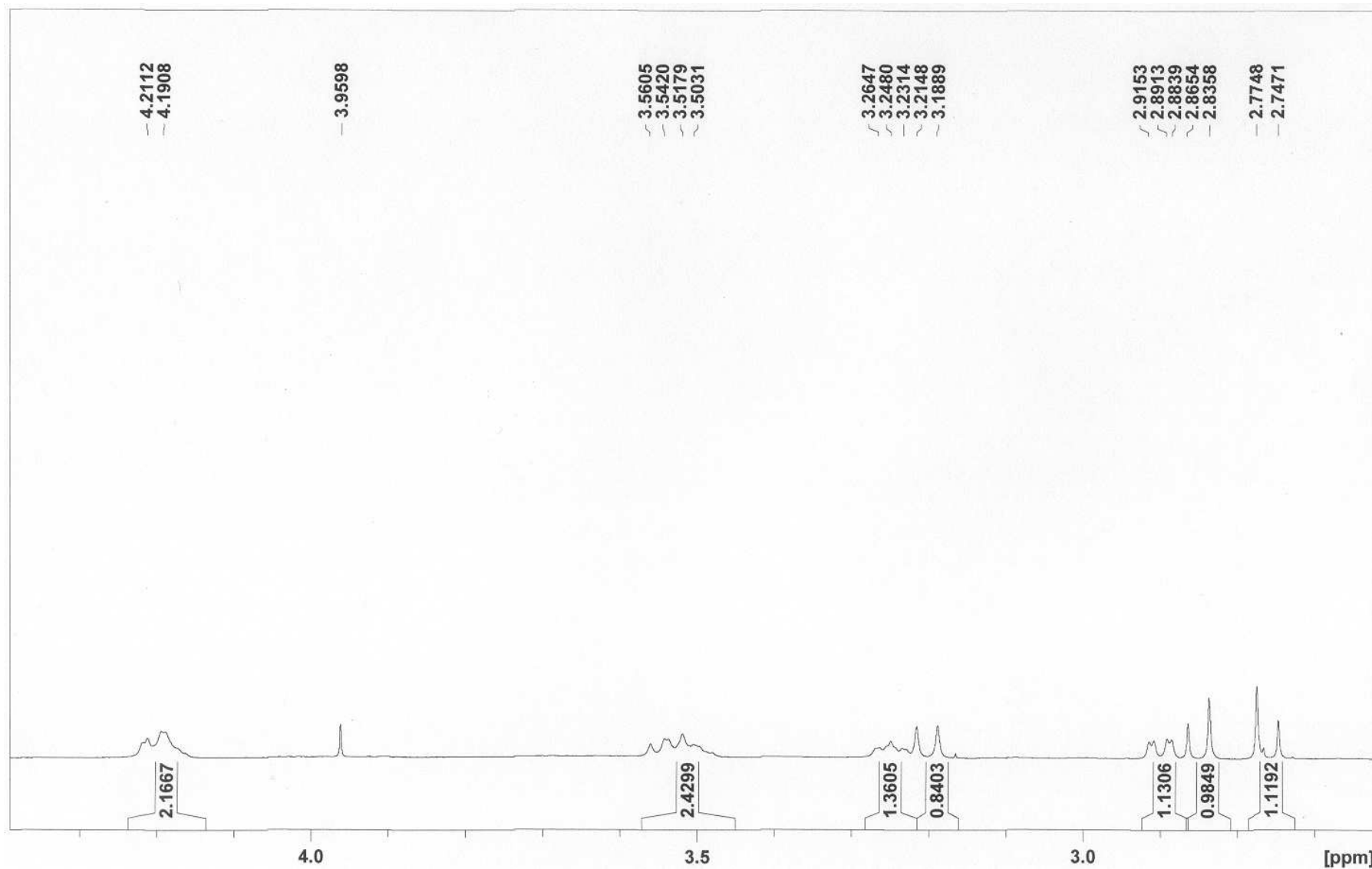


Figura v2 – 23 c – Ampliação do espectro de RMN- ^1H da amostra F53-F4-P7, (citrinalina A **60**), isolada da fração 4 da EFS da reunião do PFF de *P. citrinum* (DMSO- d_6 , 600 MHz).

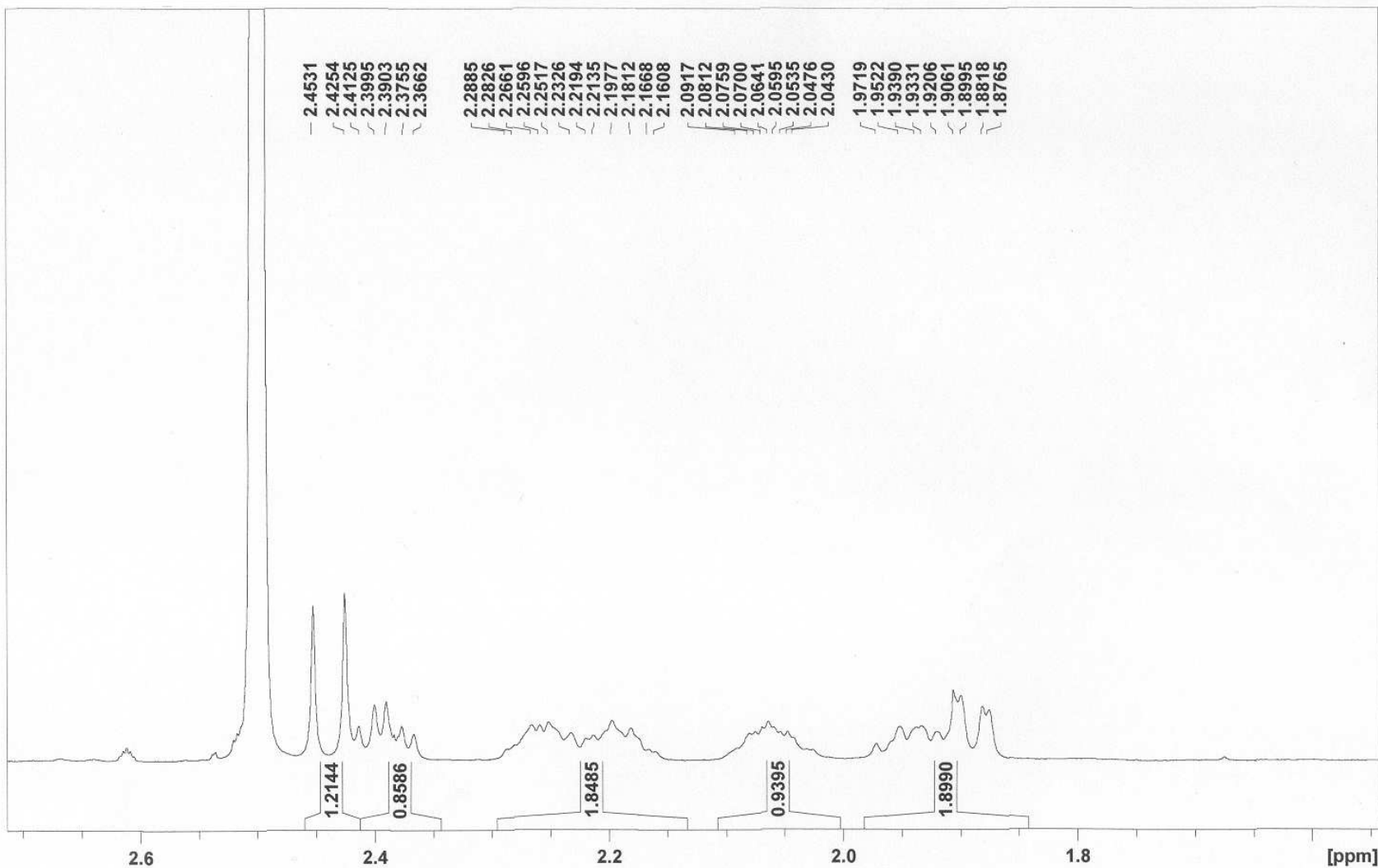


Figura v2 – 23 d – Ampliação do espectro de RMN-¹H da amostra F53-F4-P7, (citrinalina A **60**), isolada da fração 4 da EFS da reunião do PFF de *P. citrinum* (DMSO-*d*₆, 600 MHz).

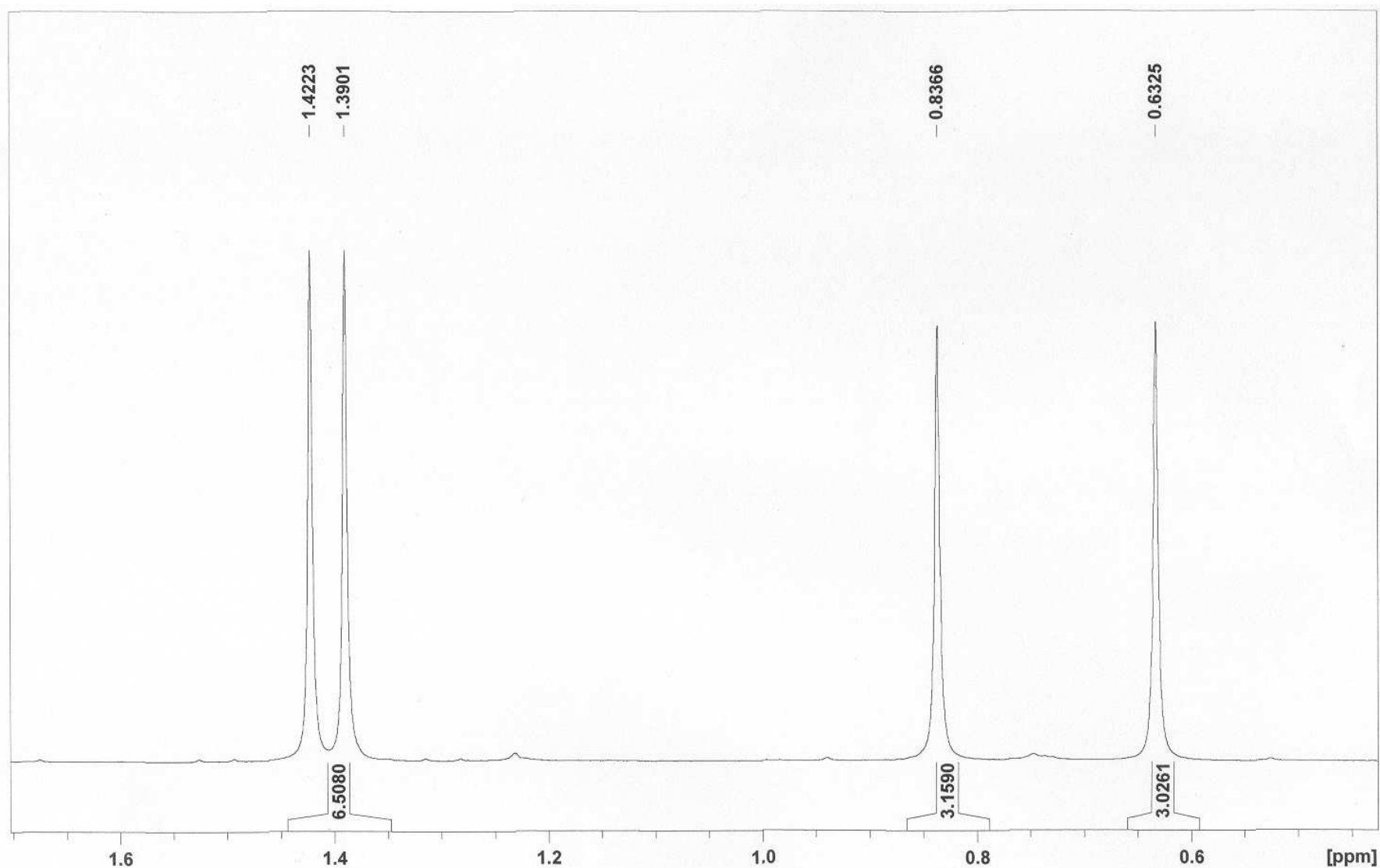


Figura v2 – 23 e – Ampliação do espectro de RMN- ^1H da amostra F53-F4-P7, (citrinalina A **60**), isolada da fração 4 da EFS da reunião do PFF de *P. citrinum* (DMSO- d_6 , 600 MHz).

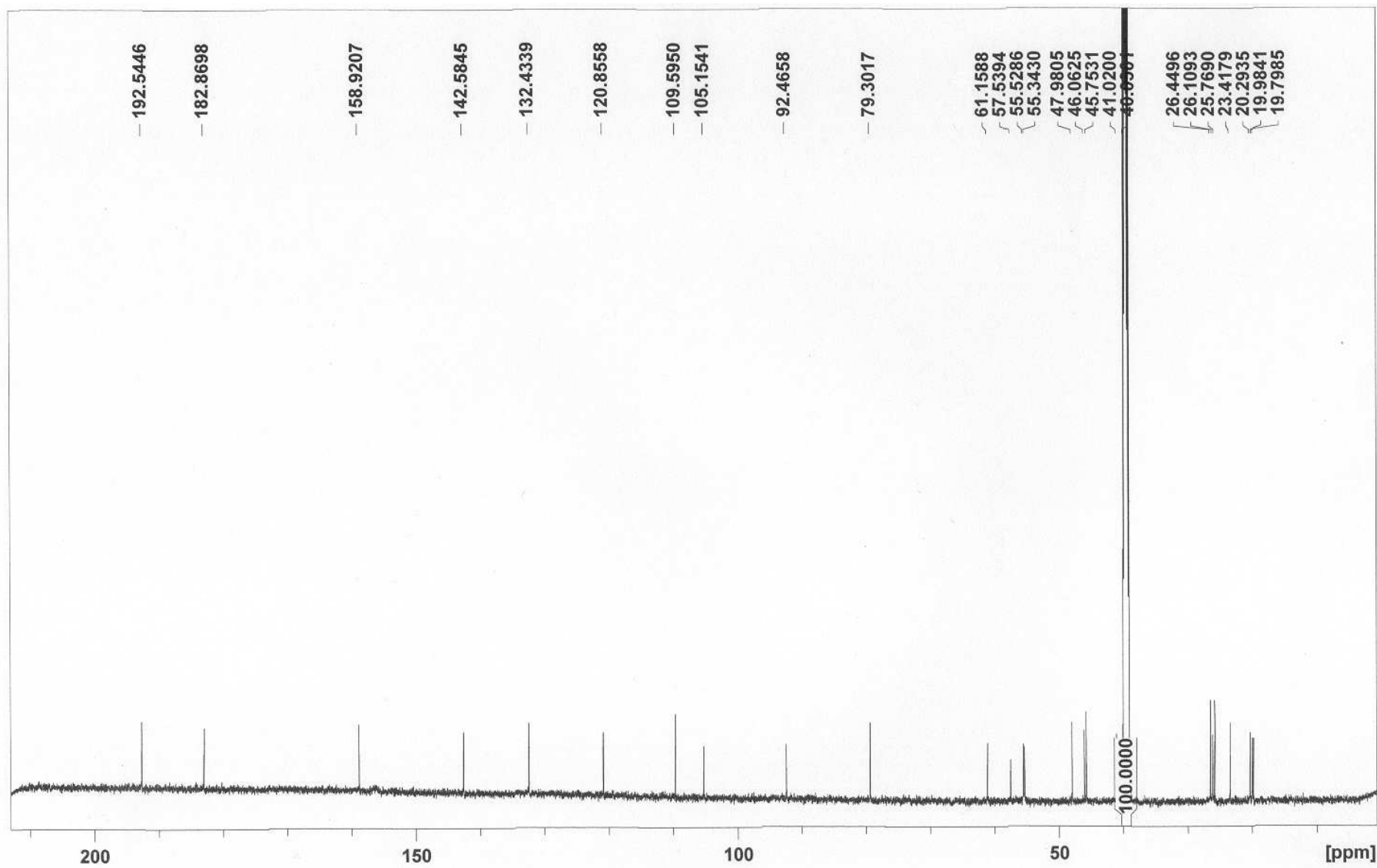


Figura v2 - 24 a – Espectro de RMN- ^{13}C da amostra F53-F4-P7, (citrinalina A 60), isolada da fração 4 da EFS da reunião do PFF de *P. citrinum* (DMSO- d_6 , 150 MHz).

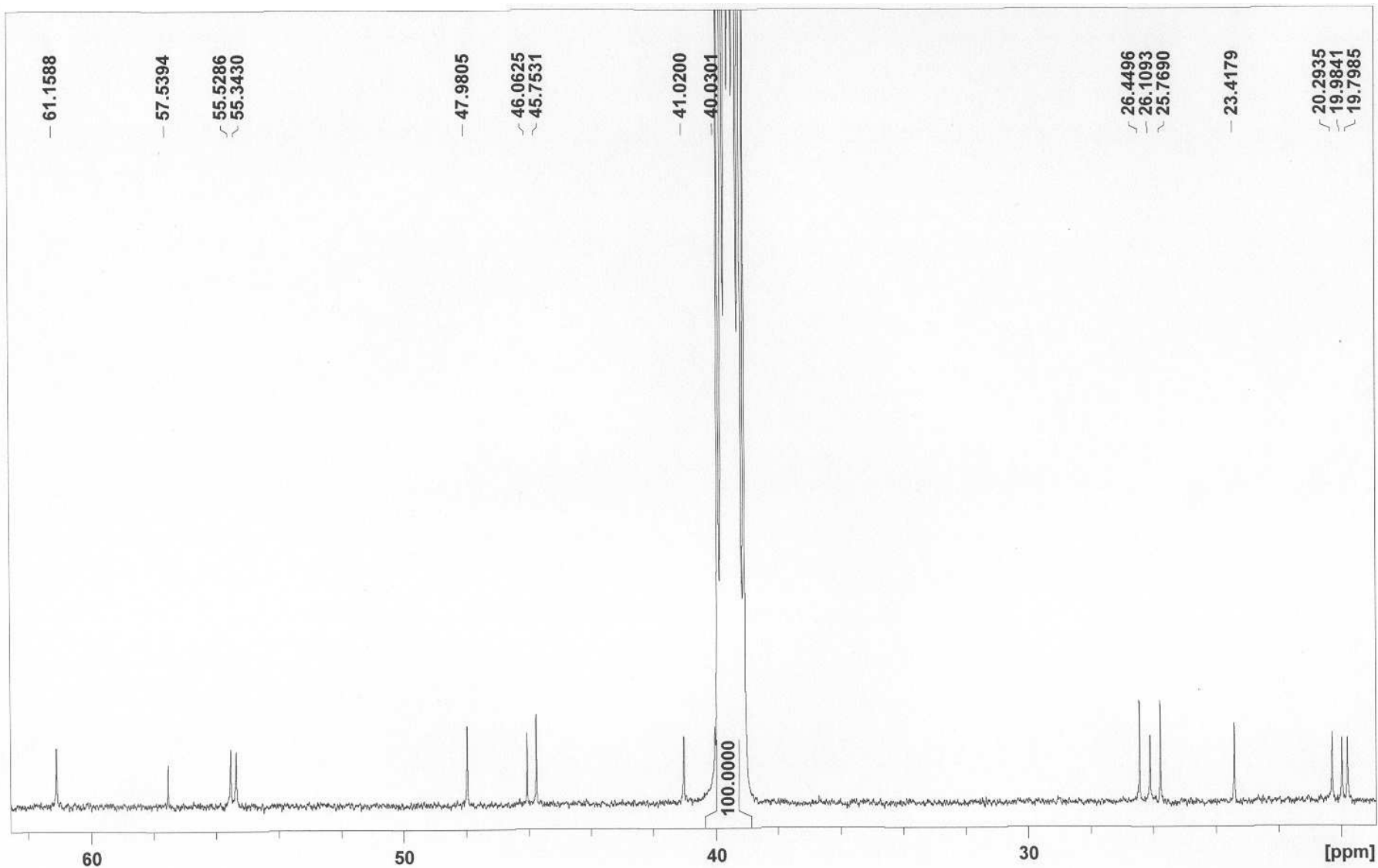


Figura v2 - 24 b – Ampliação do spectro de RMN- ^{13}C da amostra **F53-F4-P7**, (citrinalina A **60**), isolada da fração 4 da EFS da reunião do PFF de *P. citrinum* (DMSO- d_6 , 150 MHz).

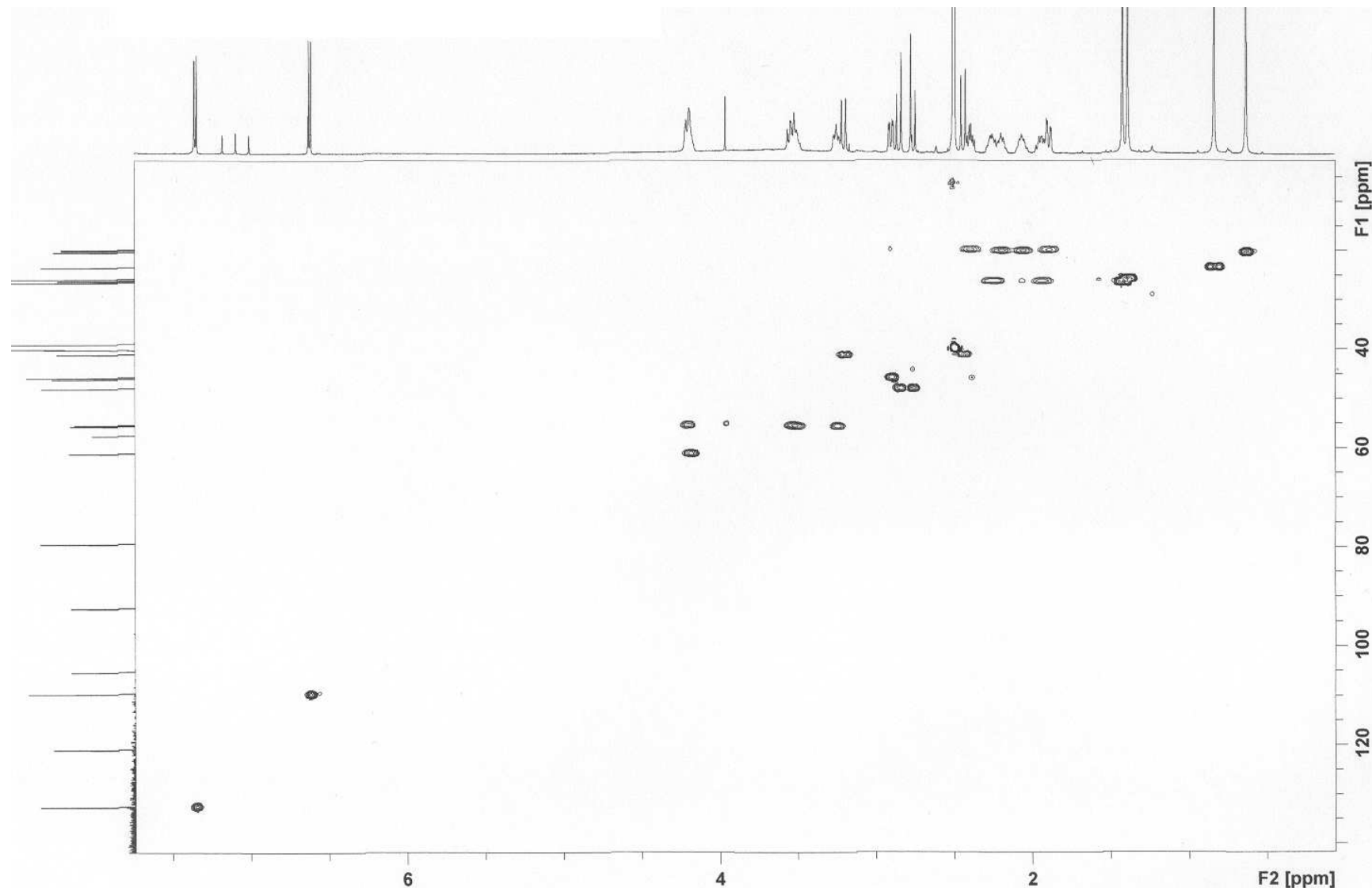


Figura v2 - 25 a – Espectro de RMN HSQC-¹H-¹³C da amostra **F53-F4-P7**, (citrinalina A **60**), isolada da fração 4 da EFS da reunião do PFF de *P. citrinum* (DMSO-*d*₆, ¹H em 600 MHz e ¹³C em 150 MHz).

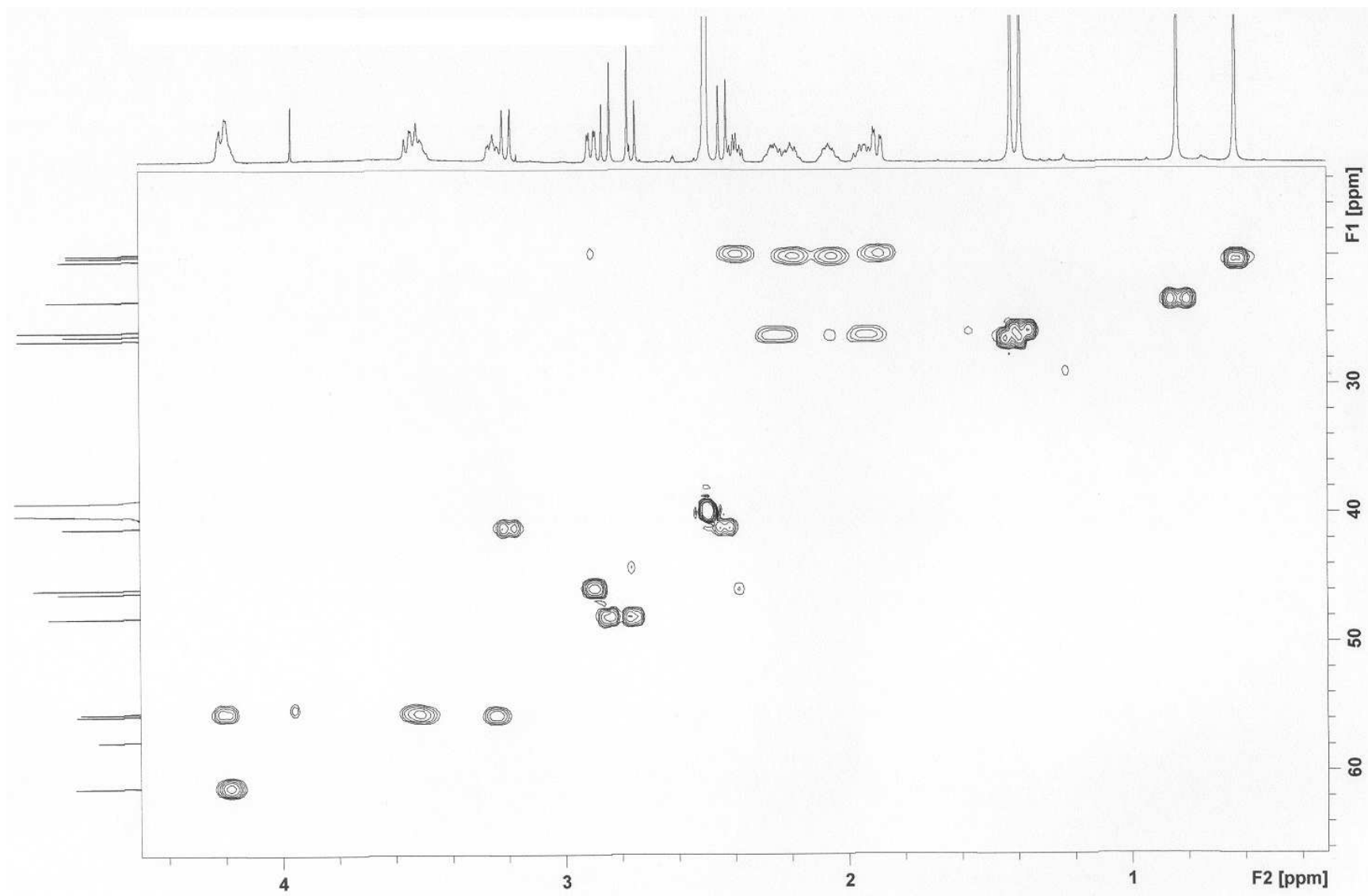


Figura v2 - 25 b – Ampliação do espectro de RMN-¹H-¹³C HSQC da amostra F53-F4-P7, (citrinalina A **60**), isolada da fração 4 da EFS da reunião do PFF de *P. citrinum* (DMSO-*d*₆, ¹H em 600 MHz e ¹³C em 150 MHz).

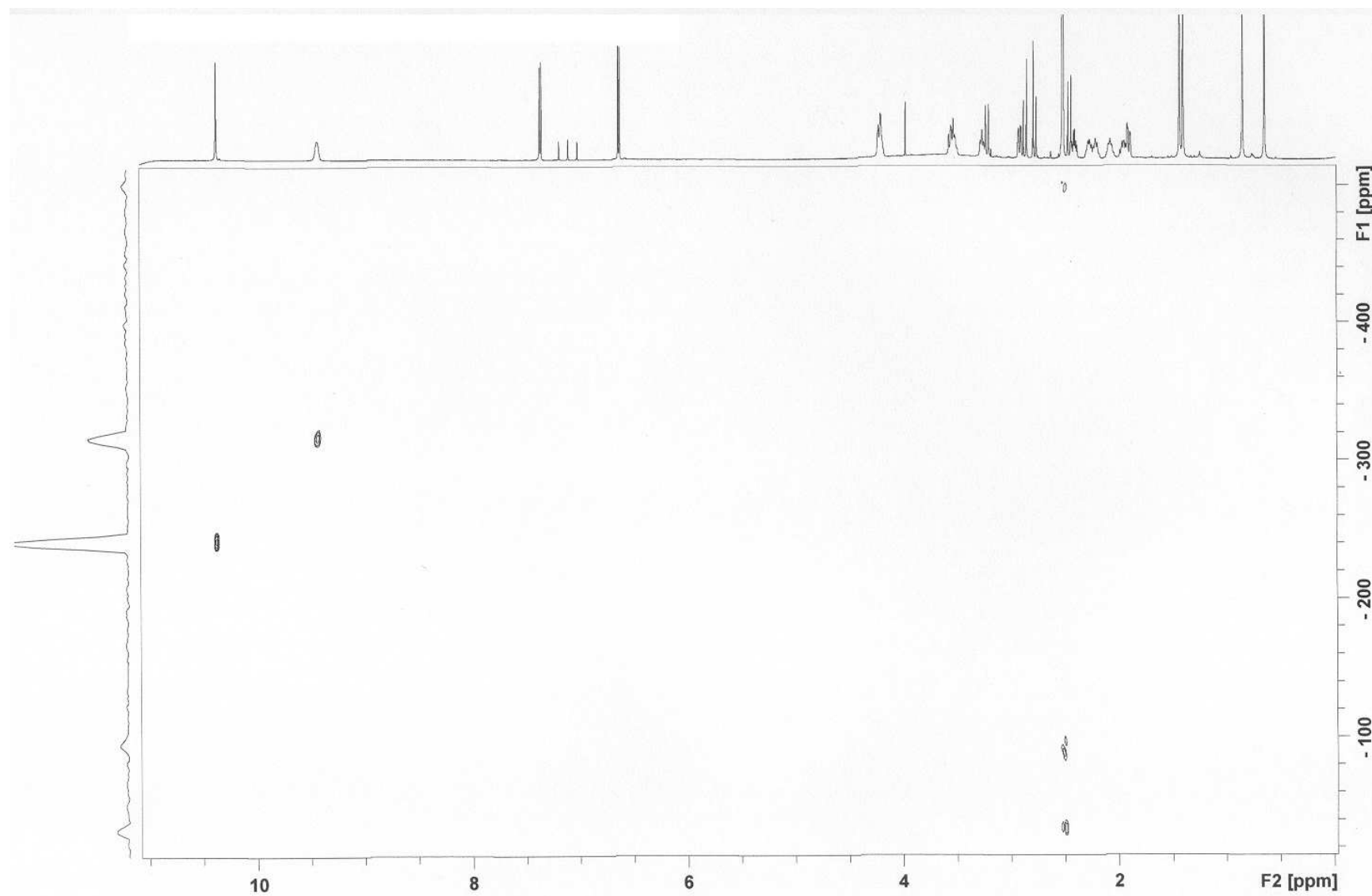


Figura v2 - 25 c – Espectro de RMN- ^1H - ^{15}N NHSQC da amostra **F53-F4-P7**, (citrinalina A **60**), isolada da fração 4 da EFS da reunião do PFF de *P. citrinum* (DMSO- d_6 , ^1H em 600 MHz e ^{15}N em 60 MHz).

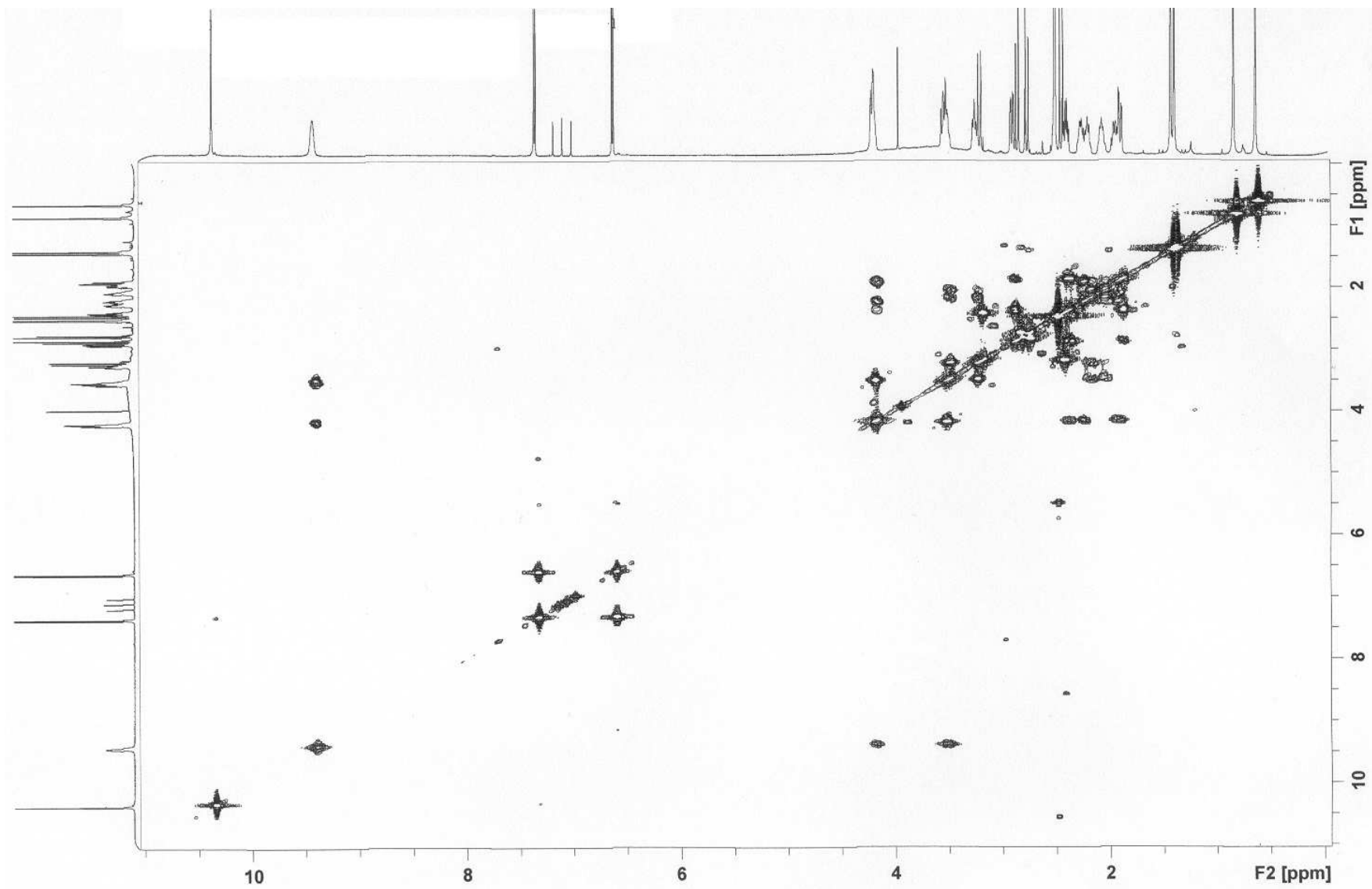


Figura v2 - 26 a – Espectro de RMN- ^1H - ^1H COSY da amostra **F53-F4-P7**, (citrinalina A **60**), isolada da fração 4 da EFS da reunião do PFF de *P. citrinum* (DMSO- d_6 , 600 MHz).

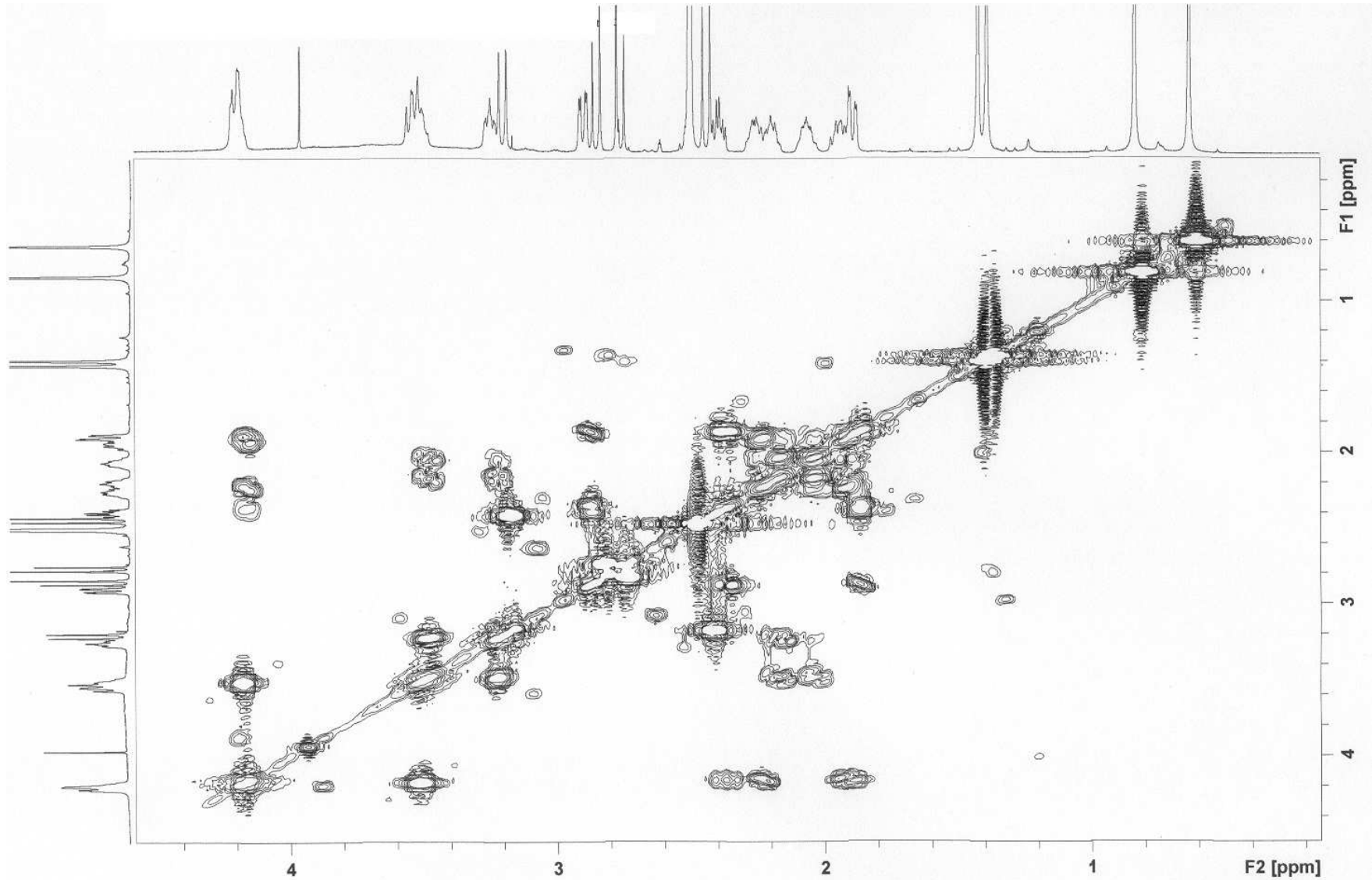


Figura v2 - 26 b – Ampliação do espectro de RMN- ^1H - ^1H COSY da amostra F53-F4-P7, (citrinalina A 60), isolada da fração 4 da EFS da reunião do PFF de *P. citrinum* (DMSO- d_6 , 600 MHz).

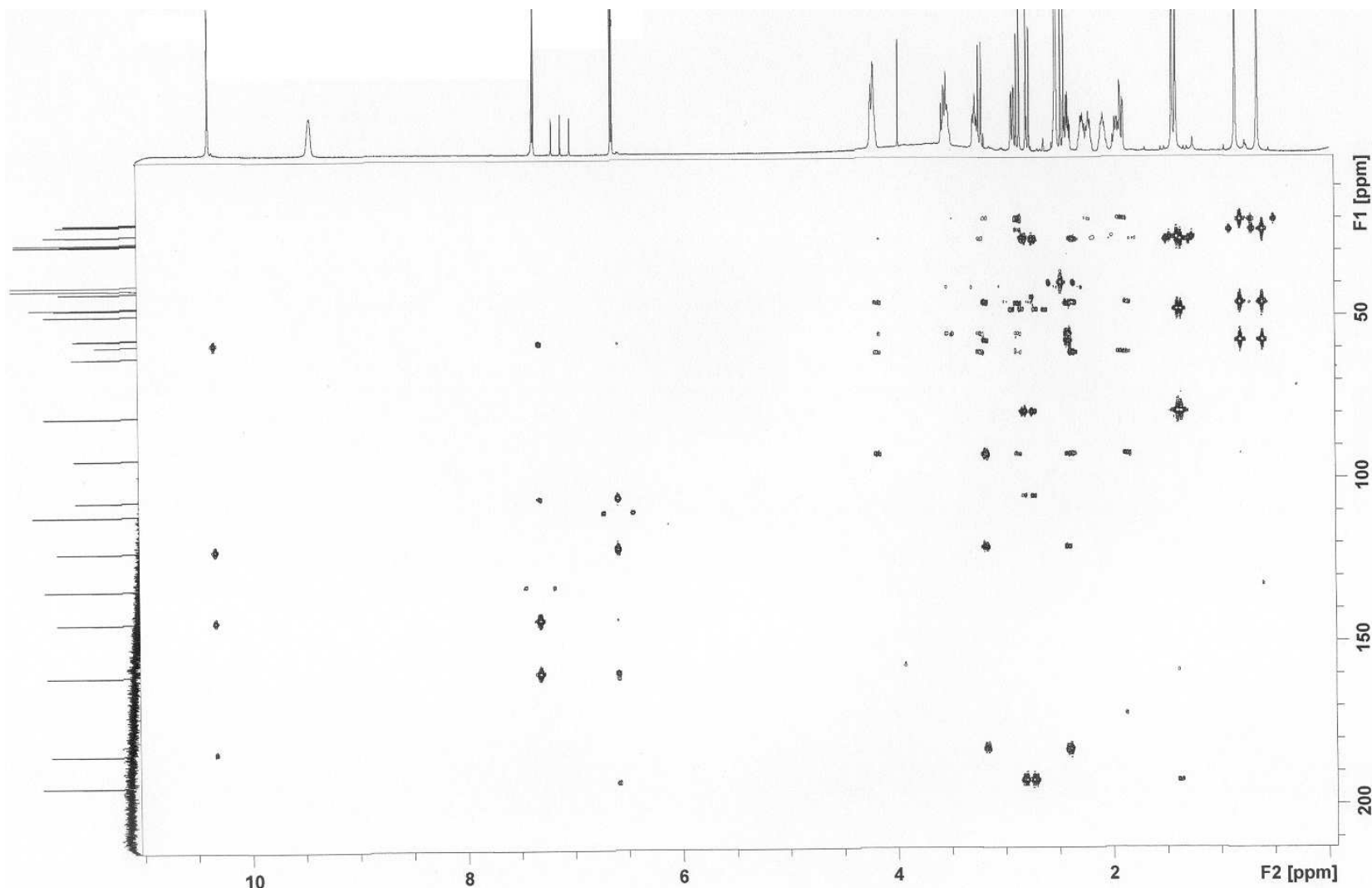


Figura v2 - 27 a – Espectro de RMN HMBC-¹H-¹³C da amostra F53-F4-P7, (citrinalina A **60), isolada da fração 4 da EFS da reunião do PFF de *P. citrinum* (DMSO-*d*₆, ¹H em 600 MHz e ¹³C em 150 MHz).**

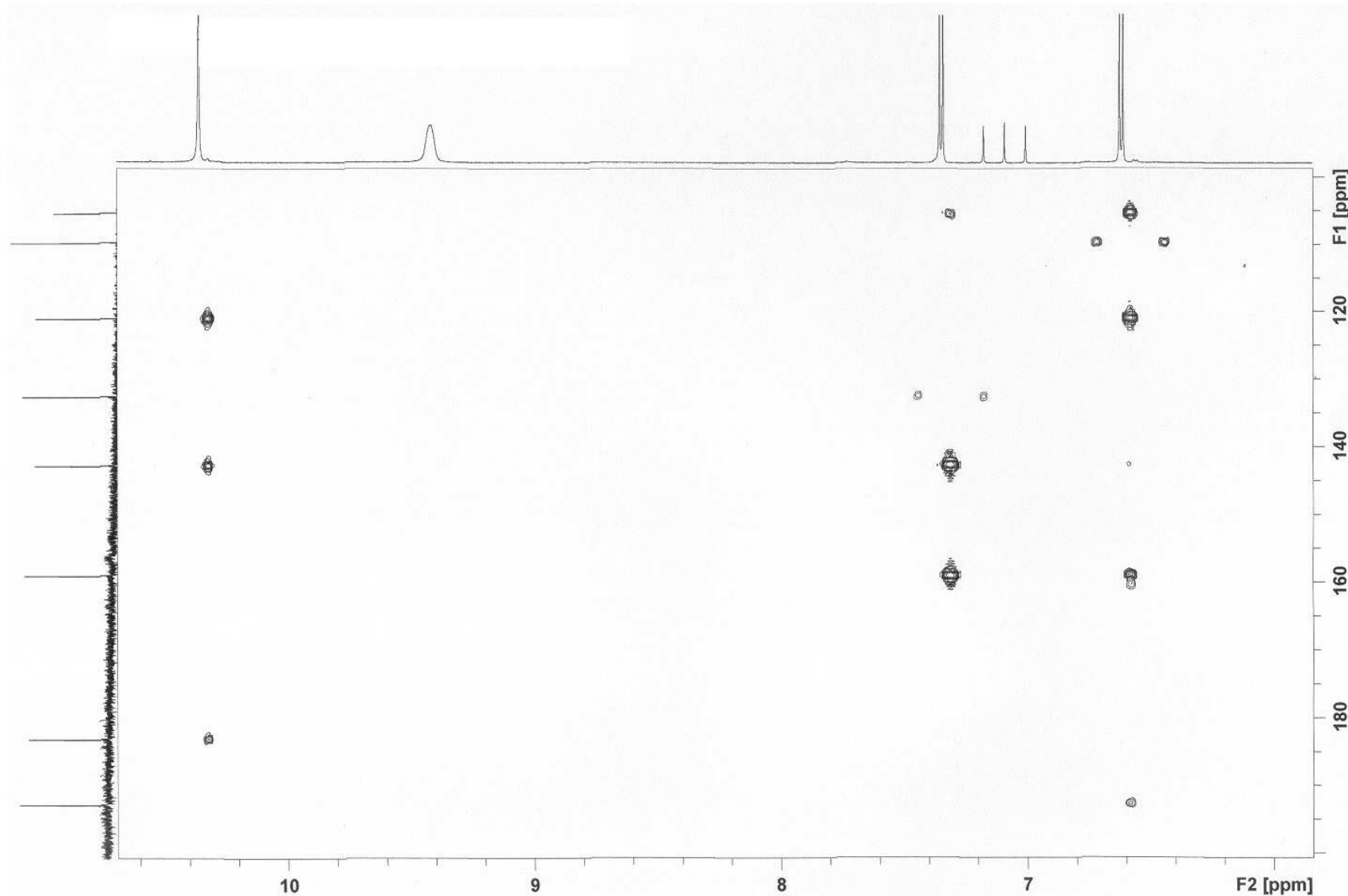


Figura v2 - 27 b – Ampliação do espectro de RMN- ^1H - ^{13}C HMBC da amostra F53-F4-P7, (citrinalina A **60**), isolada da fração 4 da EFS da reunião do PFF de *P. citrinum* ($\text{DMSO}-d_6$, ^1H em 600 MHz e ^{13}C em 150 MHz).

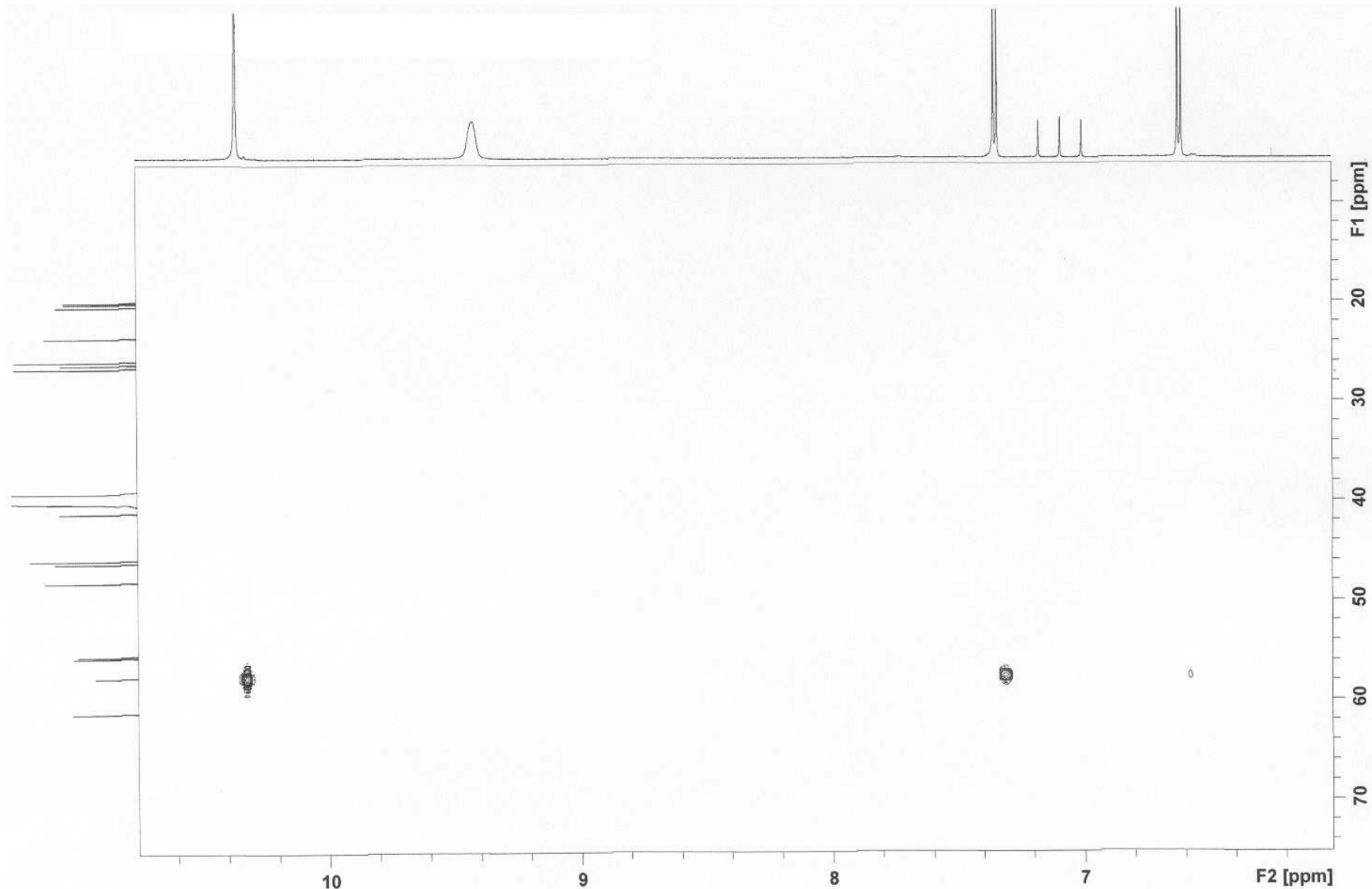


Figura v2 - 27 c – Ampliação do espectro de RMN- ^1H - ^{13}C HMBC da amostra **F53-F4-P7**, (citrinalina A **60**), isolada da fração 4 da EFS da reunião do PFF de *P. citrinum* ($\text{DMSO}-d_6$, ^1H em 600 MHz e ^{13}C em 150 MHz).

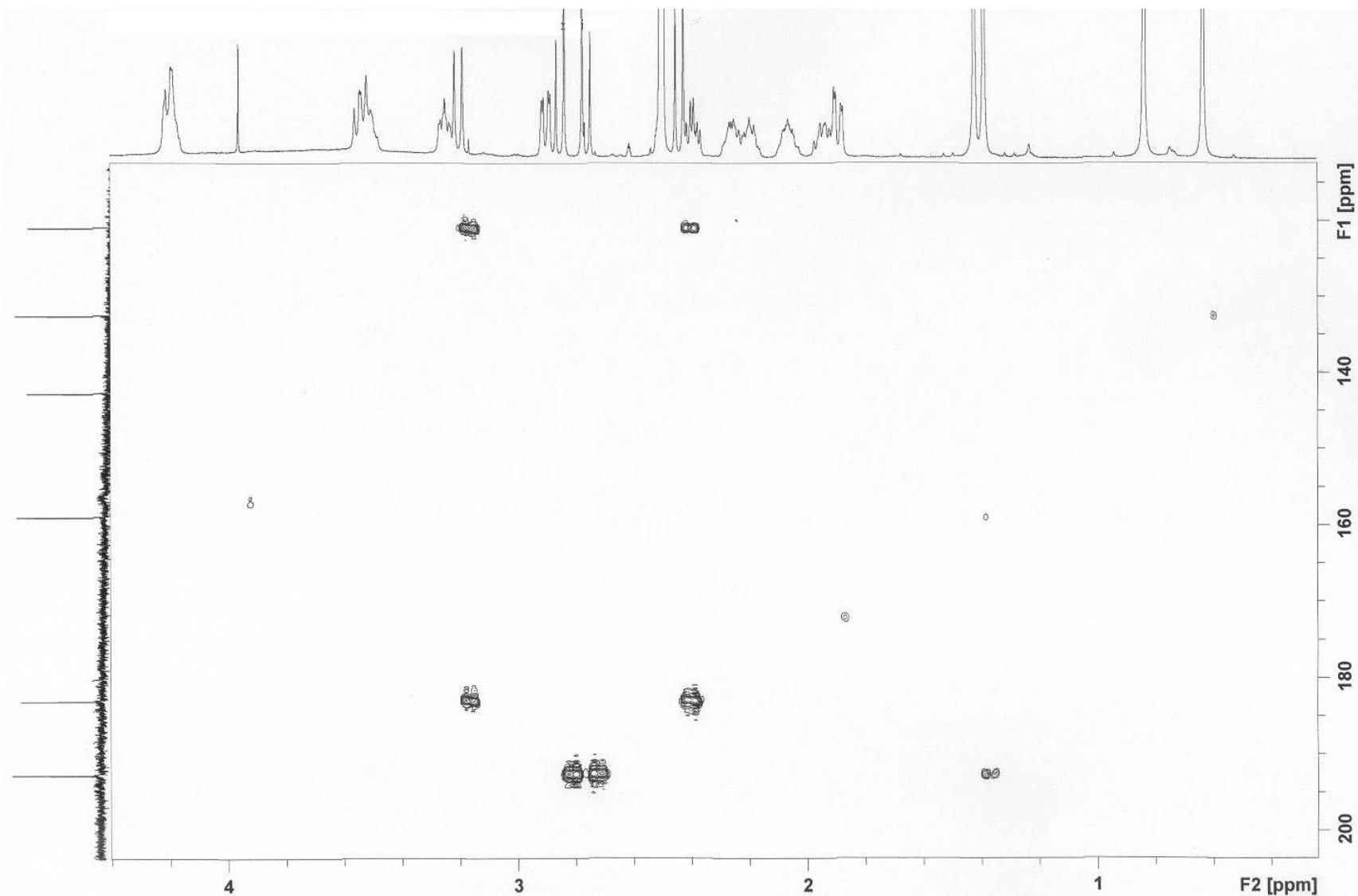


Figura v2 - 27 d – Ampliação do espectro de RMN-¹H-¹³C HMBC da amostra **F53-F4-P7**, (citrinalina A **60**), isolada da fração 4 da EFS da reunião do PFF de *P. citrinum* (DMSO-*d*₆, ¹H em 600 MHz e ¹³C em 150 MHz).

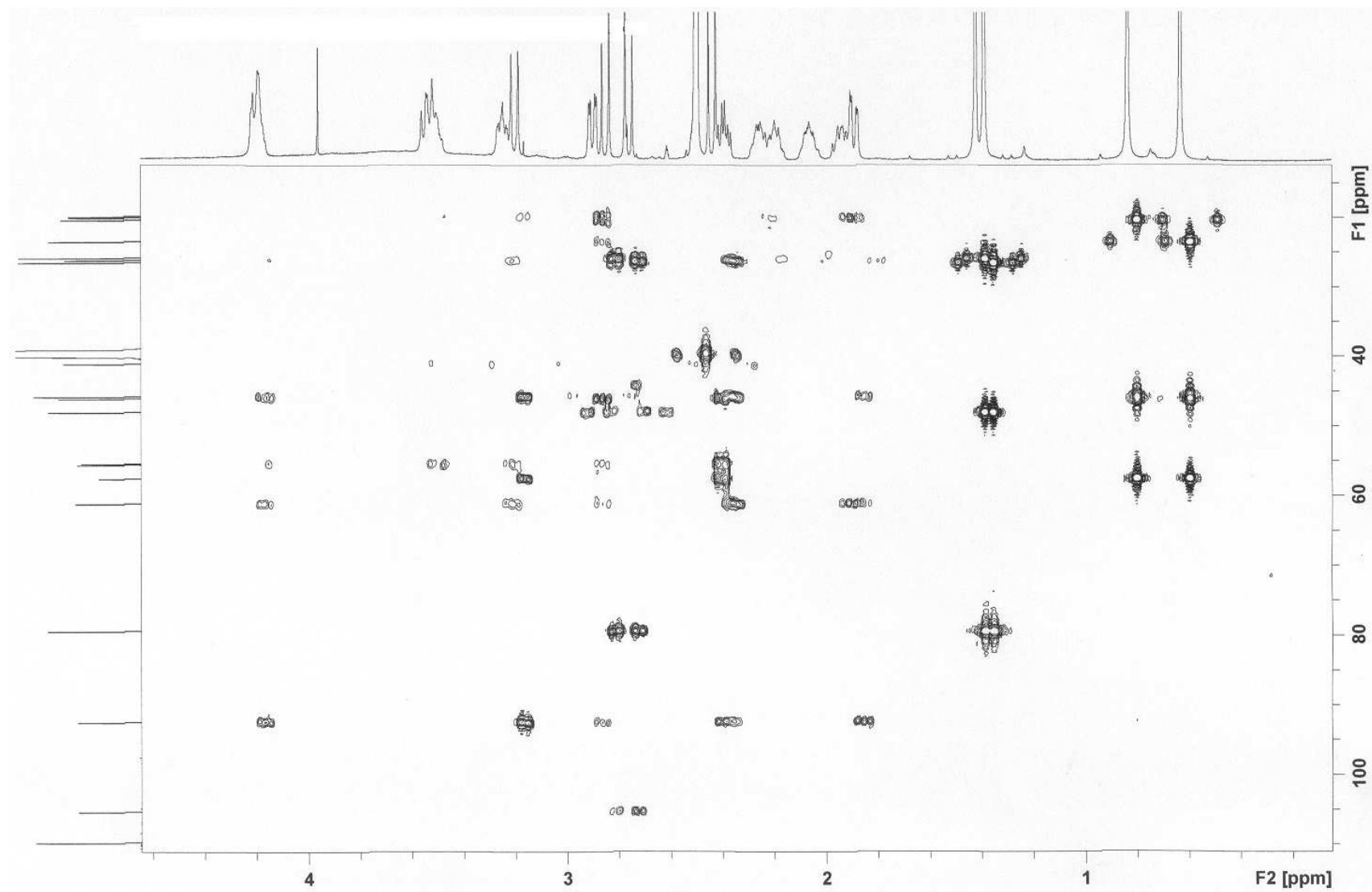


Figura v2 - 27 e – Ampliação do espectro de RMN-¹H-¹³C HMBC da amostra F53-F4-P7, (citrinalina A **60), isolada da fração 4 da EFS da reunião do PFF de *P. citrinum* (DMSO-*d*₆, ¹H em 600 MHz e ¹³C em 150 MHz).**

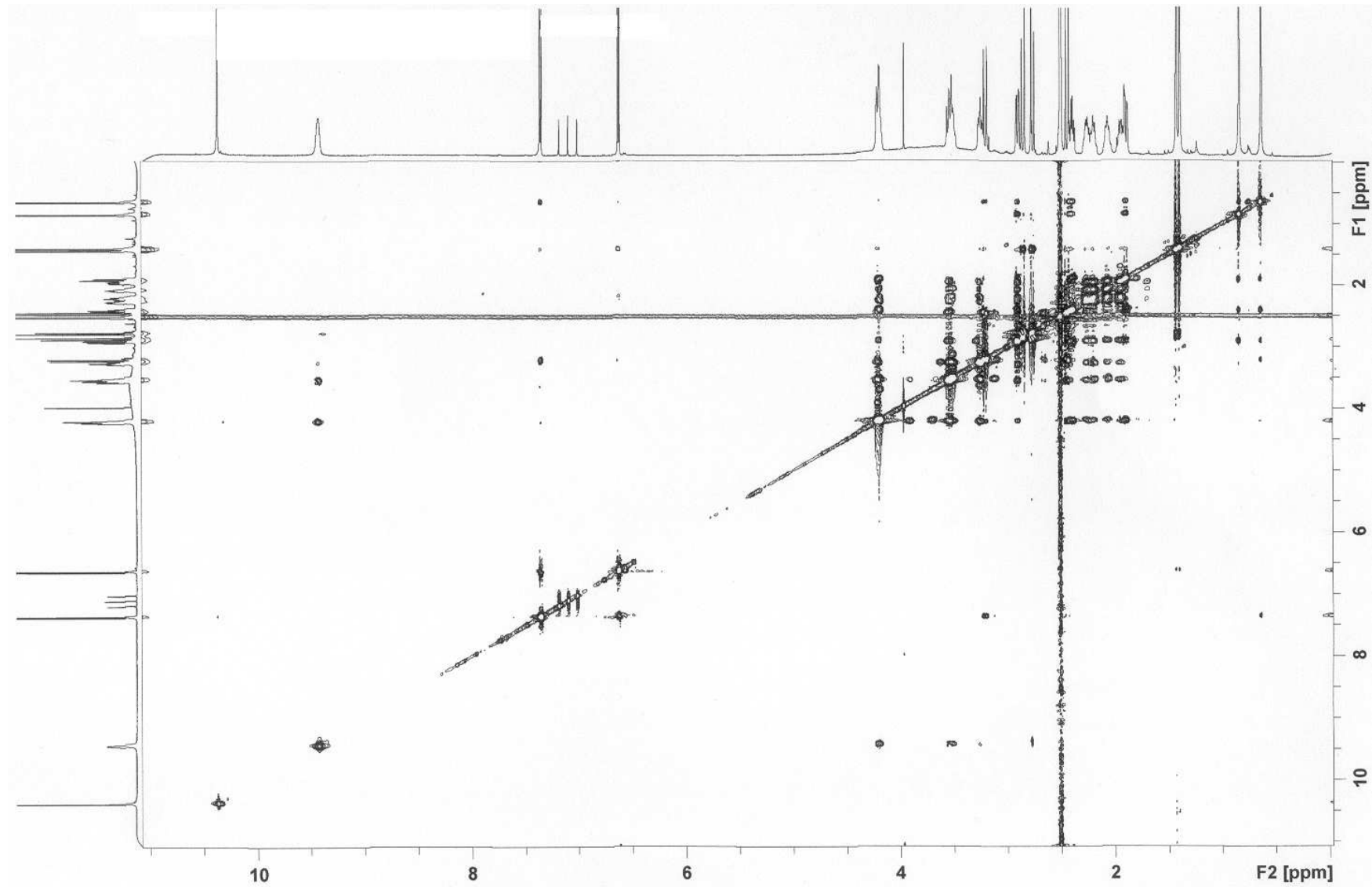


Figura v2 - 28 a – Espectro de RMN- ^1H - ^1H tROESY da amostra **F53-F4-P7**, (citrinalina A **60**), isolada da fração 4 da EFS da reunião do PFF de *P. citrinum* (DMSO- d_6 , 600 MHz).

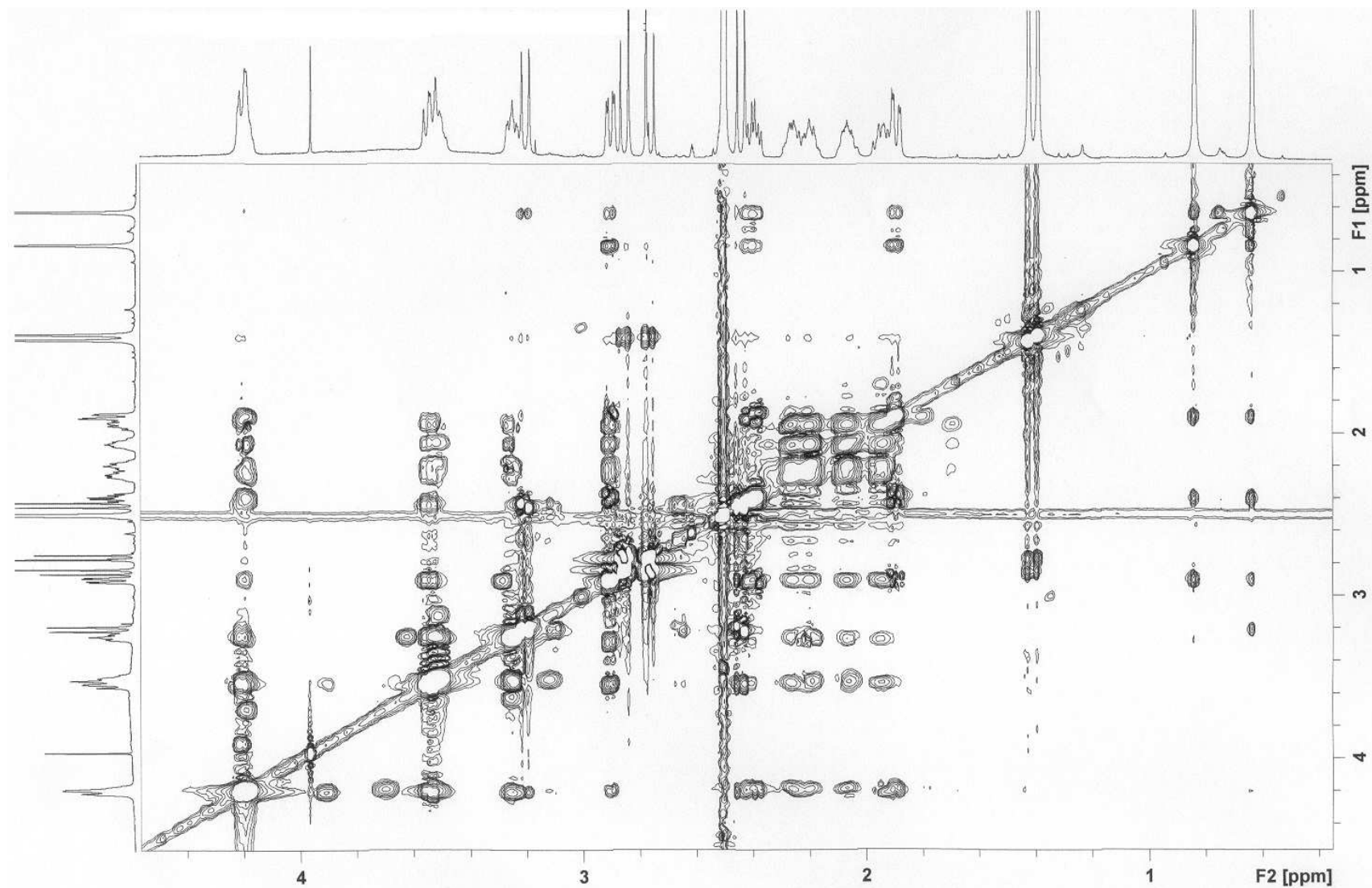


Figura v2 - 28 b – Ampliação do espectro de RMN- ^1H - ^1H tROESY da amostra **F53-F4-P7**, (citrinalina A **60**), isolada da fração 4 da EFS da reunião do PFF de *P. citrinum* ($\text{DMSO}-d_6$, 600 MHz).

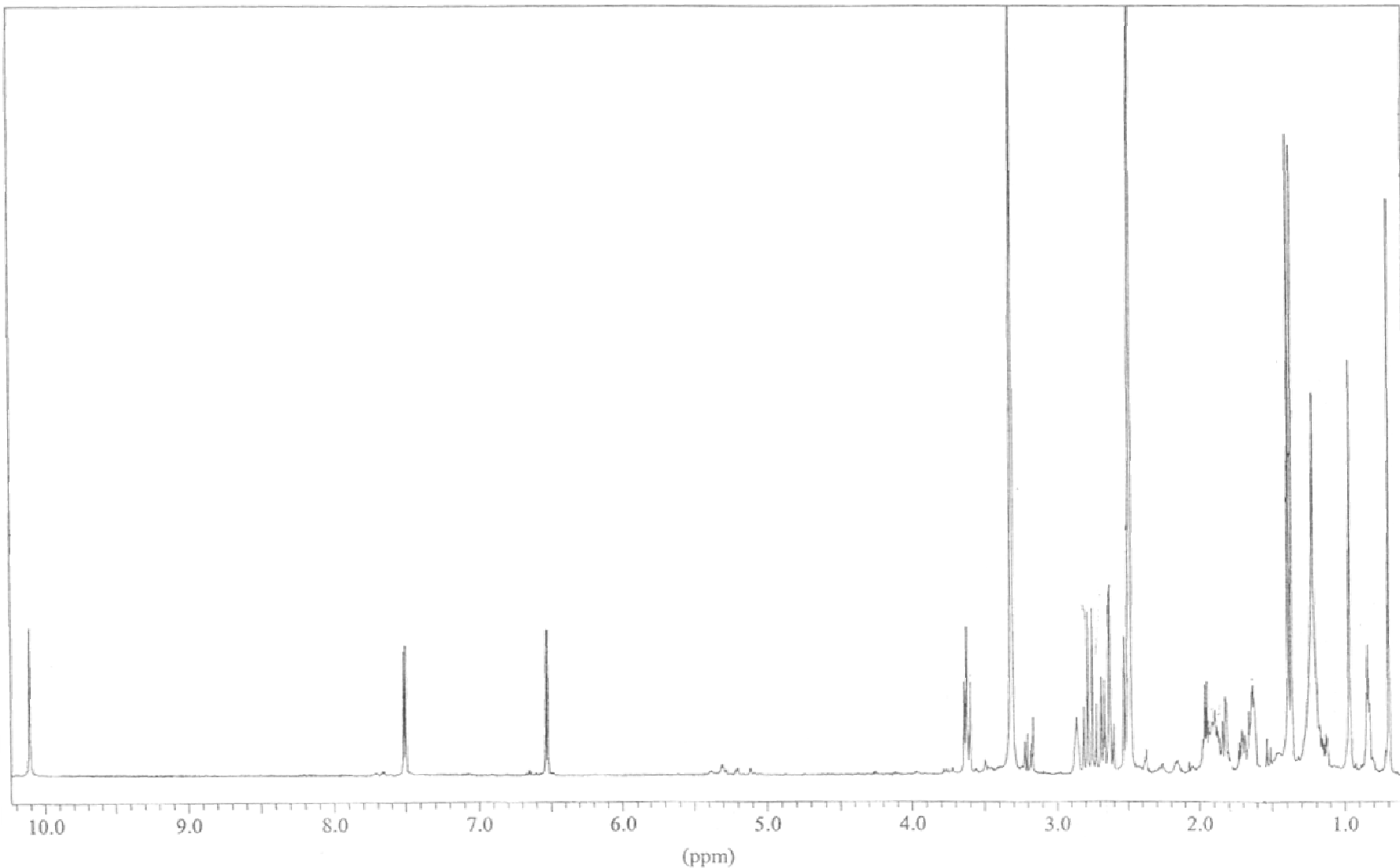


Figura v2 – 29 a – Espectro de RMN-¹H da citrinalina B, (62), isolada de *P. citrinum* (DMSO-*d*₆, 600 MHz).

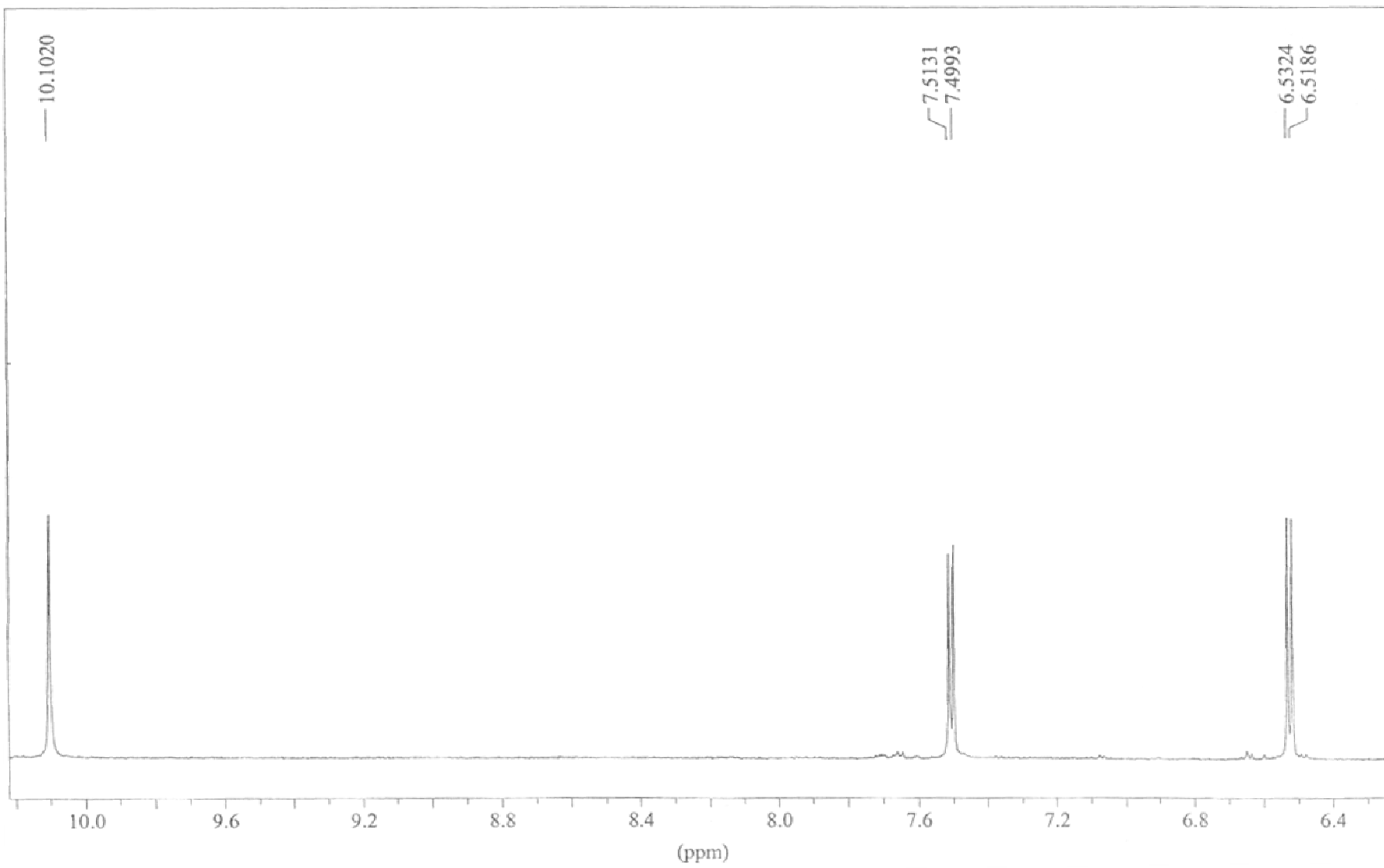


Figura v2 - 29 b – Ampliação do espectro de RMN- ^1H da **citrinalina B, (62)**, isolada de *P. citrinum* (DMSO- d_6 , 600 MHz).

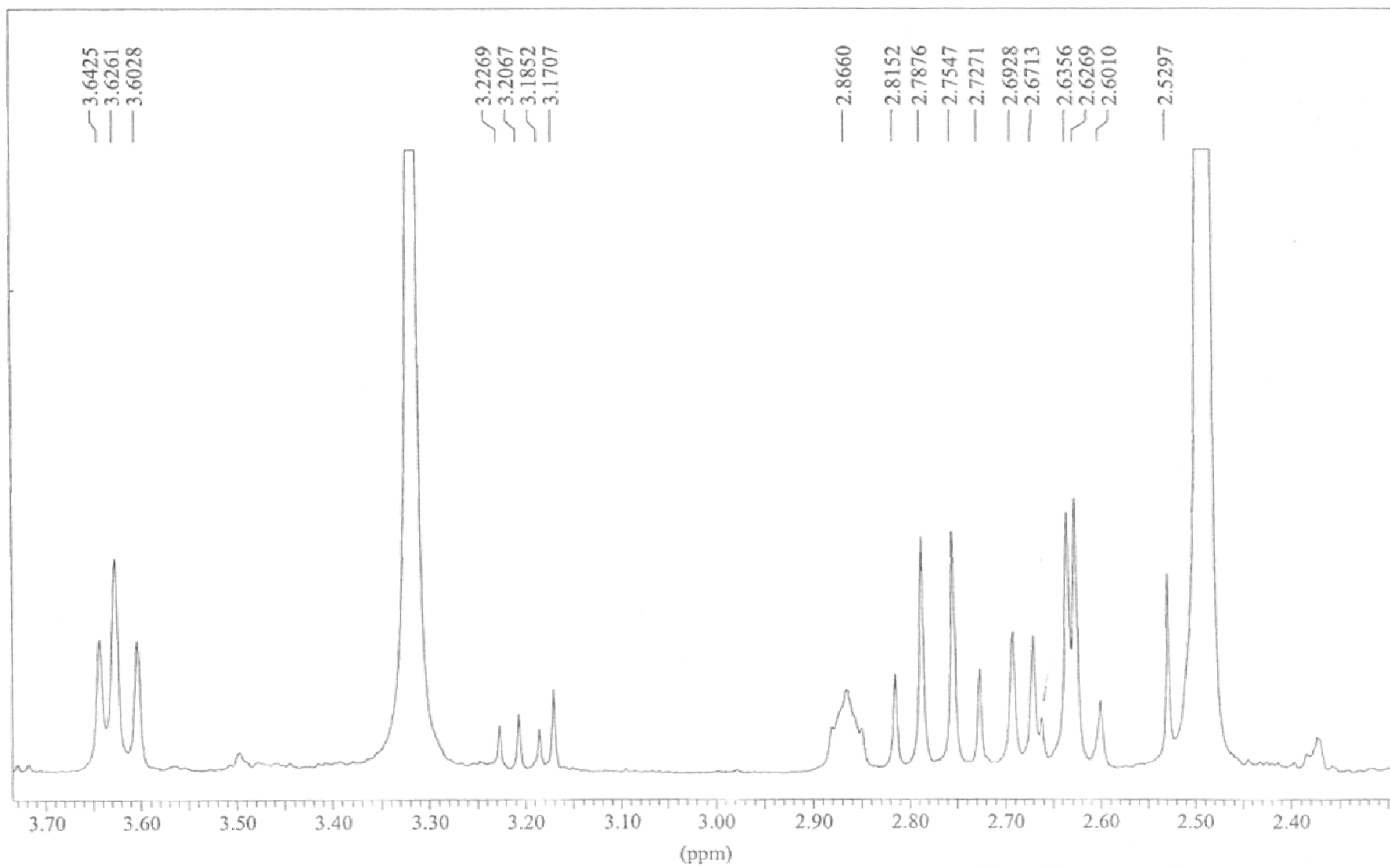


Figura v2 – 29 c – Ampliação do espectro de RMN- ^1H da **citrinalina B**, (62), isolada de *P. citrinum* (DMSO- d_6 , 600 MHz).

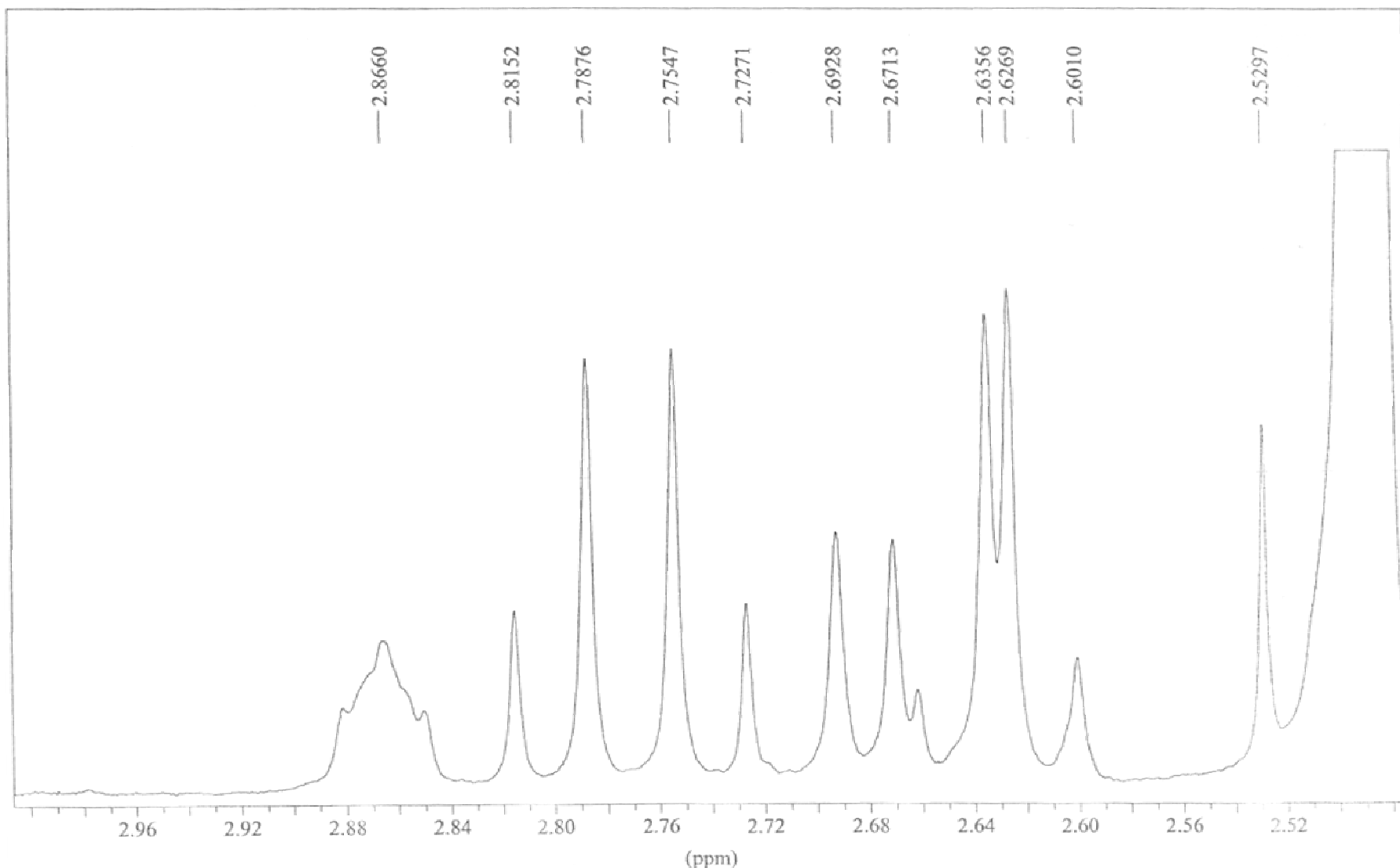


Figura v2 – 29 d – Ampliação do espectro de RMN- ^1H da **citrinalina B**, (62), isolada de *P. citrinum* (DMSO- d_6 , 600 MHz).

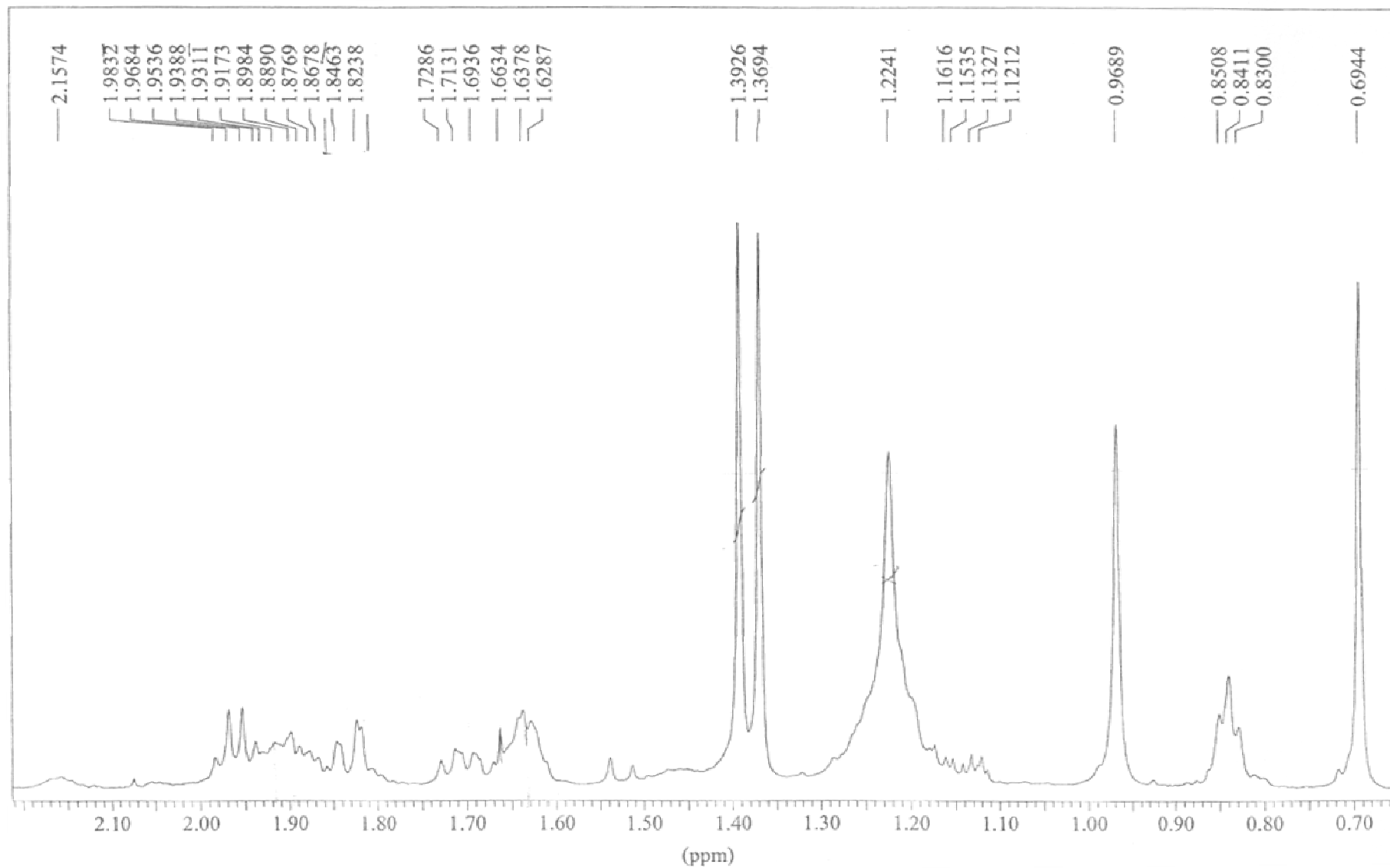


Figura v2 – 29 e – Ampliação do espectro de RMN- ^1H da **citrinalina B, (62)**, isolada de *P. citrinum* (DMSO- d_6 , 600 MHz).

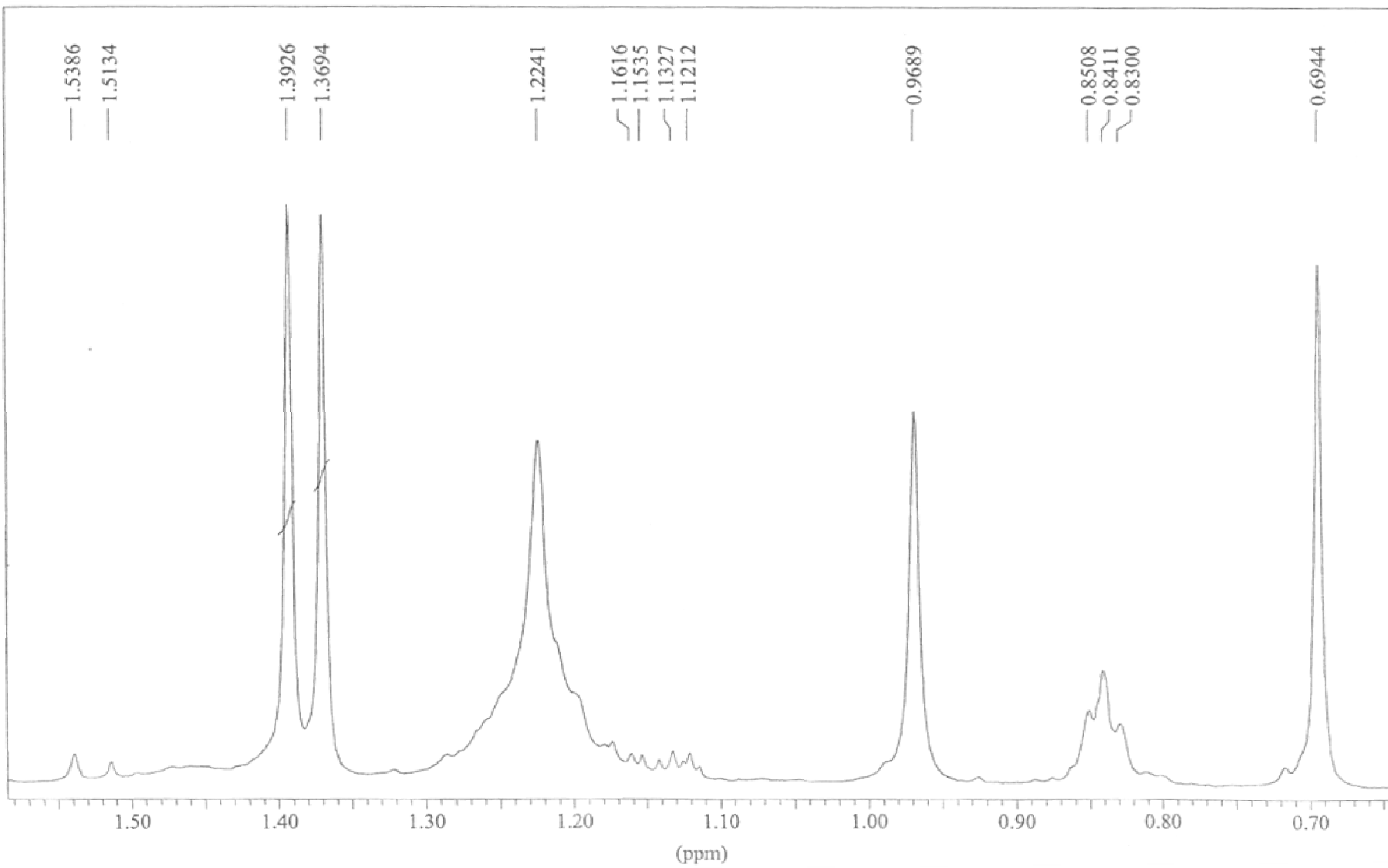


Figura v2 – 29 f – Ampliação do espectro de RMN- ^1H da **citrinalina B, (62)**, isolada de *P. citrinum* (DMSO- d_6 , 600 MHz).

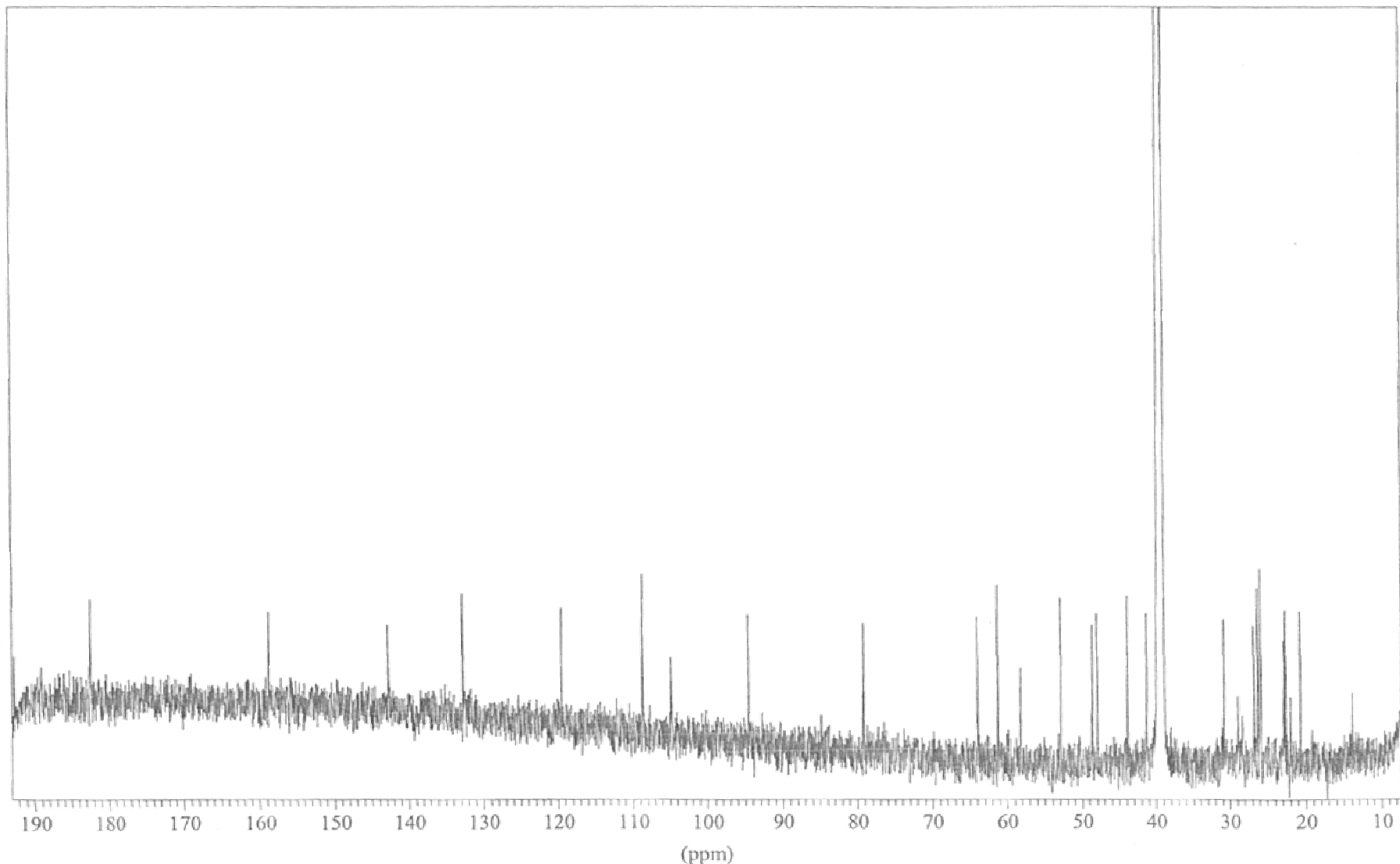


Figura v2 – 30 a – Espectro de RMN- ^{13}C da **citrinalina B, (62), isolada de *P. citrinum* (DMSO- d_6 , 150 MHz).**

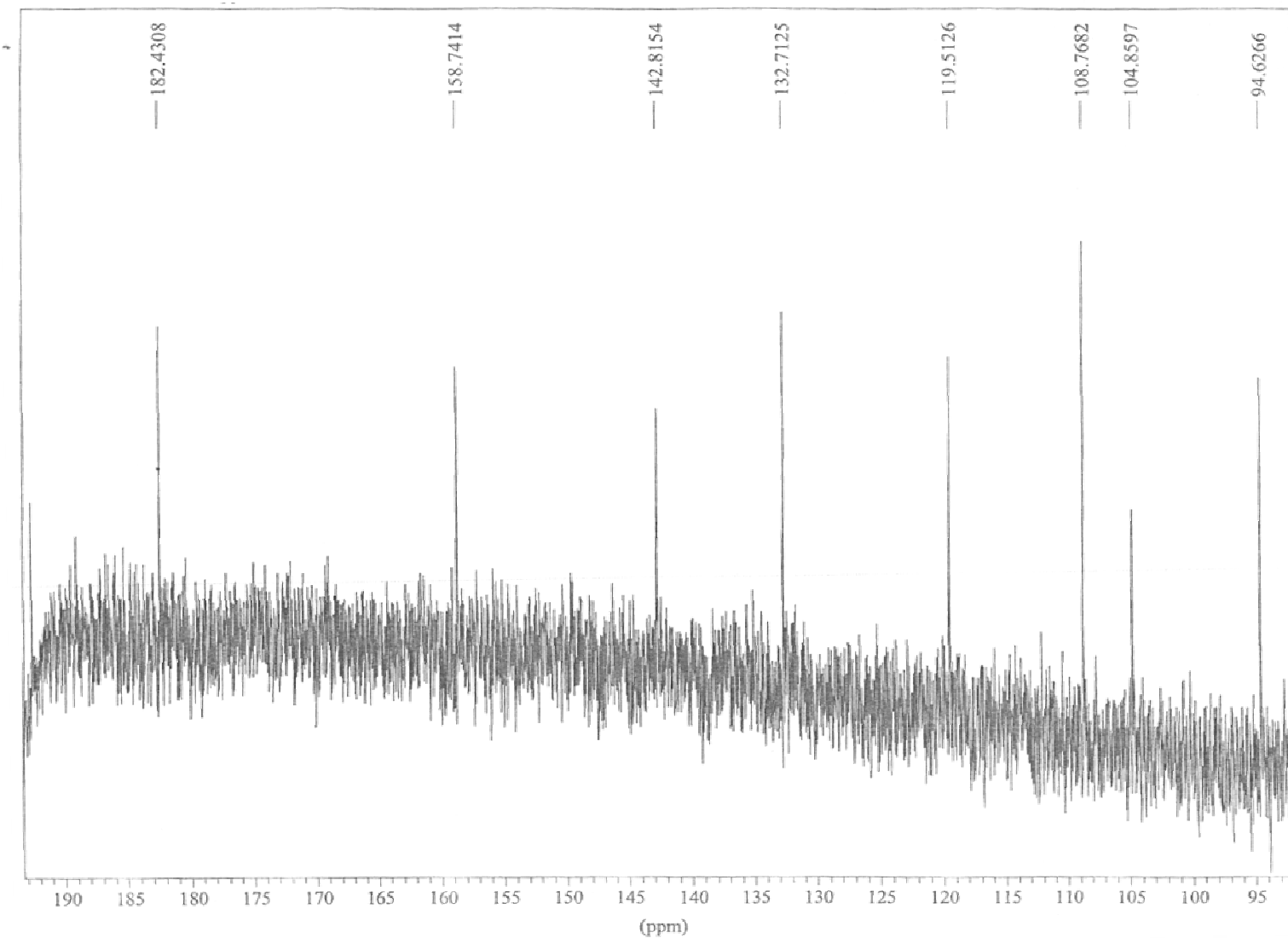


Figura v2 – 30 b – Ampliação do espectro de RMN- ^{13}C da **citrinalina B**, (62), isolada de *P. citrinum* (DMSO- d_6 , 150 MHz).

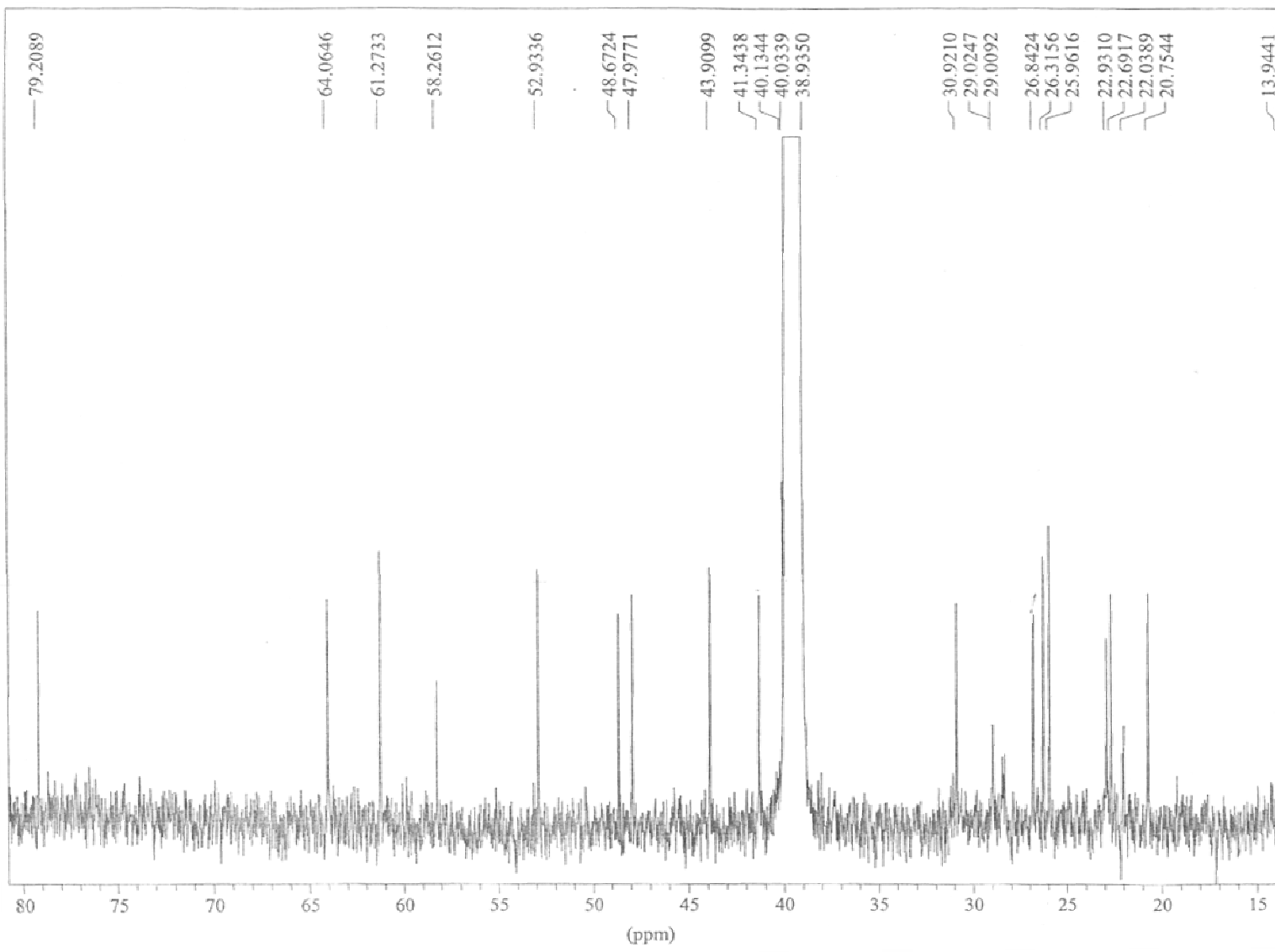


Figura v2 – 30 c – Ampliação do espectro de RMN- ^{13}C da **citrinalina B**, (62), isolada de *P. citrinum* (DMSO- d_6 , 150 MHz).

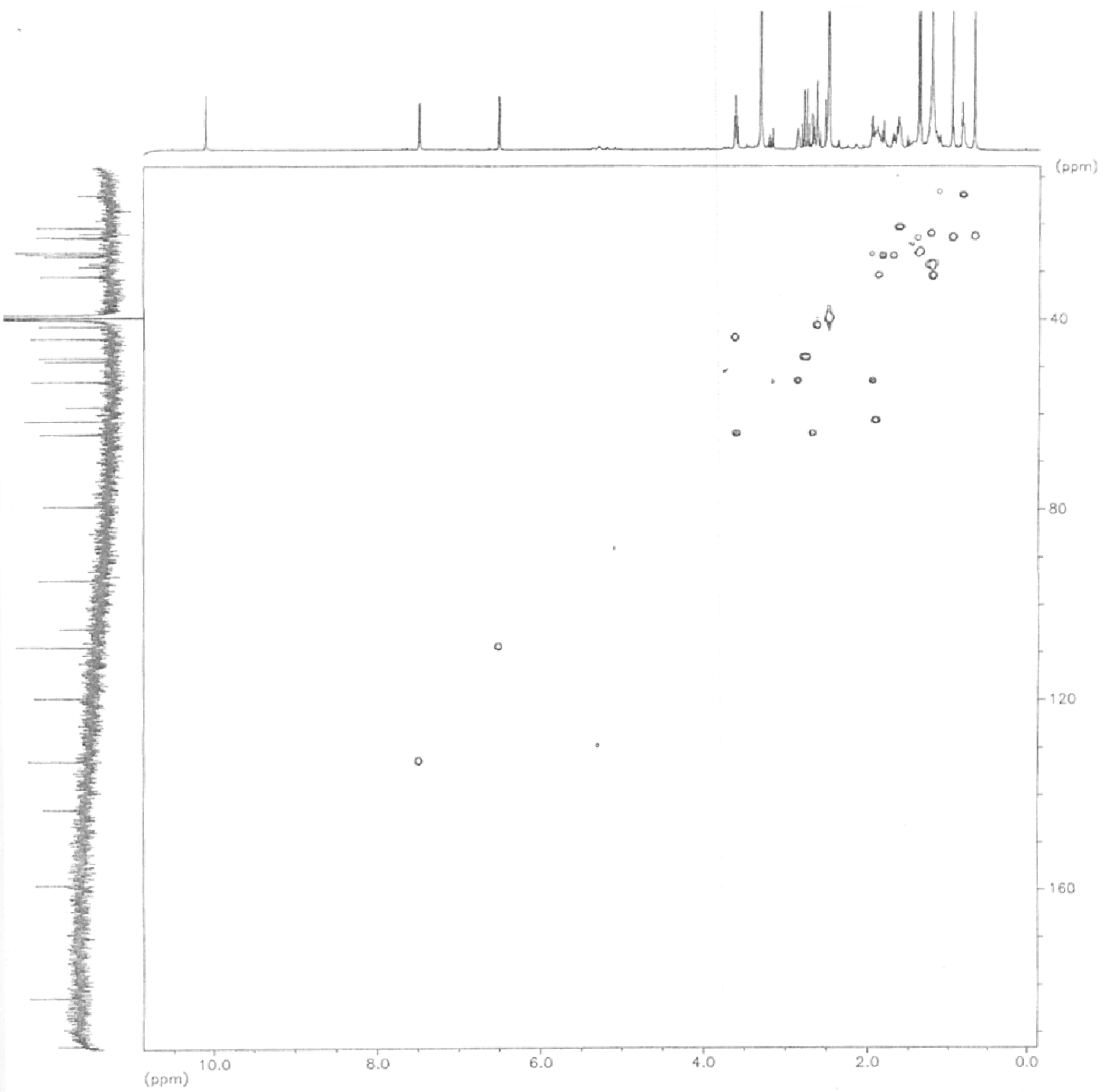


Figura v2 – 31 a – Espectro de RMN HSQC-¹H-¹³C da **citrinalina B**, (62), isolada de *P. citrinum* (DMSO-*d*₆, ¹H 600 MHz e ¹³C 150 MHz).

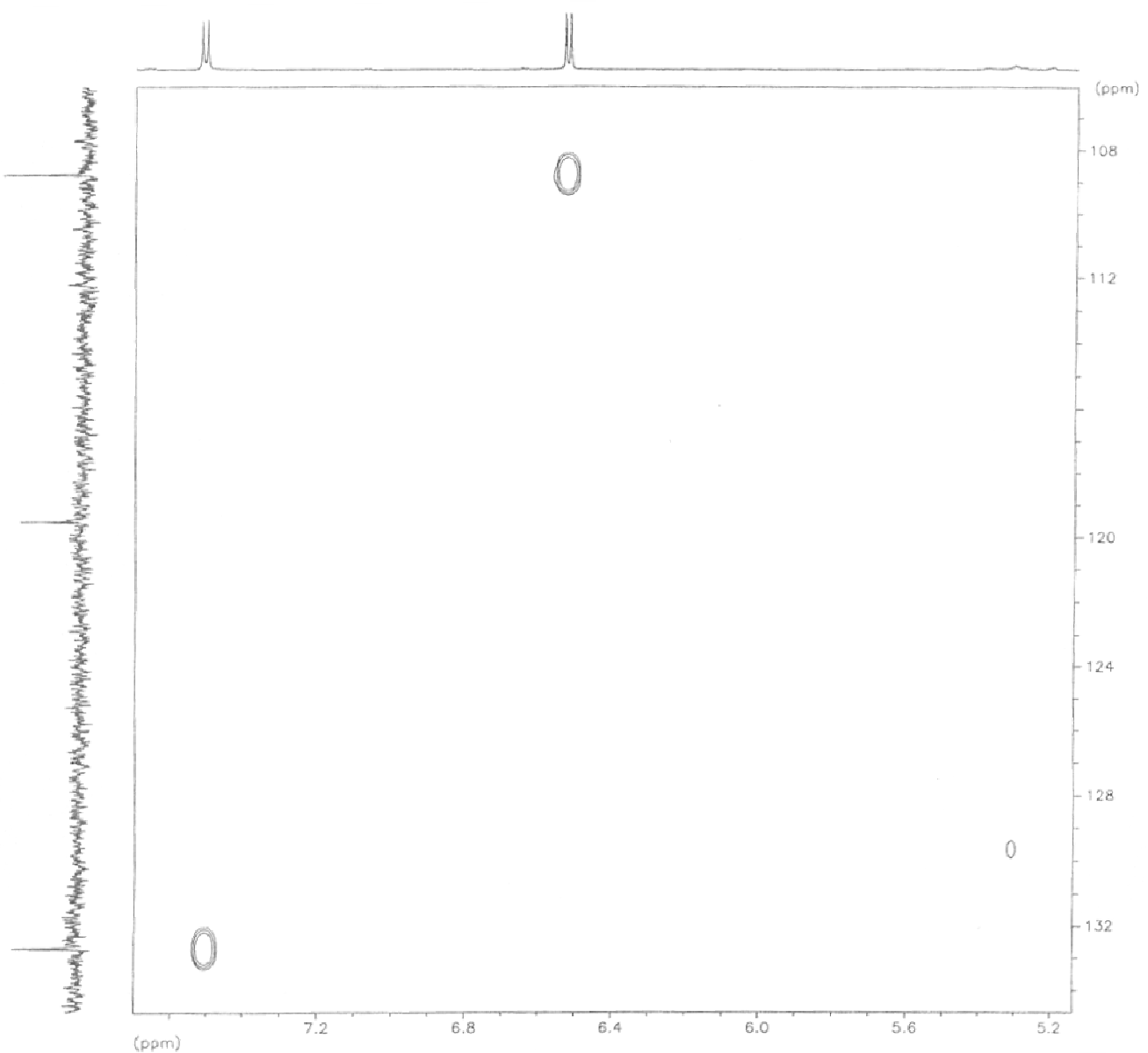


Figura v2 – 31 b – Ampliação do espectro de RMN- ^1H - ^{13}C HSQC da **citrinalina B, (62)**, isolada de *P. citrinum* (DMSO- d_6 , ^1H 600 MHz e ^{13}C 150 MHz).

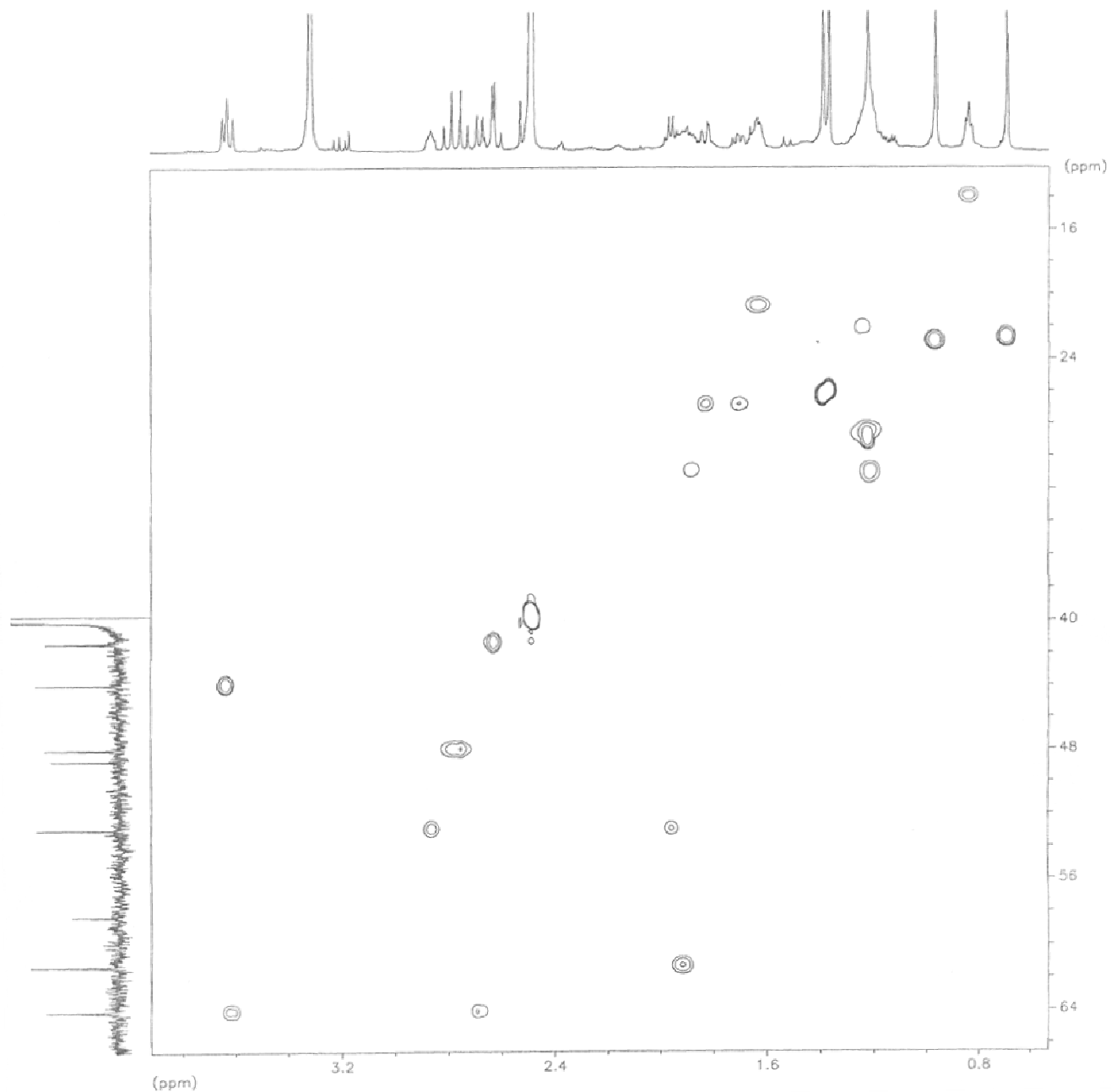


Figura v2 – 31 c – Ampliação do espectro de RMN-¹H-¹³C HSQC da citrinalina B, (62), isolada de *P. citrinum* (DMSO-*d*₆, ¹H 600 MHz e ¹³C 150 MHz).

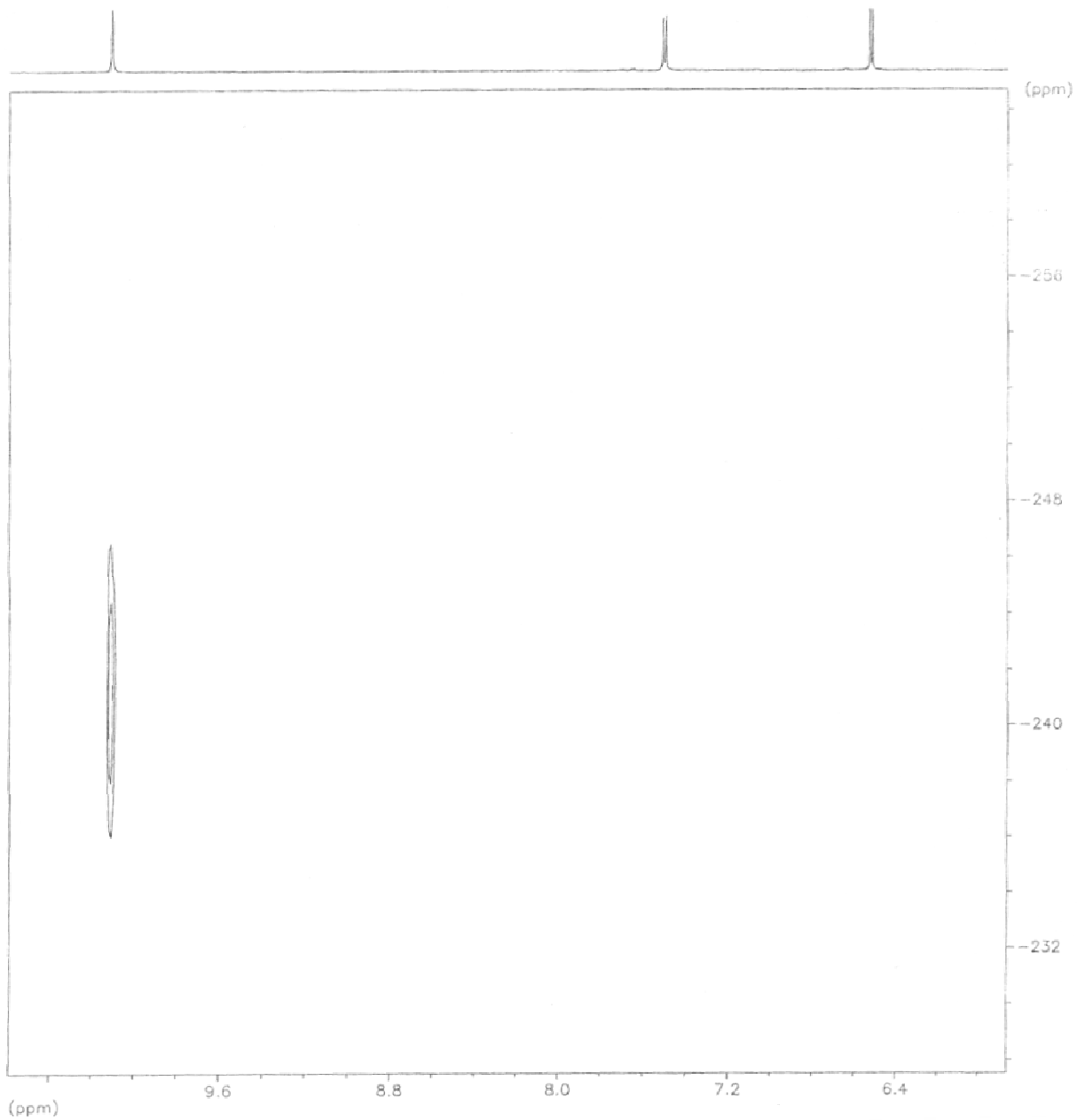
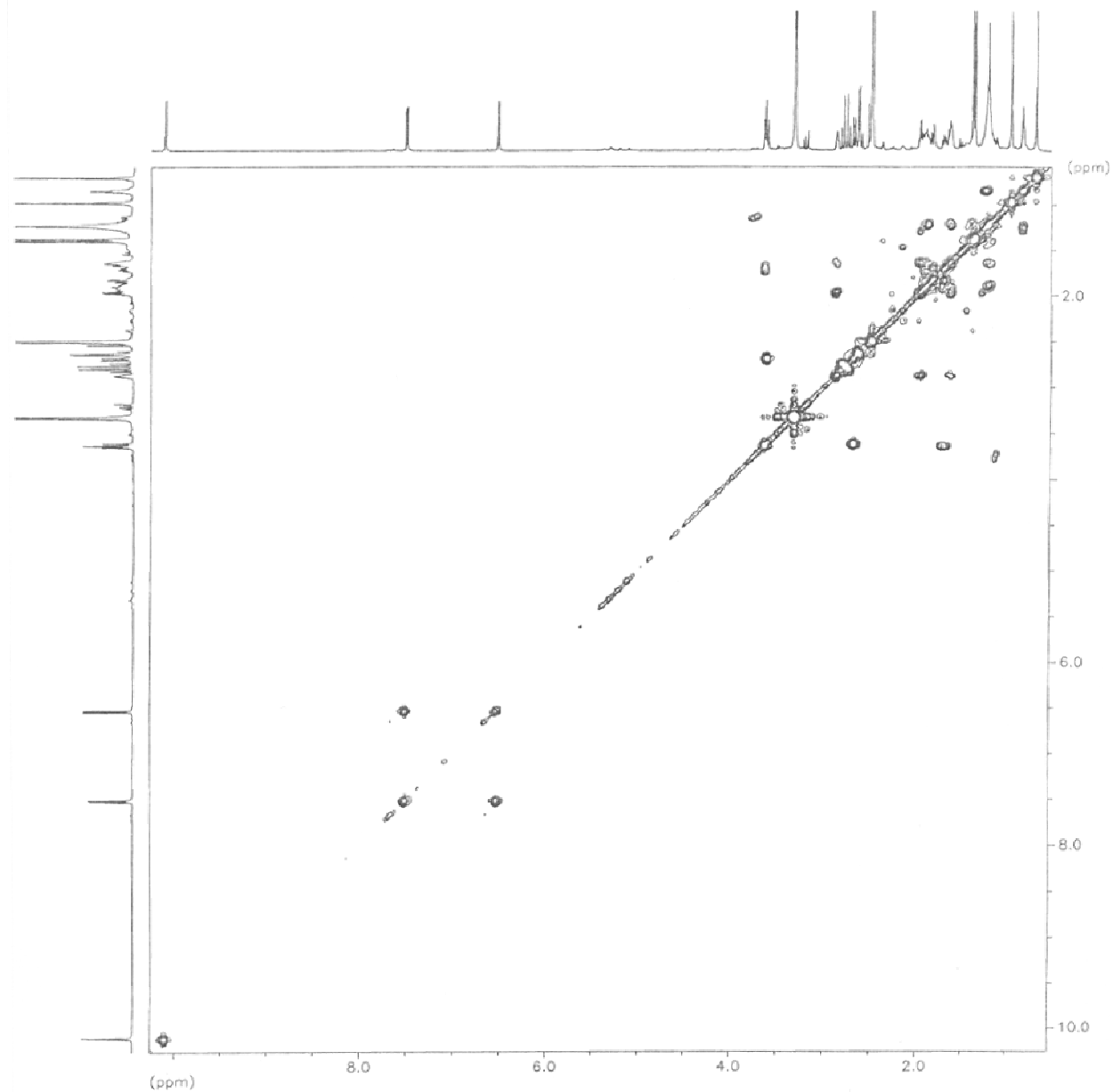


Figura v2 – 31 d – Espectro de RMN- ^1H - ^{15}N NHSQC da **citrinalina B, (62)**, isolada de *P. citrinum* (DMSO- d_6 , ^1H 600 MHz e ^{15}N 60 MHz).



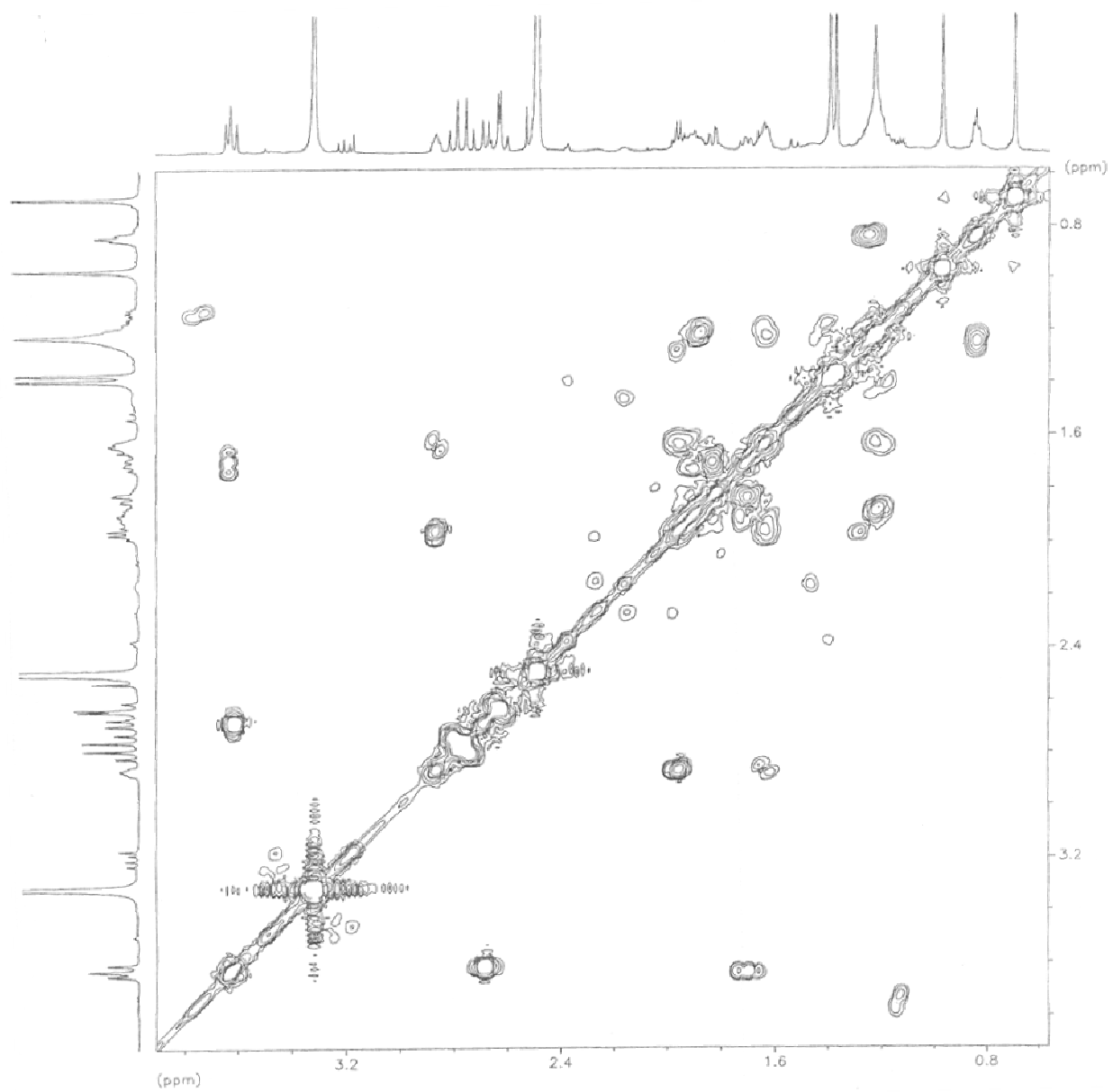


Figura v2 – 32 b – Ampliação do espectro de RMN- ^1H - ^1H COSY da **citrinalina B, (62)**, isolada de *P. citrinum* (DMSO- d_6 , 600 MHz).

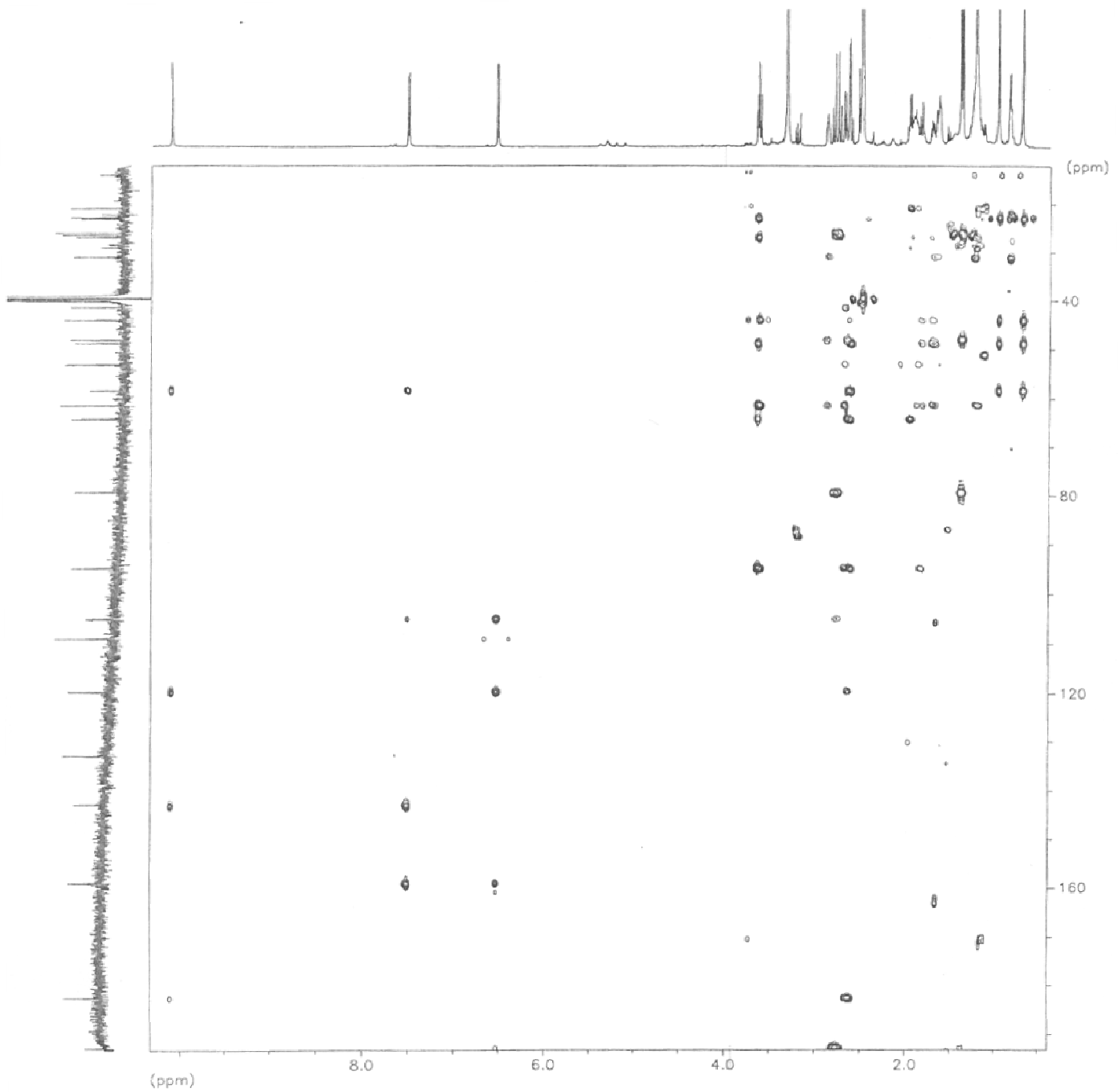


Figura v2 – 33 a – Espectro de RMN- ^1H - ^{13}C HMBC da **citrinalina B, (62)**, isolada de *P. citrinum* (DMSO- d_6 , ^1H 600 MHz e ^{13}C 150 MHz).

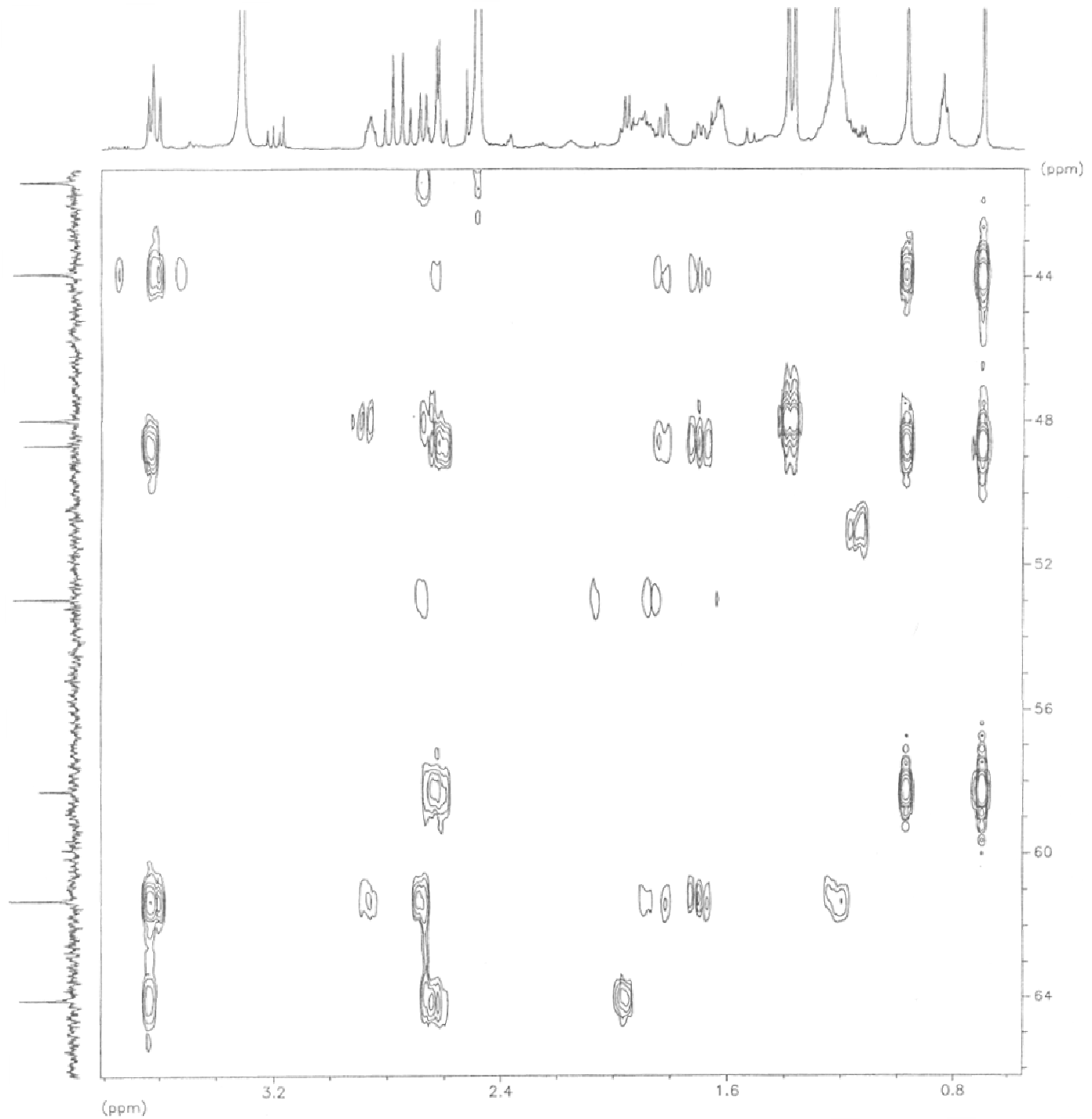


Figura v2 – 33 b – Ampliação do espectro de RMN-¹H-¹³C HMBC da **citrinalina B**, (62), isolada de *P. citrinum* (DMSO-*d*₆, ¹H 600 MHz e ¹³C 150 MHz).

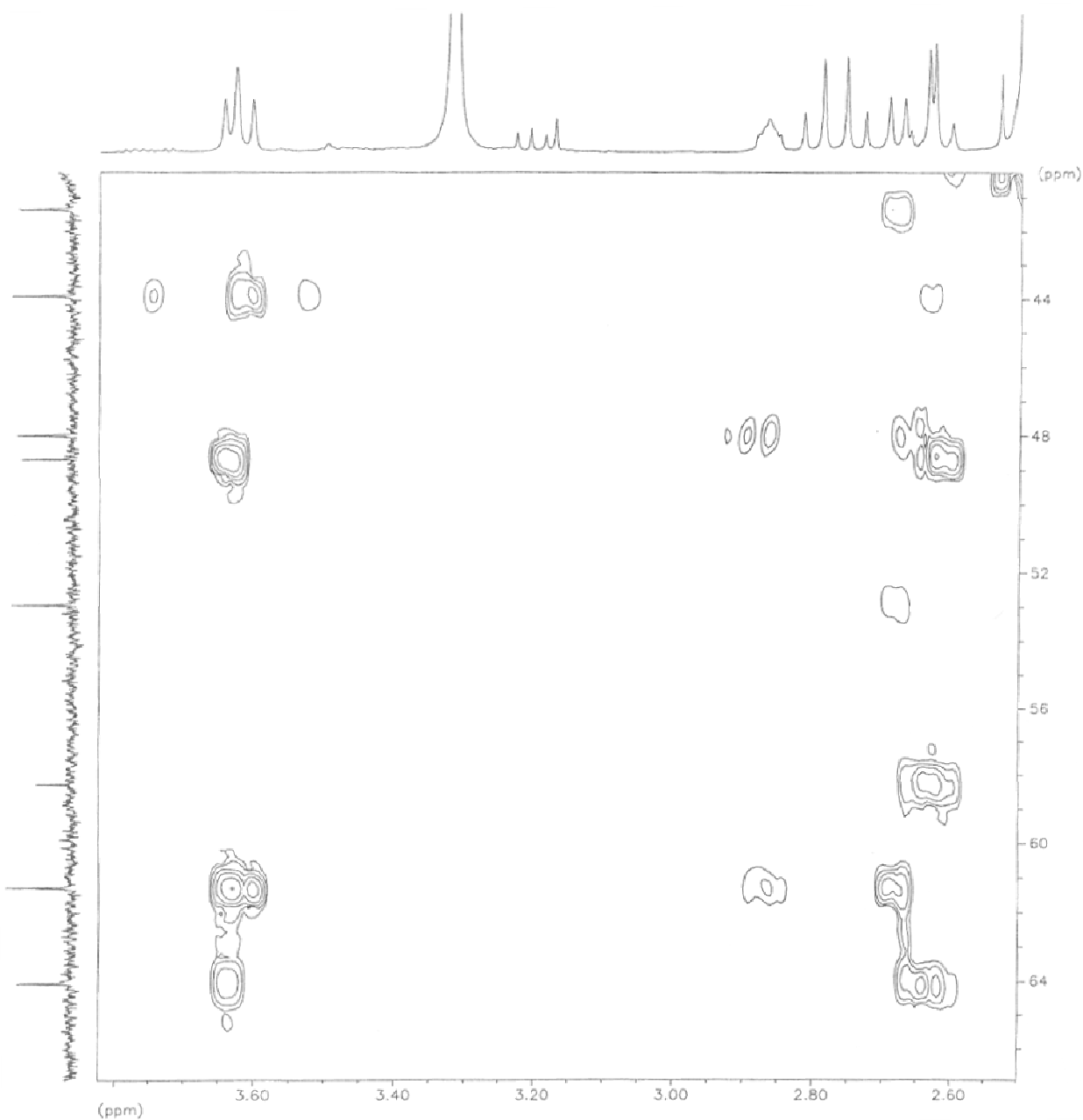


Figura v2 – 33 c – Ampliação do espectro de RMN- ^1H - ^{13}C HMBC da **citrinalina B, (62)**, isolada de *P. citrinum* (DMSO- d_6 , ^1H 600 MHz e ^{13}C 150 MHz).

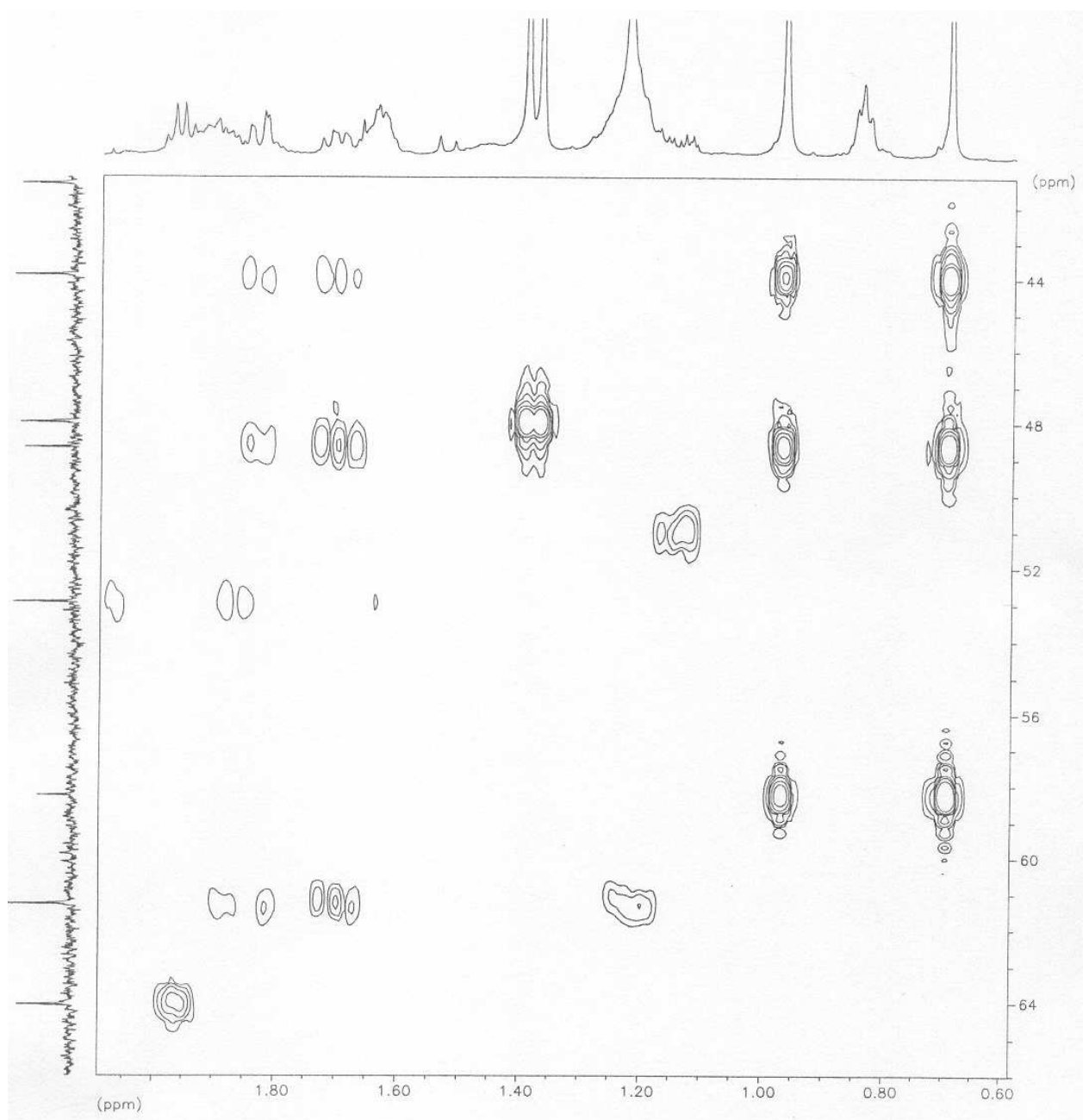


Figura v2 – 33 d – Ampliação do espectro de RMN- ^1H - ^{13}C HMBC da **citrinalina B, (62)**, isolada de *P. citrinum* (DMSO- d_6 , ^1H 600 MHz e ^{13}C 150 MHz).

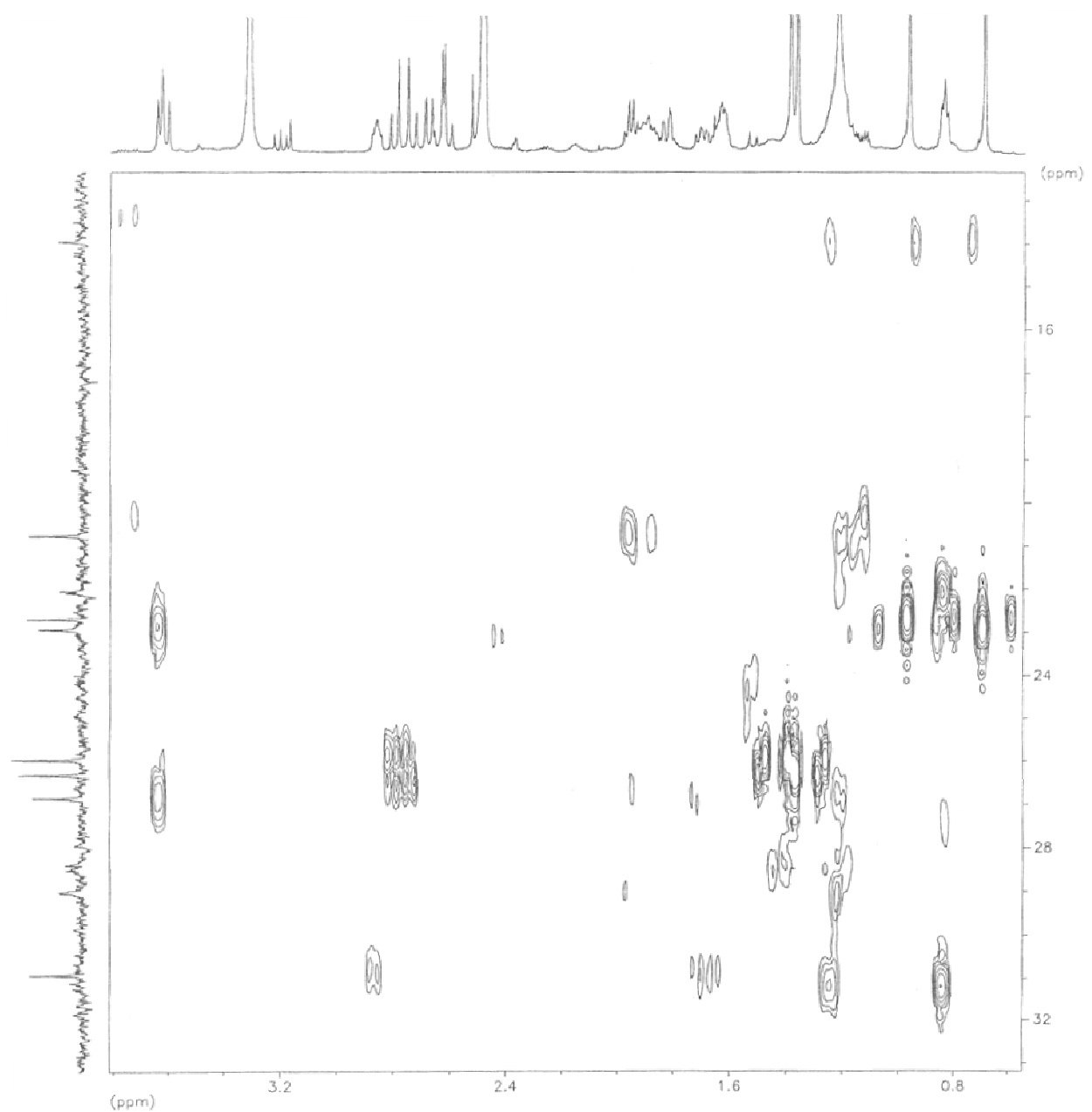


Figura v2 – 33 e – Ampliação do espectro de RMN- ^1H - ^{13}C HMBC da citrinalina B, (62), isolada de *P. citrinum* ($\text{DMSO}-d_6$, ^1H 600 MHz e ^{13}C 150 MHz).

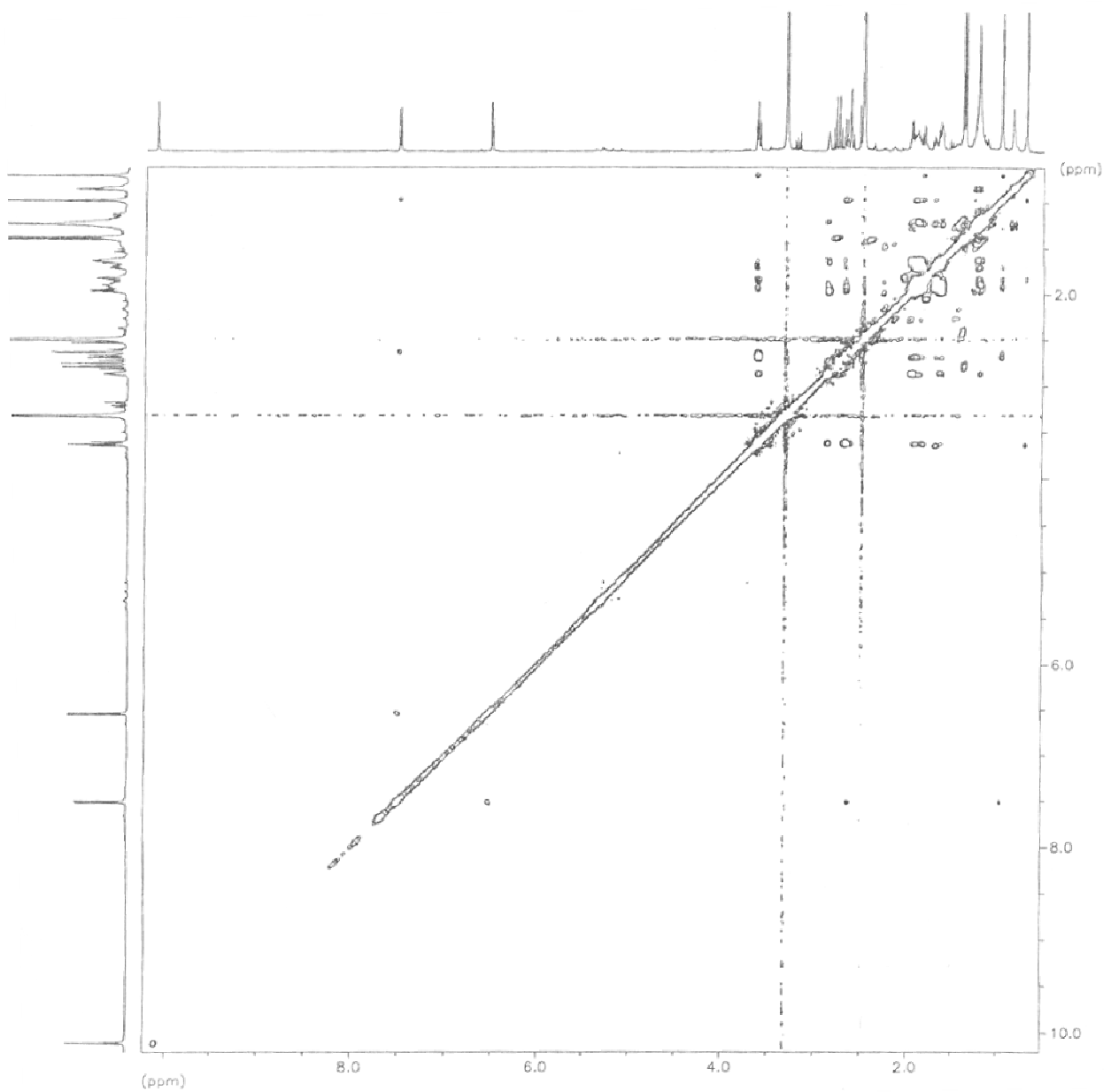


Figura v2 – 34 a – Espectro de RMN- ^1H tROESY da **citrinalina B, (62)**, isolada de *P. citrinum* (DMSO- d_6 , 600 MHz).

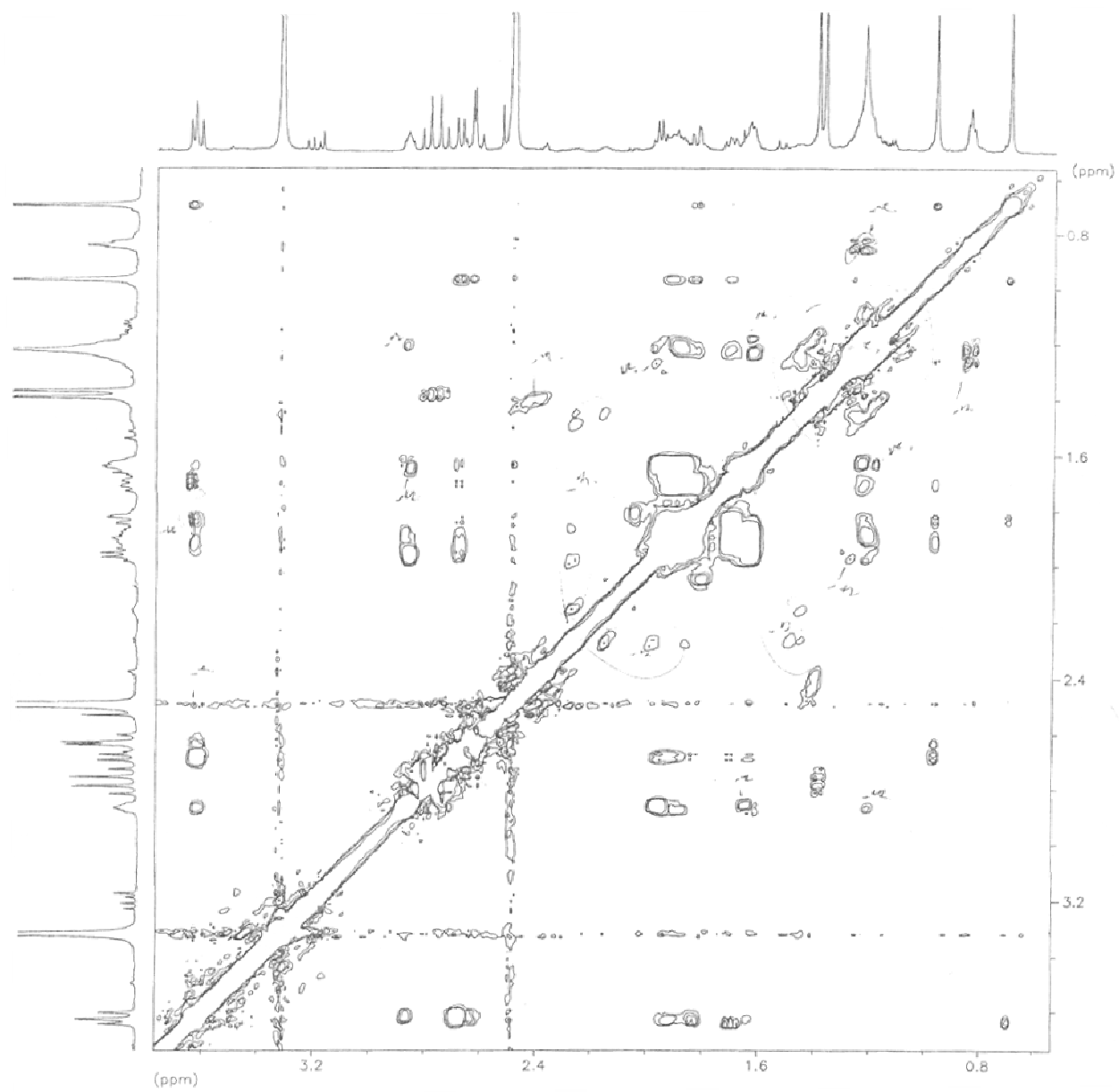


Figura v2 – 34 b – Ampliação do espectro de RMN- ^1H - ^1H tROESY da **citrinalina B**, (62), isolada de *P. citrinum* (DMSO- d_6 , 600 MHz).